

# Overvågning af luftkvalitet i Københavns Kommune

Årlige afrapportering for 2020 (August/September – December)



[tom side]

**Indholdsfortegnelse:**

Resumé .....	4
Summary in English.....	5
1 Indledning .....	6
2 Forkortelser .....	6
3 Måleprogram.....	7
3.1 Datapræsentation på hjemmeside .....	7
3.2 Beskrivelse af målestationer .....	7
3.3 Forureningsparametre .....	8
3.4 Målemetoder.....	10
3.5 Grænseværdier .....	10
4 Måleresultater .....	12
4.1 Partikulær masse, PM <sub>10</sub> og PM <sub>2,5</sub> .....	12
4.2 Ultrafine partikler, UFP .....	20
4.3 Black Carbon, BC.....	23
4.4 NO <sub>2</sub> .....	25
5 Variationer i de målte koncentrationer .....	30
5.1 Variationer i luftkvalitet.....	30
5.2 Luftkvaliteten på hverdage.....	34
5.3 Sammenstilling af døgnvariationer .....	37
Bilag A Målemetoder.....	41
Partikulær masse (svævestøv), PM <sub>10</sub> og PM <sub>2,5</sub> .....	41
Ultrafine partikler, UFP .....	41
Black Carbon, BC .....	41
NOx (NO og NO <sub>2</sub> ) .....	41
Bilag B Datakvalitet og datafangst .....	42
Bilag C Kontaktinformation .....	44
Om FORCE Technology .....	44
Medarbejdere .....	44
Bilag D Timemiddelværdier.....	45
1 PM <sub>2,5</sub> og PM <sub>10</sub> .....	45
2 UFP .....	48
3 BC .....	50
4 NO <sub>2</sub> .....	51

## Resumé

Denne rapport beskriver resultatet af den første periode af luftkvalitetsmålinger udført på fem målestationer i Københavns Kommune. Målestationerne blev i august og september 2020 installeret på hhv. Krügersgade, Søtorvet, Folehaven, Hillerødgade og Backersvej. Teknik- og Miljøforvaltningen og Sundheds- og Omsorgsforvaltningen i Københavns Kommune ønsker med luftkvalitetsmålingerne at indhente ny viden med henblik på at vurdere de sundhedsskadelige virkninger af luftforurenningen i kommunen.

Placeringen af målestationerne er valgt med henblik på at opnå mest mulig viden om

- luftforurening fra vejtrafik.
- luftforurening fra brændevne.
- luftforurening, hvor flest færdes i København, og hvor det må formodes, at man bliver utsat for luftforurening.
- luftforurening, hvor der er tæt beboelse og flere institutioner.

Resultatet af målingerne i 2020 viser, at EU's grænseværdier for PM<sub>2,5</sub>, PM<sub>10</sub> og NO<sub>2</sub> er overholdt i forhold til grænser for årsmiddel samt spidsværdier (døgnmiddel for PM og timemiddel for NO<sub>2</sub>). Sammenligning med EU's grænseværdier skal imidlertid foretages ud fra målinger over et helt kalenderår, og sammenligningen med måleresultater fra årets sidste 3 - 4 måneder skal derfor tages med forbehold.

Med et tilsvarende forbehold viser en sammenligning af resultaterne fra årets sidste 3 - 4 måneder, at WHO's vejledende grænseværdierne for PM<sub>10</sub> og NO<sub>2</sub> er overholdt i forhold til årsmiddel og spidsværdier. WHO's vejledende grænseværdi gældende for PM<sub>2,5</sub> som årsmiddel er dog ikke overholdt på fire af de fem målestationer. Målestasjonen på Backersvej, der ligger i et villakvarter overholder som den eneste WHO's vejledende grænseværdier for PM<sub>2,5</sub> i forhold til årsmiddel. WHO's vejledende grænseværdier i forhold til spidsværdier for PM<sub>2,5</sub> er ikke overholdt på de fem målestationer. Selvom forbrændingsprocesser fra trafik og industri samt eventuelt støvende anlægsarbejde bidrager til den lokale udledning af PM<sub>2,5</sub>, langtransporteres den væsentligste del af PM<sub>2,5</sub> fra kilder, der er placeret udenfor Københavns Kommune. Det betydningsfulde baggrundsbidrag fra regionale kilder forklarer, hvorfor de målte gennemsnitskoncentrationer af PM<sub>2,5</sub> er forholdsvis ens mellem de forskellige målestationer.

Målingerne af UFP viser, at den gennemsnitlige partikelkoncentration er højest på Folehaven (ca. 7400 antal/cm<sup>3</sup>) efterfulgt af Hillerødgade (ca. 6300 antal/cm<sup>3</sup>). Partikelkoncentrationen på Backersvej (ca. 5300 antal/cm<sup>3</sup>) var den laveste for de fem målestationer. Det skyldes at målestasjonen på Backersvej ligger ved en mindre trafikeret vej og omgivet af et villakvarter. Målestasjonen på Folehaven ligger derimod ved en meget trafikeret indfallsvej til Københavns Kommune. De målte partikelkoncentrationer fra henholdsvis Krügersgade og Søtorvet har været meget ens i den målte periode (5400 – 5600 antal/cm<sup>3</sup>).

Tilsvarende viser målingen af BC, at koncentrationen på Folehaven (1,4 µg/m<sup>3</sup>) er dobbelt så høj som på Backersvej (0,7 µg/m<sup>3</sup>). Dette skyldes som for UFP den langt større trafikintensitet på indfallsvejen Folehaven ift. Backersvej. Der foreligger ikke grænseværdier for UFP og BC i udeluft.

## Summary in English

This report describes the initial results from air quality monitoring stations installed in August and September 2020 in the City of Copenhagen. The monitoring stations were installed at the following locations: Krügersgade, Søtorvet, Folehaven, Hillerødgade and Backersvej. With the monitoring stations, Copenhagen Municipality wishes to gain supplemental knowledge of the ambient air quality and potential health effects from air pollution in Copenhagen.

The monitoring stations has been placed with the objective to focus on the assessment of:

- Air pollution from road traffic.
- Air pollution from wood stoves.
- Air pollution in public area where air pollution is expected to be elevated.
- Air pollution in areas with high-density housing.

The results show that EU limit values for ambient air quality were not exceeded for PM<sub>10</sub>, PM<sub>2.5</sub> and NO<sub>2</sub> during the period of measurements. However, comparisons with EU limit values must be based on measurement results from an entire calendar year. Comparison with measurement results from only 3 - 4 months of 2020 should therefore be made with precaution.

Similarly, comparison of the results from the last 3 - 4 months in 2020 with WHO's guidelines for PM<sub>10</sub> and NO<sub>2</sub> exposure limits showed no exceedances during the measurement period. WHO's guideline for maximum annual average concentration of PM<sub>2.5</sub> were exceeded at four out of five measure stations. WHO's guideline for maximum annual average concentration for PM<sub>2.5</sub> exposure is not exceeded at the monitoring station at Backersvej which is placed in a residential area. WHO's guidelines for peak concentrations of PM<sub>2.5</sub> is exceeded at all of the monitoring station. The exceedance of the WHO guideline for PM<sub>2.5</sub> is mainly caused by long distance transport of fine particles, and PM<sub>2.5</sub> from local emissions contribute with a minor fraction of the PM<sub>2.5</sub> concentrations measured.

Monitoring of UFP shows, that the average concentration is highest at Folehaven (ca. 7400 number/cm<sup>3</sup>) followed by Hillerødgade (ca. 6300 number/cm<sup>3</sup>). Lowest particle concentrations were measured at Backersvej (ca. 5300 number/cm<sup>3</sup>). Particle concentration measured at Krügersgade and Søtorvet are very similar in the measured period (5400 – 5600 number/cm<sup>3</sup>).

Similar differences in measurements are found at the two stations that measures BC. Highest BC concentrations were found at Folehaven (1.4 µg/m<sup>3</sup>) whereas BC concentrations at Backersvej were significant lower (0.7 µg/m<sup>3</sup>).

Det difference in concentrations originated from the different type of locations of the five measure stations. For example, the measure station at Folehaven is located at a main road with a high traffic intensity whereas the station at Backersvej is located in a residential area with much lower traffic intensity. EU directive for ambient air quality and WHO guidelines does not include limit values for UFP or BC.

## 1 Indledning

Denne rapport præsenterer luftkvalitetsmålinger udført af FORCE Technology for Københavns Kommune på fem målestationer i København. Teknik- og Miljøforvaltningen og Sundheds- og Omsorgsforvaltningen i Københavns Kommune ønsker med luftkvalitetsmålingerne at indhente ny viden og supplere eksisterende information med henblik på at vurdere de sundhedsskadelige effekter af luftforureningen i kommunen.

Måleprogrammet er beskrevet i afsnit 3.

Placeringen af målestationerne er valgt med henblik på mest mulig viden om:

- luftforurening fra vejtrafik.
- luftforurening fra brændende ovne.
- luftforurening, hvor flest mennesker færdes i København, og hvor det må formodes, at man bliver utsat for luftforurening.
- luftforurening, hvor der er tæt beboelse og flere institutioner.

De enkelte måleparametre er beskrevet i afsnit 3.3. Generelt skal det understreges, at luftforureningen i København dels kommer fra lokale og regionale kilder, og dels i form af fjerntransporterede gasser og partikler. Lokalt er vejtrafikken typisk en betydelig kilde til NO<sub>x</sub> (NO + NO<sub>2</sub>) og ultrafine partikler (UFP), mens det lokale bidrag fra partikler bestemt som PM<sub>2,5</sub> typisk kun udgør en mindre andel af den samlede koncentration af PM<sub>2,5</sub> i udeluft. Koncentrationen af PM<sub>2,5</sub>, PM<sub>10</sub> samt NO<sub>2</sub> i udeluft er reguleret i EU's Luftkvalitetsdirektiv 2008/50/EF. Reguleringen er nærmere beskrevet i afsnit 3.5.

Måleresultaterne opnået fra målingernes start i 2020 er vist i afsnit 4 og vurderet nærmere i afsnit 5. De målte resultater er vurderet ud fra beregnede nøgletal (gennemsnits- og spidsværdier) samt ud fra udvalgte måleperioder, der dels illustrerer variationerne på de enkelte målestationer og dels illustrerer dage med spidsværdier eller særlige, udvalgte episoder.

Denne årsrapport opfatter perioden fra august/september 2020 til og med 31. december 2020.

Kontaktinformationer fremgår af Bilag C.

## 2 Forkortelser

- BC Black Carbon
- BC<sub>WB</sub> Black Carbon Wood Burning
- BC<sub>FF</sub> Black Carbon Fossil Fuel
- NO Nitrogenoxid
- NO<sub>2</sub> Nitrogendioxid
- NO<sub>x</sub> NO + NO<sub>2</sub>
- PM<sub>10</sub> Partikler med en diameter <10 µm (note 1).
- PM<sub>2,5</sub> Partikler med en diameter <2,5 µm (note 1).
- UFP Ultrafine partikler

For en nærmere beskrivelse af de enkelte måleparametre henvises til afsnit 3.3.

---

<sup>1</sup> Størrelsen defineres ud fra partiklernes aerodynamiske diameter, jf. afsnit 3.3.1.

## 3 Måleprogram

### 3.1 Datapræsentation på hjemmeside

Foruden indhentning af ny viden ønsker Københavns Kommune at kunne anvende de målte data til løbende at vurdere de sundhedsskadelige effekter af luftforurenningen. Data præsenteres desuden via en hjemmeside for borgerne i København samt andre interesserede. Denne datapræsentation er tilgængelig på websiden [erluftensund.kk.dk](http://erluftensund.kk.dk), hvor måledata for det seneste døgn og den seneste måned præsenteres og vurderes sundhedsmæssigt ud fra et luftkvalitetsindex beregnet ud fra målte koncentrationer af NO<sub>2</sub>, PM<sub>2,5</sub> og PM<sub>10</sub>.

### 3.2 Beskrivelse af målestationer

Der er opstillet fem målestationer til kontinuert monitering af luftkvaliteten i Københavns Kommune i en 3-årig periode. Målestationerne er placeret på følgende fem lokationer:

1. Krügersgade 5, Nørrebro
2. Søtorvet 5, Indre By
3. Folehaven 72, Valby
4. Hillerødgade 79, Bispebjerg
5. Trafiklegepladsen ved Backersvej/Formosavej, Amager Øst

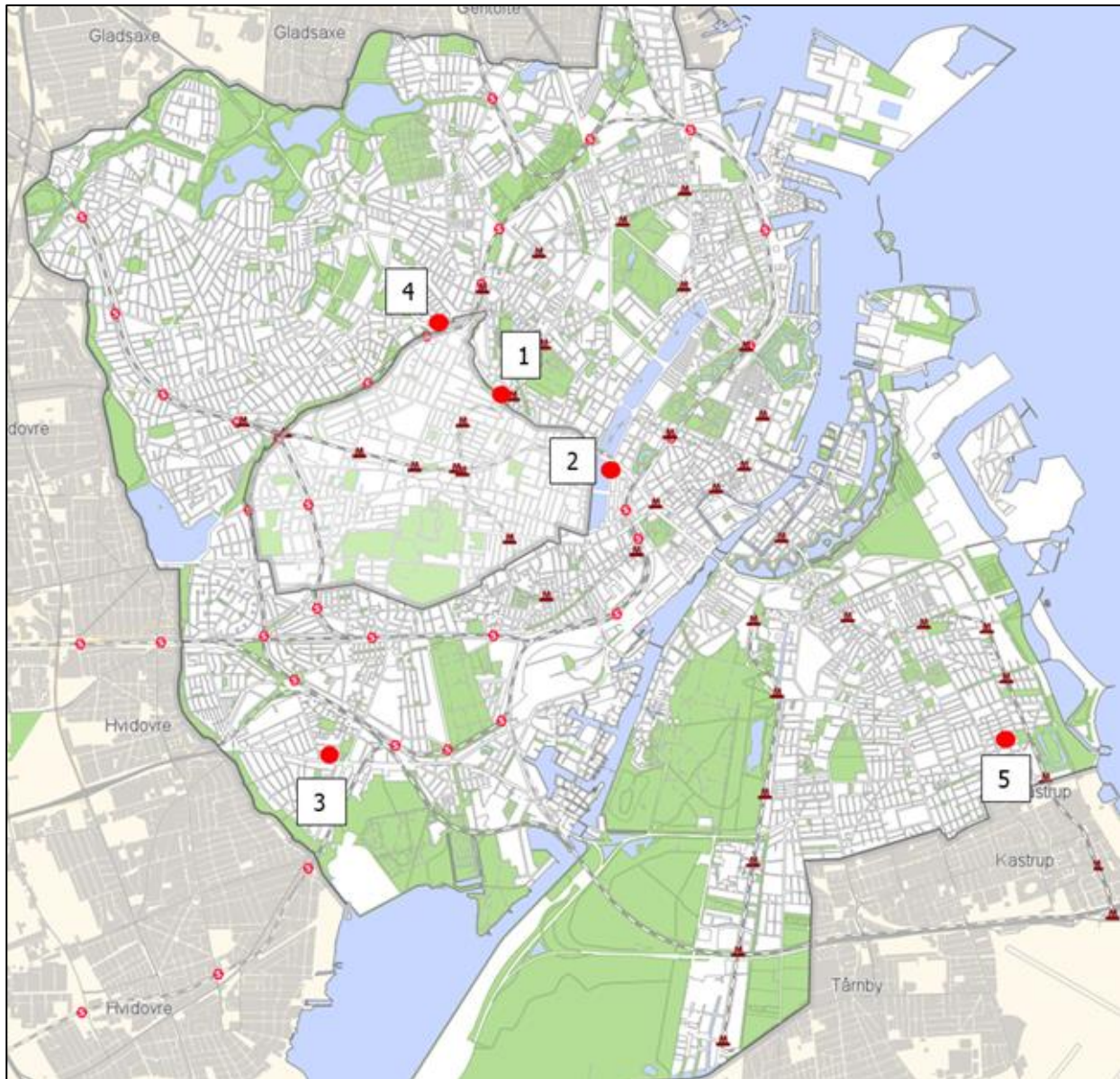
Figur 1 viser et oversigtskort over Københavns Kommune med placeringerne af målestationerne indtegnet. Målestationerne på Søtorvet, Hillerødgade, Folehaven og Backersvej er opstillet, så de opfylder kravene til placering af målesteder som beskrevet i EU direktiv 2008/50/EF samt seneste ændringer i EU direktiv 2015/1480/EF. Dette sikrer, at målingerne er repræsentative for området. Målestationen på Krügersgade vurderes at opfylde kravene i EU-direktivet, idet T-krydset mellem Ågade og Krügersgade ikke regnes som et større vejkryds.

Tabel 1 angiver hvilke luftforureningsparametre, der måles på de enkelte målestationer. En beskrivelse af de enkelte parametre fremgår af afsnit 3.3. Foruden de i Tabel 1 listede parametre bestemmes udetemperatur og den relative luftfugtighed ved hver målestation. Der er udført supplerende målinger af BC på henholdsvis Folehaven og Backersvej. Dette gøres med henblik på at kunne vurdere effekten af emissioner fra brændeovne og vejgående trafik.

Målestationerne er idrøtsat i august/september 2020 og måleprogrammet strækker sig frem til september 2023. Datafangst fremgår af Bilag B.

Tabel 1. Måleparametre til bestemmelse af luftkvaliteten, angivet for de enkelte målestationer. En beskrivelse af de enkelte måleparametre er angivet i afsnit 3.3.

Måleparametre	Krügersgade	Søtorvet	Folehaven	Hillerødgade	Backersvej
Stationsnr.	1	2	3	4	5
PM <sub>10</sub>	x	x	x	x	x
PM <sub>2,5</sub>	x	x	x	x	x
UFP	x	x	x	x	x
BC, BC <sub>WB</sub> , BC <sub>FF</sub>			x		x
NO, NO <sub>x</sub> , NO <sub>2</sub>	x	x	x	x	x



Figur 1. Oversigtskort for placeringer af målestationer.

### 3.3 Forureningsparametre

#### 3.3.1 Partikelmasse, PM

PM er en forkortelse for det engelske "Particulate Matter".  $PM_{2,5}$  bruges som en betegnelse for den del af partikelmassen, der udgøres af partikler med en aerodynamisk diameter mindre end  $2,5 \mu\text{m}$ . En tilsvarende definition gælder for  $PM_{10}$ , idet  $PM_{10}$  omfatter partikler med en aerodynamisk diameter mindre end  $10 \mu\text{m}$ .

Da luftbårne partikler i udeluftens består af partikler, der kan have meget forskellige vægtfylder, og da partiklerne langt fra altid er sfæriske, opererer man med den aerodynamiske diameter. Den aerodynamiske diameter defineres som diametren af en kugleformet partikel med massefylden  $1 \text{ g/cm}^3$ , som falder med samme hastighed som den betragtede partikel.

Det, der er afgørende for om en partikel afsættes i luftvejene, er partiklens størrelse og masseyfylde. Da partiklerne ved normal indånding udsættes for en given hastighed, medfører dette at de største partikler på grund af deres bevægelsesmængde (inerti) "slynges" ud på for eksempel slimhinder i de øvre luftveje. I praksis består svævestøv af mange forskellige typer partikler, dvs. partikler med en ofte meget forskellig diameter og masseyfylde. Den aerodynamiske diameter er her et praktisk fælles mål for størrelse og masseyfylde for en sådan blanding af partikler, idet man her omregner blandingen, som om alle partiklerne bestod af partikler med masseyfoden  $1 \text{ g/cm}^3$ . Derfor benyttes den aerodynamiske diameter som den afgørende parameter til at definere hvilke partikler, der afsættes i luftvejene.

Når man mäter udeluftens indhold af svævestøv i form af  $\text{PM}_{2,5}$  og  $\text{PM}_{10}$ , sker det for at vurdere sundhedsbelastningen. Sundhedspåvirkningen fra partikler afhænger af partiklernes størrelse. Her skelner man imellem de lidt større partikler, der primært afsættes i de øvre luftveje, og de mindste partikler, der kan passere de øvre luftveje og nå ned i lungerne. De lidt større partikler kaldes den thorakiske fraktion, og denne fraktion beskrives ved måling af  $\text{PM}_{10}$ , idet det primært er partikler med en aerodynamisk diameter mindre end 10  $\mu\text{m}$ , der passerer næse og svælg. De mindste partikler, der passerer de øvre luftveje måles i form af  $\text{PM}_{2,5}$ .  $\text{PM}_{2,5}$  udgøres af respirable partikler – dvs. partikler, der passerer de øvre luftveje, og som når helt ud i alveolerne i lungerne og dermed vil indebære en større sundhedsrisiko.

### 3.3.2 Ultrafine partikler, UFP

Ultrafine partikler (UFP) dannes overvejende i forbindelse med forbrændingsprocesser. Dette gælder uanset, om der er tale om forbrænding af fossile eller biobaserede brændsler. Disse partikler emitteres således fra forbrændingsmotorer og er sammen med Black Carbon en vigtig indikator for partikeludledningen fra den vejgående trafik, skibstrafik, entreprenørmaskiner og brændeovne. De ultrafine partikler, som er under 0,1  $\mu\text{m}$  i diameter anses for at være særlig sundhedsskadelige, da de kan trænge fra alveolerne over i blodkredsløbet<sup>2</sup>. Koncentrationen af UFP er ikke reguleret i luftkvalitetsdirektivet.

### 3.3.3 Black Carbon, BC

Black Carbon (BC) dannes ligeledes ved forbrænding af fossile eller biobaserede brændsler og er sammen med UFP en vigtig indikator for partikeludledningen fra den vejgående trafik, skibstrafik, entreprenørmaskiner og brændeovne. Ufuldstændig forbrænding som i fx brændeovne vil typisk give en højere andel af sodpartikler og kan dermed i villakvarterer om vinteren bidrage relativt meget til koncentrationen af BC. Black Carbon vil typisk bestå af en partikel med en kerne af Elemental Carbon (dvs. kulstof i grundstoftilstanden), med en ydre "belægning" af kondenserede, uforbrændte organiske stoffer (fx tjærerstoffer). Elemental Carbon forkortes EC, og EC opsamles på samme måde som for BC, men bestemmes typisk ved en laboratorieanalyse ved at afbrænde det opsamlede partikelmateriale ved en kontrolleret procedure. I Danmark og EU er der netop indført grænseværdier for EC i arbejdsmiljø med henblik på regulering af eksponeringen for dieselpartikler. EC og BC emitteret fra fx dieselmotorer udviser ved måling meget stor korrelation, og derfor vil måling af BC kunne anvendes som en effektiv metode til at estimere/bestemme andelen af EC i udeluft. Måling af BC er interessant for at sammenligne evt. kommende grænseværdier for EC med baggrundskoncentrationer i udeluft. Hverken EC eller BC er i øjeblikket reguleret i luftkvalitetsdirektivet.

Røg fra brændeovne udgør en stigende andel af den samlede danske udledning af  $\text{PM}_{2,5}$  i takt med, at andre kilder som eksempelvis kraftvarmeværker, diesekøretøjer og energianlæg er blevet stærkt reguleret i forhold til udledninger af partikler. Partikler fra brændeovne kan bestemmes eksempelvis som  $\text{PM}_{2,5}$  eller BC. Traditionelt bestemmes andelen af BC fra brænderøg ved hjælp af sporstoffet Levoglucosan, som anvendes som en særlig "markør" i emissioner fra forbrænding af biomasse. Dette stof kan dog ikke måles kontinuert.

<sup>2</sup> Luftforurening med partikler – et sundhedsproblem, Danmarks Miljøundersøgelser, Aarhus Universitet (2009).

Derimod kan andelen af BC, som kommer fra fossile kilder ( $BC_{FF}$ ) og andelen, der kommer fra afbrænding af træ ( $BC_{WB}$ ) bestemmes kontinuert ud fra empirisk bestemte støtteparametre fra litteraturen (note 3).  $BC_{FF}$  samt andelen  $BC_{WB}$  (som primært kommer fra brænderøg) kan vurderes ved hjælp af multispektrale monitorer (syv måleparametre, som alle kan måles i et aethalometer, jf. bilag A).

### 3.3.4 NO, $NO_2$ og $NO_x$

NO og  $NO_2$  er gasser, der udledes fra bl.a. forbrændingsmotorer. Disse gasser betegnes også kvælstofoxider, og de udledes fra forbrændingsmotorer primært som NO (kvælstofmonoxid) og i mindre omfang som  $NO_2$  (kvælstofdioxid). Den udledte NO oxideres til  $NO_2$  i atmosfæren. Oxidationen af NO til  $NO_2$  sker typisk over nogle timer (afhængig af tilstedevarelsen af ozon).  $NO_x$  betegner summen af NO +  $NO_2$ .

$NO_2$  er i modsætning til NO en sundhedsskadelig gas. Der er ikke fastsat grænseværdier for NO i udeluft, og reguleringen af kvælstofoxider i byområder sker iht. EU's grænseværdier for  $NO_2$  i udeluft. Målingen af såvel NO og  $NO_2$  i udeluft bidrager med væsentlig viden om den direkte effekt på gadeplan af initiativer vedrørende fx den samlede  $NO_x$ -reduktion fra køretøjer eller entreprenørmaskiner. Inden for transportbranchen har reguleringen fokus på at reducere den samlede emission af  $NO_x$ . Eksempelvis kontrolleres busser i København ved hjælp af miljøsyn, hvor der bl.a. måles  $NO_x$  (og ikke kun  $NO_2$ ). Desuden er NO en væsentlig "markør" for påvirkningen fra forbrændingskilder i nærområdet.

## 3.4 Målemetoder

En oversigt over de anvendte måleprincipper er vist i Tabel 2. Målingerne af  $PM_{2,5}/PM_{10}$  samt NO/ $NO_2/NO_x$  er omfattet af FORCE Technology's akkreditering nr. 51 fra DANAK. En mere detaljeret beskrivelse af målemetoderne findes i Bilag A.

Tabel 2. Oversigt over anvendte målemetoder.

Parameter	Målemetode
$PM_{2,5}$ og $PM_{10}$	Optisk måling/lysspredning
NO, $NO_2$ , $NO_x$	Kemiluminescens
Ultrafine partikler (partikelantal)	CPC (Condensation Particle Counter)
Black Carbon	Aethalometer (Optisk måling/lysdæmpning)

## 3.5 Grænseværdier

Grænseværdier for luftkvalitet fastsætter hvor meget, der må være af forskellige stoffer i luften. I Danmark er grænseværdier for gasser og partikler i udeluft bestemt ved EU's luftkvalitetsdirektiver. EU's luftkvalitetskrav er i Danmark indført ved lov via Bekendtgørelse nr. 1472 (note 4). Ud over EU's grænseværdier kan det være relevant at sammenligne resultater af luftkvalitetsmålinger med WHO's vejledende grænseværdier for luftkvalitet. WHO giver anbefalinger vedrørende grænseværdier for stoffer ud fra en sundhedsmæssig vurdering (note 5).

<sup>3</sup> Helin et al. Atmospheric Environment 190 (2018) 87–98.

<sup>4</sup> BEK nr. 1472 af 12/12/2017. Bekendtgørelse om vurdering og styring af luftkvaliteten.

<sup>5</sup> WHO's vejledende grænseværdier er typisk baseret på NOAEL (No Observed Adverse Effect Level).

Tabel 3 viser de gældende grænseværdier for de stoffer, der er omfattet af måleprogrammet beskrevet i denne rapport.

Tabel 3. EU's grænseværdier for luftkvalitet i udeluft, implementeret i Danmark ved BEK nr. 1472 af 12/12/2017.

Stof	Grænseværdi (koncentration)	Midlingstid (note 6)	Højest antal tilladelige spidsværdier pr. år
PM <sub>2,5</sub>	25 µg/m <sup>3</sup> (note 7)	1 år	-
PM <sub>10</sub>	50 µg/m <sup>3</sup>	24 timer	35 (note 8)
	40 µg/m <sup>3</sup>	1 år	-
Nitrogendioxid (NO <sub>2</sub> )	200 µg/m <sup>3</sup>	1 time	18 (note 9)
	40 µg/m <sup>3</sup>	1 år	-

Tabel 4 viser WHO's vejledende grænseværdier for de stoffer, der er omfattet af måleprogrammet beskrevet i denne rapport.

Tabel 4. WHO's vejledende grænseværdier for luftkvalitet i udeluft.

Stof	Grænseværdi (koncentration)	Midlingstid (note 5)	Højest antal tilladelige spidsværdier pr. år
PM <sub>2,5</sub>	25 µg/m <sup>3</sup>	24 timer	3 (note 10)
	10 µg/m <sup>3</sup>	1 år	
PM <sub>10</sub>	50 µg/m <sup>3</sup>	24 timer	3 (note 10)
	20 µg/m <sup>3</sup>	1 år	
Nitrogendioxid (NO <sub>2</sub> )	200 µg/m <sup>3</sup>	1 time	
	40 µg/m <sup>3</sup>	1 år	

Der er endnu ikke fastsat grænseværdier for ultrafine partikler (målt som partikelantal, UFP), og for Black Carbon/Elemental Carbon, hverken i EU eller af WHO. Det skal bemærkes, at EU tidligere har anvendt OECDs grænseværdier for "Black Smoke" (note 11). Disse grænseværdier er imidlertid fastsat i 1970'erne af OECD og har i dag kun historisk interesse.

<sup>6</sup> Midlingstiden er varigheden af den måleperiode, som den enkelte måling skal udføres over. En midlingstid på en time for fx NO<sub>2</sub> betyder derfor, at NO<sub>2</sub> skal måles som et gennemsnit for hver time i døgnet.

<sup>7</sup> I bilag 14 til BEK 1472 er der fastsat krav til, at PM<sub>2,5</sub> koncentrationen målt som rullende gennemsnit over 3 år (kaldet AEI, Average Exposure Index) i bybaggrundsområder og i bymæssige områder skal reduceres iht. et reduktionsmål, der afhænger af udgangskoncentrationen i 2010. Reduktionsmålet skal 10 år efter på samme målested være opfyldt via i 2020. Dette skal dokumenteres ved målinger i 2018, 2019 og 2020. Vurderingen af, om reduktionsmålet for AEI er opfyldt, foretages af Aarhus Universitet ud fra målingerne i det landsdækkende måleprogram. Der henvises til fx *DCE rapport nr. 360 (2020) The Danish Air Quality Monitoring Programme*.

<sup>8</sup> Den højest tilladelige spidsværdi for PM<sub>10</sub> defineres iht. EU's grænseværdier som den døgnmiddelværdi, der er den 36. højeste af alle de målte døgnmiddelværdier over året. Dvs. værdien over den 35. højest af alle målte døgnværdier over året.

<sup>9</sup> Den højest tilladelige spidsværdi for NO<sub>2</sub> defineres iht. EU's grænseværdier som den timemiddelværdi, der er den 19. højeste af alle de målte timemiddelværdier over året.

<sup>10</sup> Den højest tilladelige spidsværdi for PM<sub>2,5</sub> hhv. PM<sub>10</sub> defineres iht. WHO's vejledende grænseværdier som den døgnmiddelværdi, der er den 4. højeste af alle de målte døgnmiddelværdier over året (99-percentil af målte døgnmiddelværdier).

<sup>11</sup> Kilde: EEA, <https://www.eea.europa.eu/publications/2-9167-057-X/page020.html>

## 4 Måleresultater

### 4.1 Partikulær masse, PM<sub>10</sub> og PM<sub>2,5</sub>

Figur 2 – Figur 11 viser døgnmiddelværdier samt årsgrænseværdien for de enkelte målestationer<sup>12</sup>. Resultaterne er sammenlignet med EU's grænseværdier samt WHO's vejledende grænseværdier (se evt. Tabel 3 og Tabel 4). Sammenligning med EU's grænseværdier skal imidlertid foretages ud fra målinger over et helt kalenderår, og sammenligningen med måleresultater fra årets sidste 3 - 4 måneder skal derfor tages med dette forbehold. Det skal bemærkes, at de enkelte døgnmiddelværdier må gerne overskride årsmiddelværdien, så længe det målte årgennemsnit ikke overskride årsgrænseværdien.

Grafer, der viser timemiddelværdier for de enkelte målestationer er vist i Bilag D. Antallet af overskredne spidsværdier er angivet i Tabel 5 og Tabel 6.

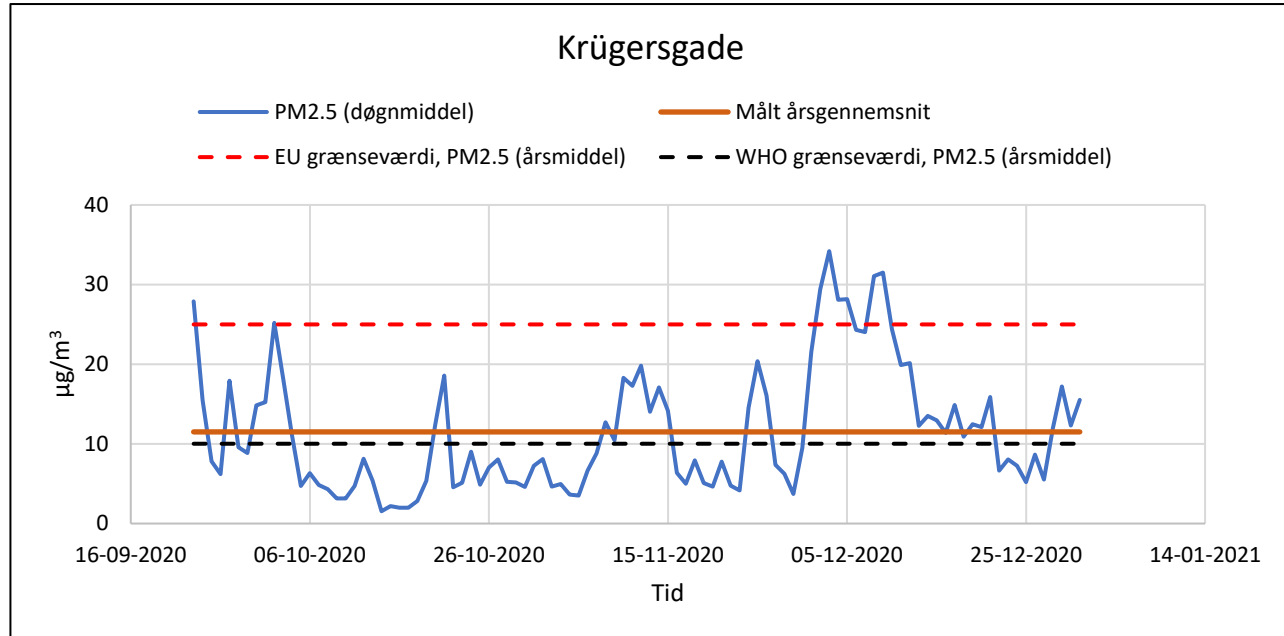
Tabel 5. Antal tilladte samt overskredne spidsværdier på de enkelte målestationer.

PM <sub>10</sub>		EU's grænseværdi	WHO's vejledende grænseværdi
Antal tilladte spidsværdier over grænseværdi		35	3
	Krügersgade	0	0
	Søtorvet	0	0
Antal overskredne spidsværdier	Hillerødsgade	0	0
	Folehaven	0	0
	Backersvej	0	0

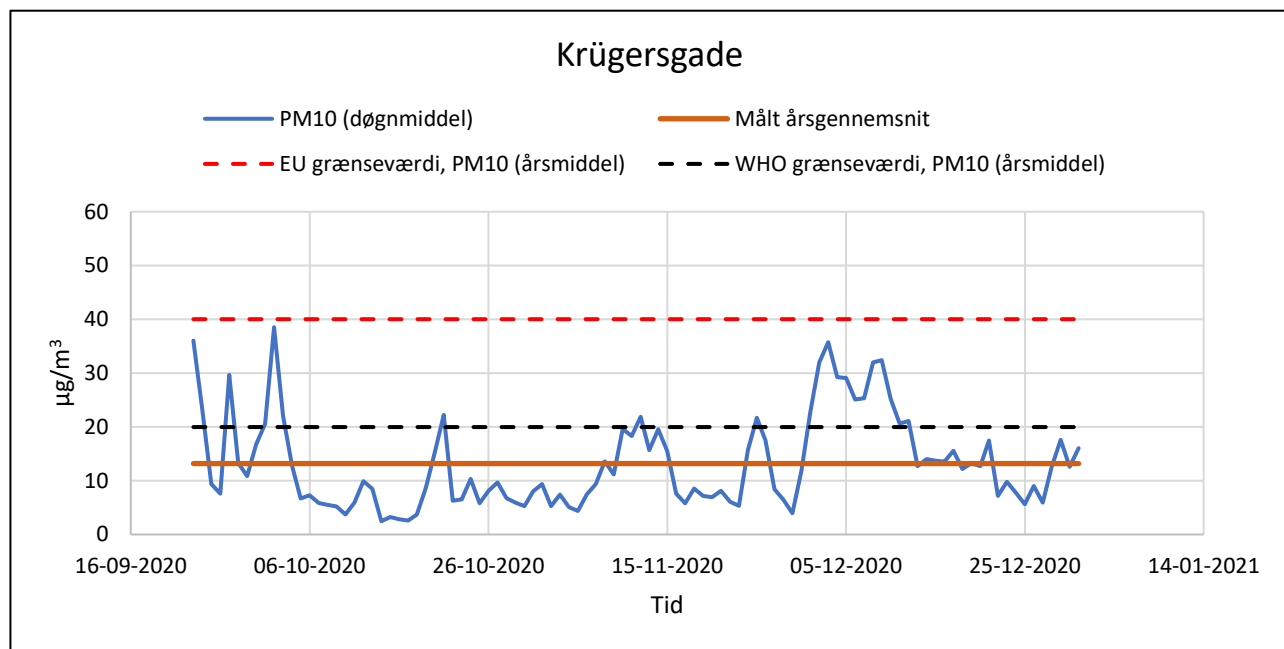
Tabel 6. Antal tilladte samt overskredne spidsværdier på de enkelte målestationer.

PM <sub>2,5</sub>		EU's grænseværdi	WHO's vejledende grænseværdi
Antal tilladte spidsværdier over grænseværdi		Ikke fastsat som spidsværdi	3
	Krügersgade	-	8
	Søtorvet	-	7
Antal overskredne spidsværdier	Hillerødsgade	-	7
	Folehaven	-	7
	Backersvej	-	7

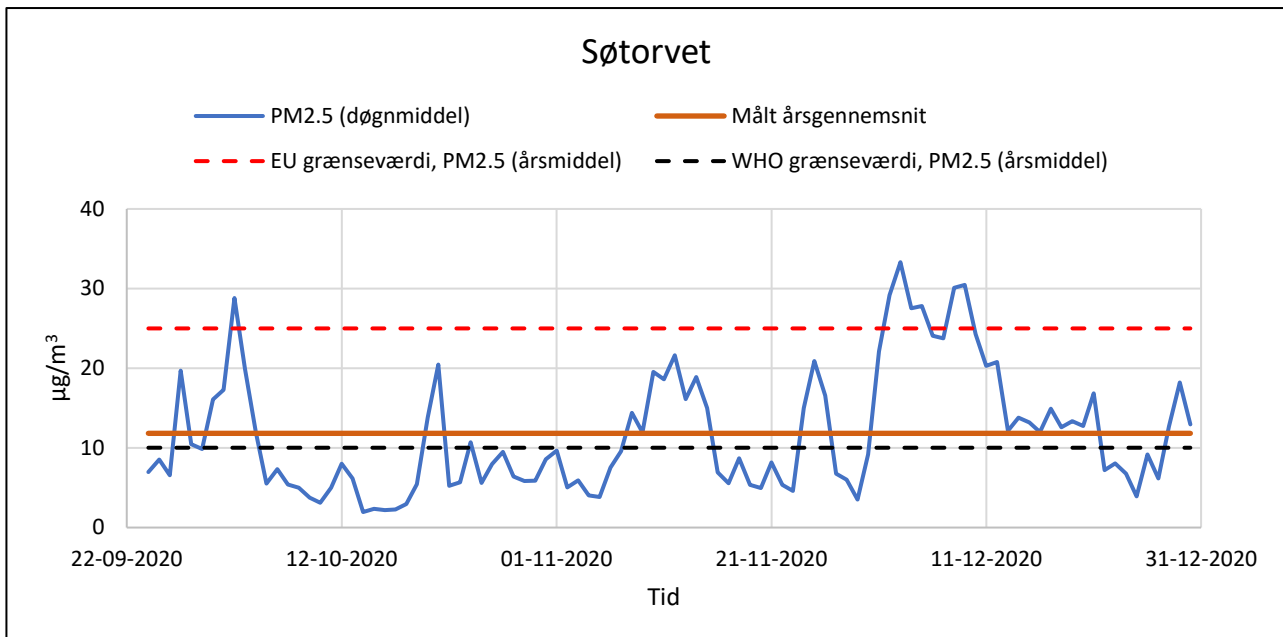
<sup>12</sup> Eventuelle manglende måleværdier på graferne skyldes service og kalibrering af måleudstyret.



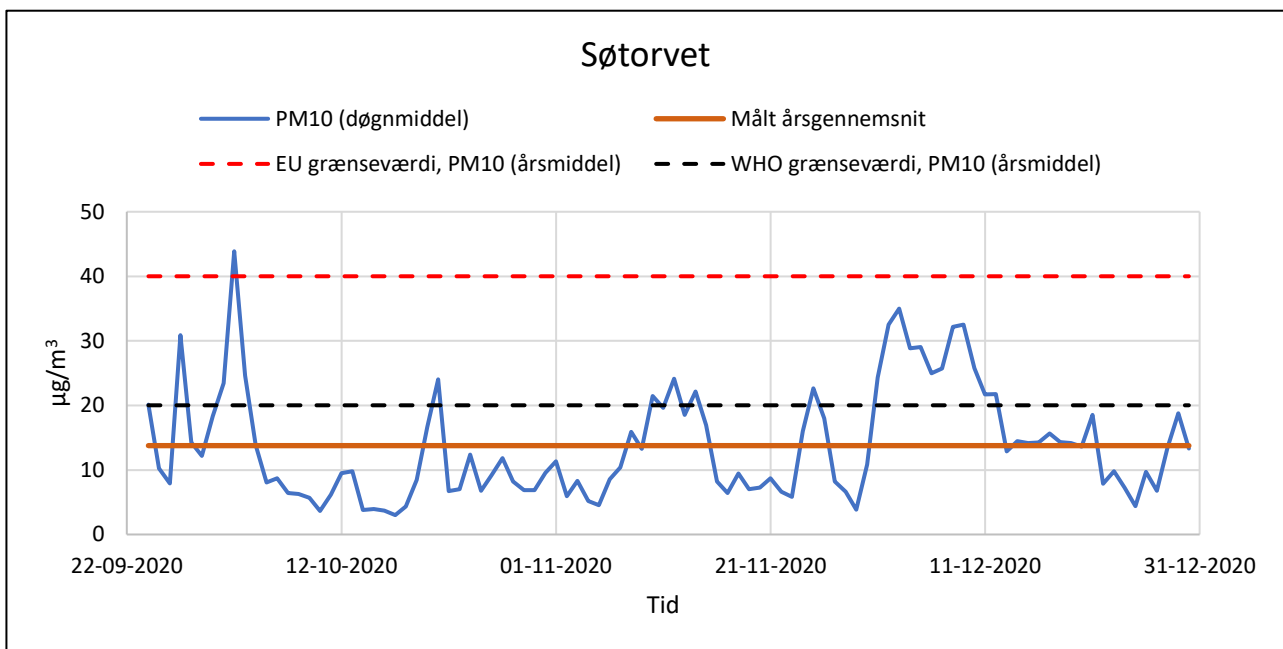
Figur 2. Døgnmiddelværdier samt målt årgennemsnit for PM<sub>2.5</sub> fra målestasjonen på Krügersgade. De røde og sorte stiplede linjer angiver EU's grænseværdi samt WHO's vejledende grænseværdi for den gennemsnitlige koncentration af PM<sub>2.5</sub> over et år.



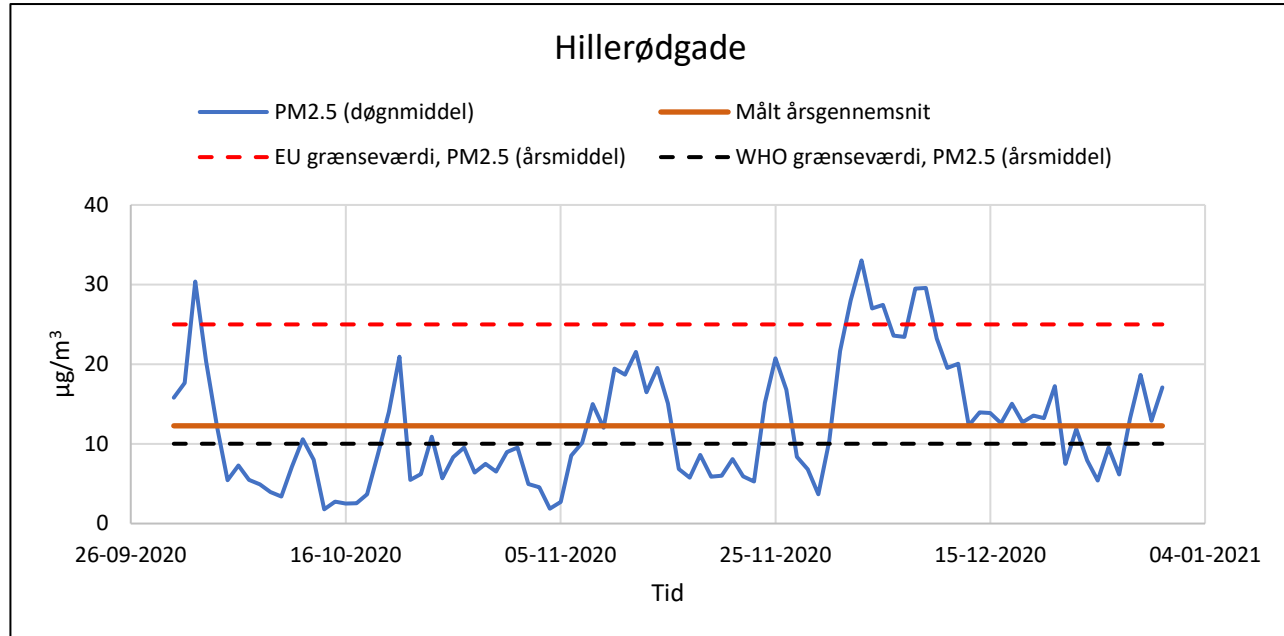
Figur 3. Døgnmiddelværdier samt målt årgennemsnit for PM<sub>10</sub> fra målestasjonen på Krügersgade. De røde og sorte stiplede linjer angiver EU's grænseværdi samt WHO's vejledende grænseværdi for den gennemsnitlige koncentration af PM<sub>10</sub> over et år.



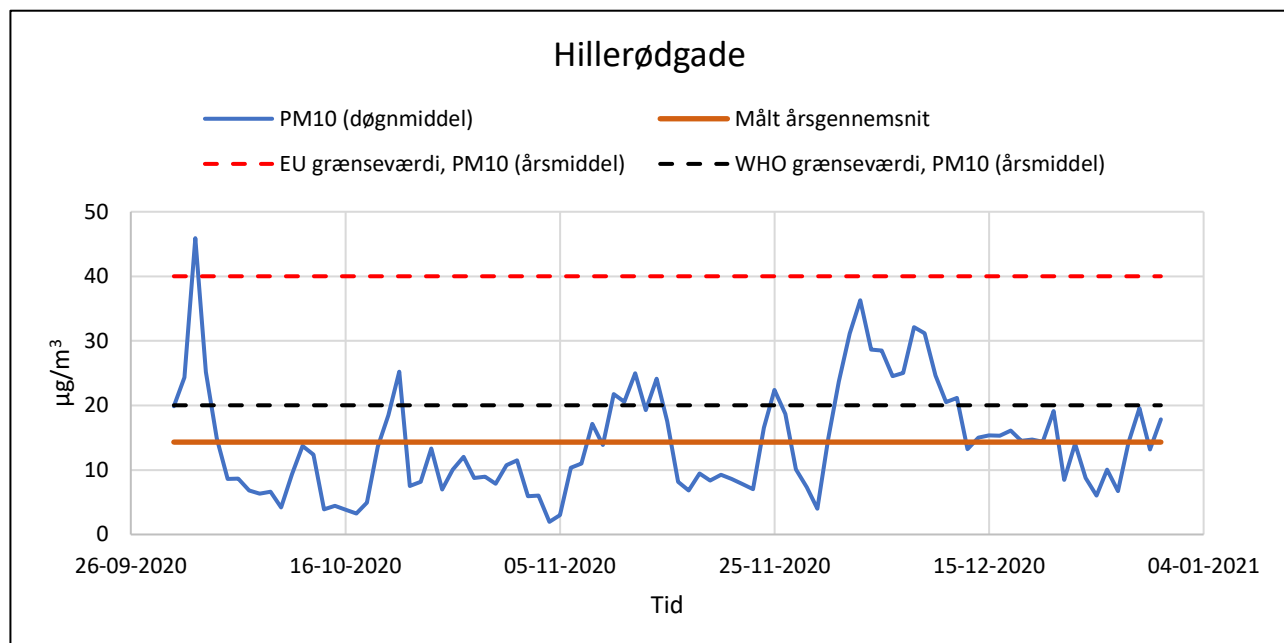
Figur 4. Døgnmiddelværdier samt målt årgennemsnit for PM<sub>2.5</sub> fra målestasjonen ved Søtorvet. De røde og sorte stiplede linjer angiver EU's grænseværdi samt WHO's vejledende grænseværdi for den gennemsnitlige koncentration af PM<sub>2.5</sub> over et år.



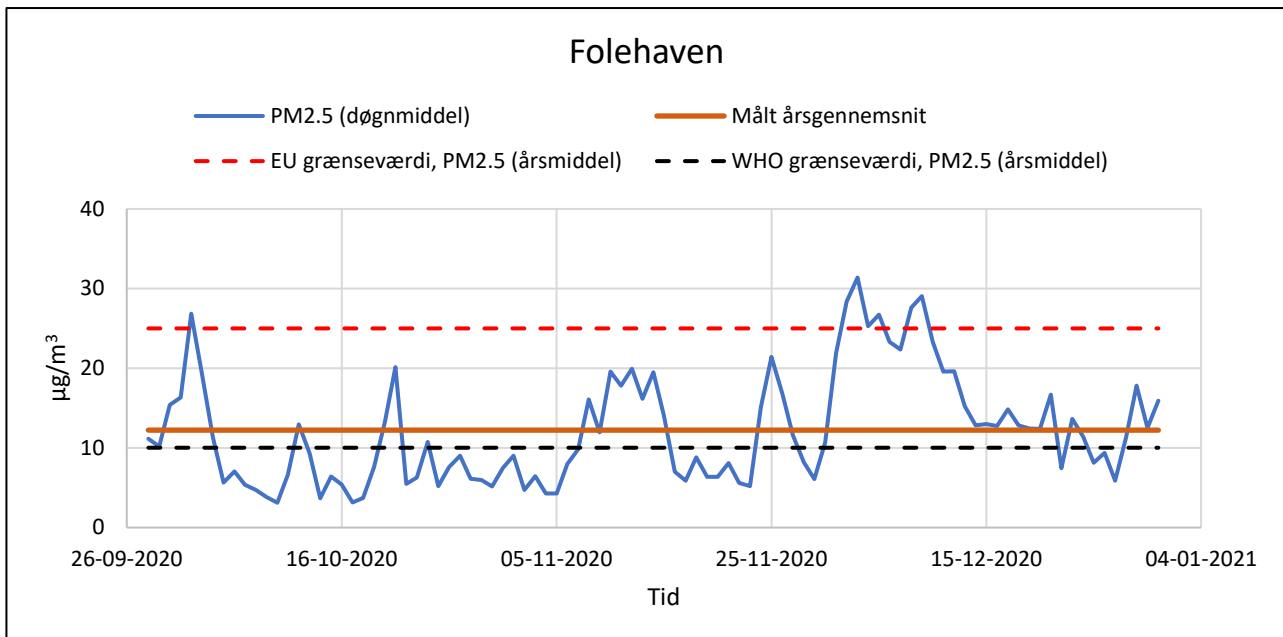
Figur 5. Døgnmiddelværdier samt målt årgennemsnit for PM<sub>10</sub> fra målestasjonen på Søtorvet. De røde og sorte stiplede linjer angiver EU's grænseværdi samt WHO's vejledende grænseværdi for den gennemsnitlige koncentration af PM<sub>10</sub> over et år.



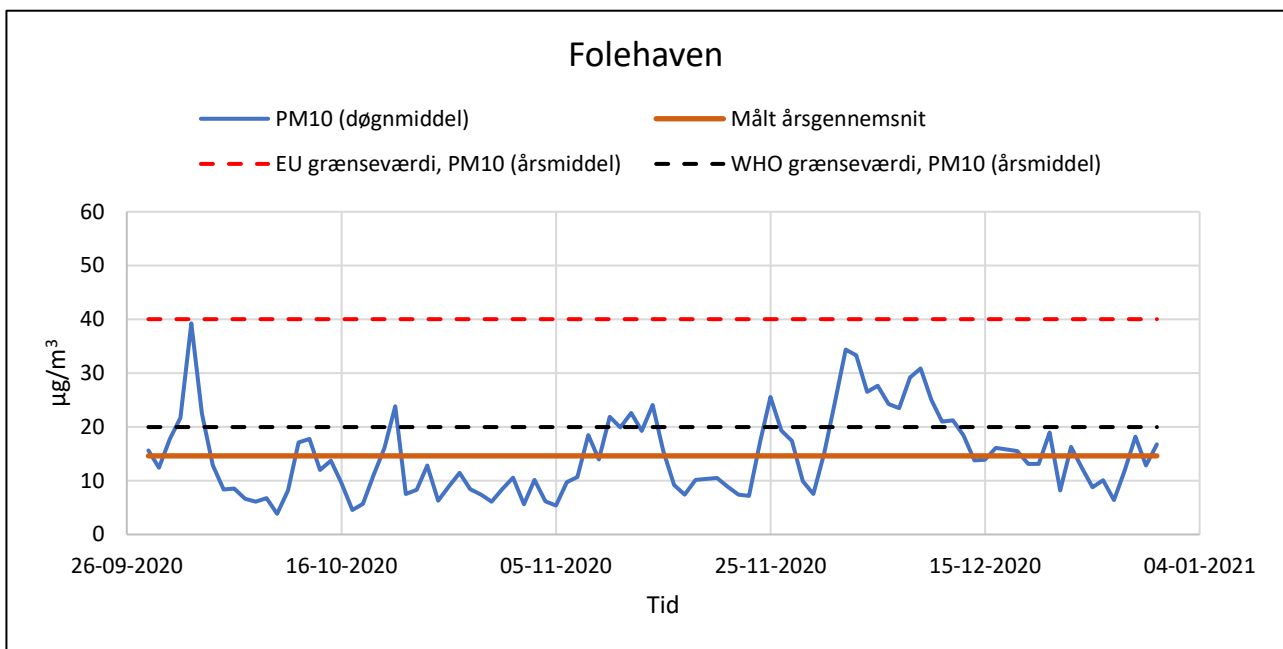
Figur 6. Døgnmiddelværdier samt målt årgennemsnit for PM<sub>2.5</sub> fra målestasjonen på Hillerødgade. De røde og sorte stiplede linjer angiver EU's grænseværdi samt WHO's vejledende grænseværdi for den gennemsnitlige koncentration af PM<sub>2.5</sub> over et år.



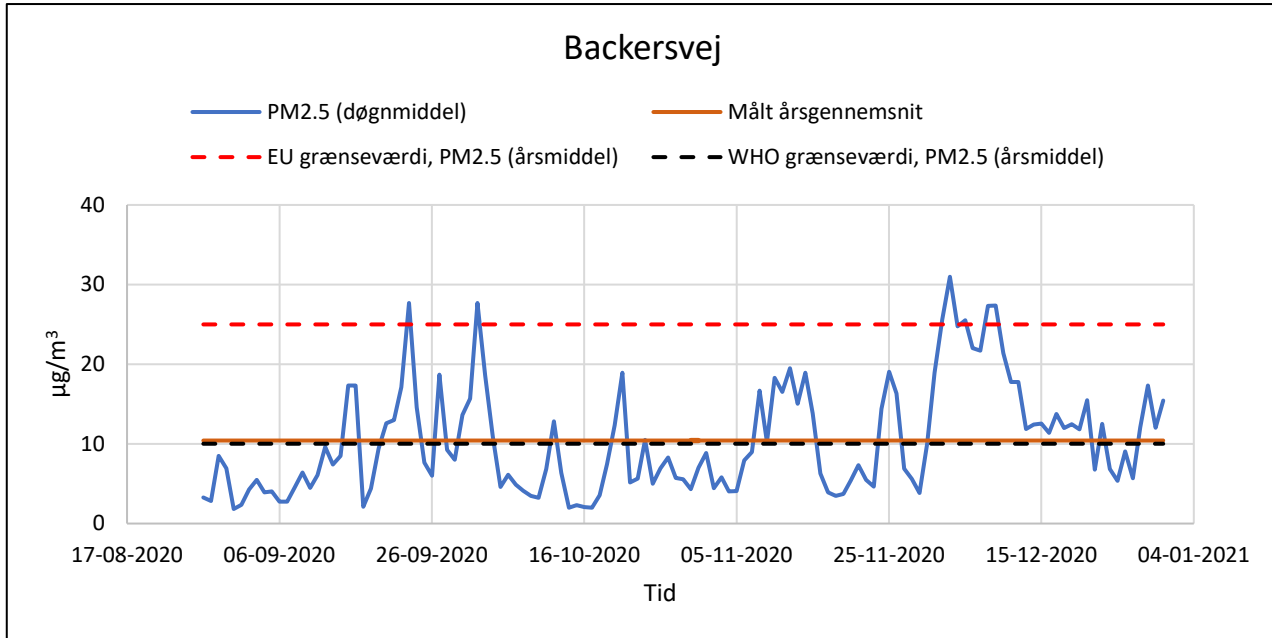
Figur 7. Døgnmiddelværdier samt målt årgennemsnit for PM<sub>10</sub> fra målestasjonen på Hillerødgade. De røde og sorte stiplede linjer angiver EU's grænseværdi samt WHO's vejledende grænseværdi for den gennemsnitlige koncentration af PM<sub>10</sub> over et år.



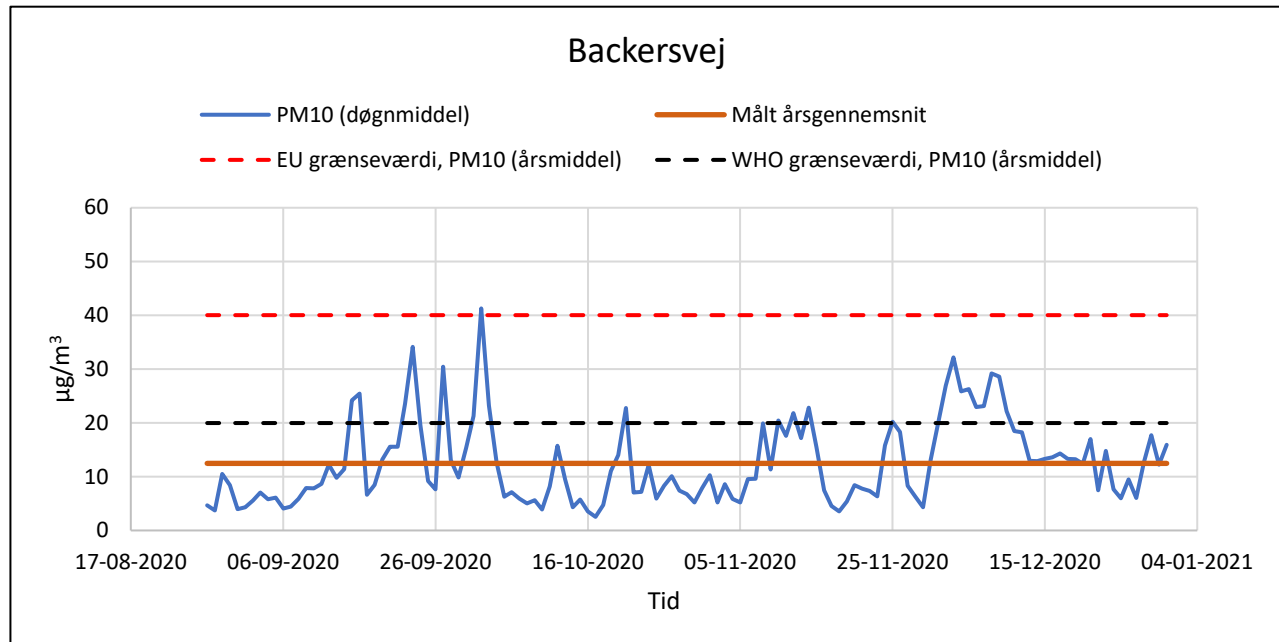
Figur 8. Døgnmiddelværdier samt målt årgennemsnit for PM<sub>2.5</sub> fra målestasjonen på Folehaven. De røde og sorte stiplede linjer angiver EU's grænseværdi samt WHO's vejledende grænseværdi for den gennemsnitlige koncentration af PM<sub>2.5</sub> over et år.



Figur 9. Døgnmiddelværdier samt målt årgennemsnit for PM<sub>10</sub> fra målestasjonen på Folehavnen. De røde og sorte stiplede linjer angiver EU's grænseværdi samt WHO's vejledende grænseværdi for den gennemsnitlige koncentration af PM<sub>10</sub> over et år.



Figur 10. Døgnmiddelværdier samt målt årsgennemsnit for PM<sub>2,5</sub> fra målestasjonen på Backersvej. De røde og sorte stiplede linjer angiver EU's grænseværdi samt WHO's vejledende grænseværdi for den gennemsnitlige koncentration af PM<sub>2,5</sub> over et år.



Figur 11. Døgnmiddelværdier samt målt årsgennemsnit for PM<sub>10</sub> fra målestasjonen på Backersvej. De røde og sorte stiplede linjer angiver EU's grænseværdi samt WHO's vejledende grænseværdi for den gennemsnitlige koncentration af PM<sub>10</sub> over et år.

Tabel 7 og Tabel 8 angiver årsgennemsnittet for henholdsvis PM<sub>2,5</sub> og PM<sub>10</sub>. Resultatet af målingerne viser, at EU's grænseværdierne for PM<sub>2,5</sub> og PM<sub>10</sub> i den målte periode er overholdt i forhold til årsmiddel samt spidsværdier (døgnmiddel).

Ved sammenligning med WHO's vejledende grænseværdier ses det, at disse er overholdt i forhold til årsmiddel samt spidsværdier (døgnmiddel) gældende for PM<sub>10</sub>. WHO's vejledende grænseværdi gældende for PM<sub>2,5</sub> som årsmiddel er dog ikke overholdt på fire af de fem målestationer. Målestationen på Backersvej, der ligger i et villakvarter overholder som den eneste WHO's vejledende grænseværdier for PM<sub>2,5</sub> i forhold til årsmiddel. WHO's vejledende grænseværdier i forhold til spidsværdier for PM<sub>2,5</sub> er ikke overholdt på de fem målestationer. Selvom forbrændingsprocesser fra trafik og industri samt evt. støvende anlægsarbejde bidrager til den lokale udledning af PM<sub>2,5</sub>, langtransporteres størstedelen af PM<sub>2,5</sub> fra kilder, der er placeret udenfor Københavns Kommune. Dette er årsagen til, at de målte gennemsnits koncentrationer af PM<sub>2,5</sub> er forholdsvis ens på målestationerne.

## Overvågning af luftkvalitet i Københavns Kommune

 Tabel 7. Beregnede middelværdier for PM<sub>2,5</sub> på målestationerne sammenlignet med EU's grænseværdier samt WHO vejledende grænseværdier.

Parameter	Grænseværdi			Målte middelværdier				
	Grænseværdi for	$\mu\text{g}/\text{m}^3$	Grænseværdi baseret på	Krügersgade	Søtorvet	Hillerødsgade	Folehaven	Backersvej
				$\mu\text{g}/\text{m}^3$				
PM <sub>2,5</sub>	EU	25	Årsmiddelværdi (note 13)	12	12	12	12	10
PM <sub>2,5</sub>	WHO (vejledende)	10	Årsmiddelværdi (note 13)	12	12	12	12	10
PM <sub>2,5</sub>	WHO (vejledende)	25	Højest tilladelige spids-værdi (note 14)	37	36	36	35	34

 Tabel 8. Beregnede middelværdier for PM<sub>10</sub> på målestationerne i henhold til EU's grænseværdier samt WHO's vejledende grænseværdier.

Parameter	Grænseværdi			Målte middelværdier				
	Grænseværdi for	$\mu\text{g}/\text{m}^3$	Grænseværdi baseret på	Krügersgade	Søtorvet	Hillerødsgade	Folehaven	Backersvej
				$\mu\text{g}/\text{m}^3$				
PM <sub>10</sub>	EU	40	Årsmiddelværdi (note 13)	13	14	14	15	13
PM <sub>10</sub>	EU	50	Højest tilladelige spids-værdi (note 15)	27	28	28	27	25
PM <sub>10</sub>	WHO (vejledende)	20	Årsmiddelværdi (note 13)	13	14	14	15	13
PM <sub>10</sub>	WHO (vejledende)	50	Højest tilladelige spids-værdi (note 14)	42	40	42	40	40

<sup>13</sup> Sammenligning med EU's eller WHO's grænseværdier skal foretages ud fra målinger over et helt kalenderår, og sammenligningen med måleresultater fra årets kun sidste ca. 4 måneder skal derfor tages med forbehold.

<sup>14</sup> Den højest tilladelige spidsværdi for PM<sub>2,5</sub> hhv. PM<sub>10</sub> defineres iht. WHO's vejledende grænseværdier som den døgnmiddelværdi, der er den 4. højeste af alle de målte døgnmiddelværdier over året (99-percentil af målte døgnmiddelværdier). Sammenligning er derfor foretaget ud fra den beregnede 99-percentil af de målte døgnmiddelværdier i årets sidste ca. 4 måneder.

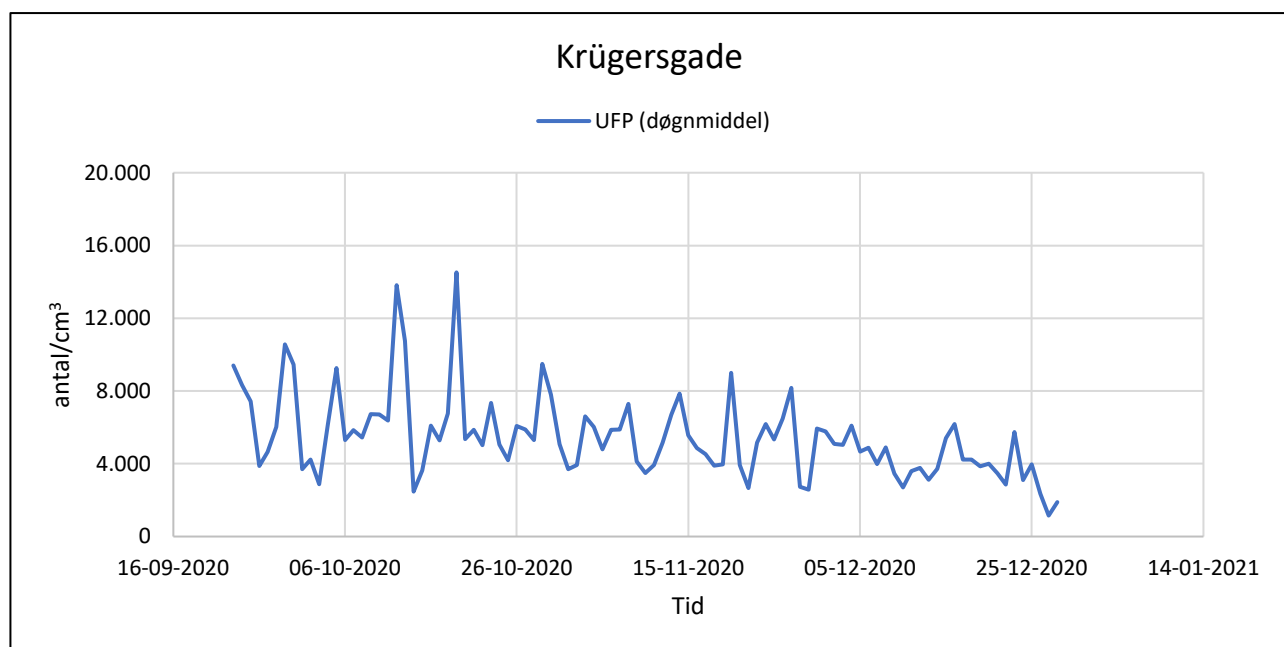
<sup>15</sup> Den højest tilladelige spidsværdi defineres iht. EU's grænseværdier for PM<sub>10</sub> som den døgnmiddelværdi, der er 36. højeste af alle de målte døgnmiddelværdier over året.

## 4.2 Ultrafine partikler, UFP

Figur 12 - Figur 16 viser døgnmiddelværdier<sup>16</sup> for UFP i den målte periode. Der foreligger ikke grænseværdier for UFP i udeluft.

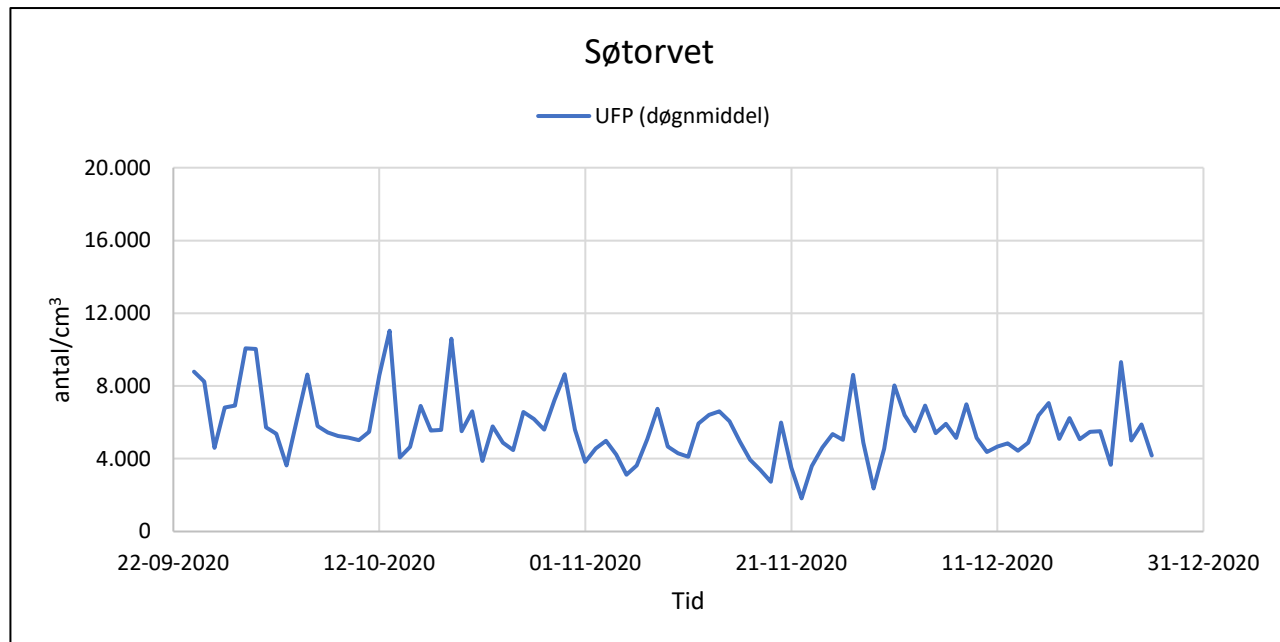
Tabel 9 angiver årsgennemsnittet for UFP for de enkelte målestationer. Resultatet af målingerne viser, at den gennemsnitlige partikelkoncentration var højest på Folehaven (ca. 7400 antal/cm<sup>3</sup>) efterfulgt af Hillerødsgade (ca. 6300 antal/cm<sup>3</sup>). Partikelkoncentrationen på Backersvej (ca. 5300 antal/cm<sup>3</sup>) var den laveste for de fem målestationer. Målestasjonen på Backersvej ligger ved en mindre trafikeret vej og omgivet af et villa-kvarter. Målestasjonen på Folehaven ligger derimod ved en meget trafikeret indfaldsvej til Københavns Kommune. Dette forklarer, hvorfor der måles højere partikelkoncentrationer ved Folehaven i forhold til Backersvej. De målte partikelkoncentrationer fra henholdsvis Krügersgade og Søtorvet har været meget ens i den målte periode (5400 – 5600 antal/cm<sup>3</sup>).

Grafer, der viser timemiddelværdier for de enkelte målestationer er vist i Bilag D.

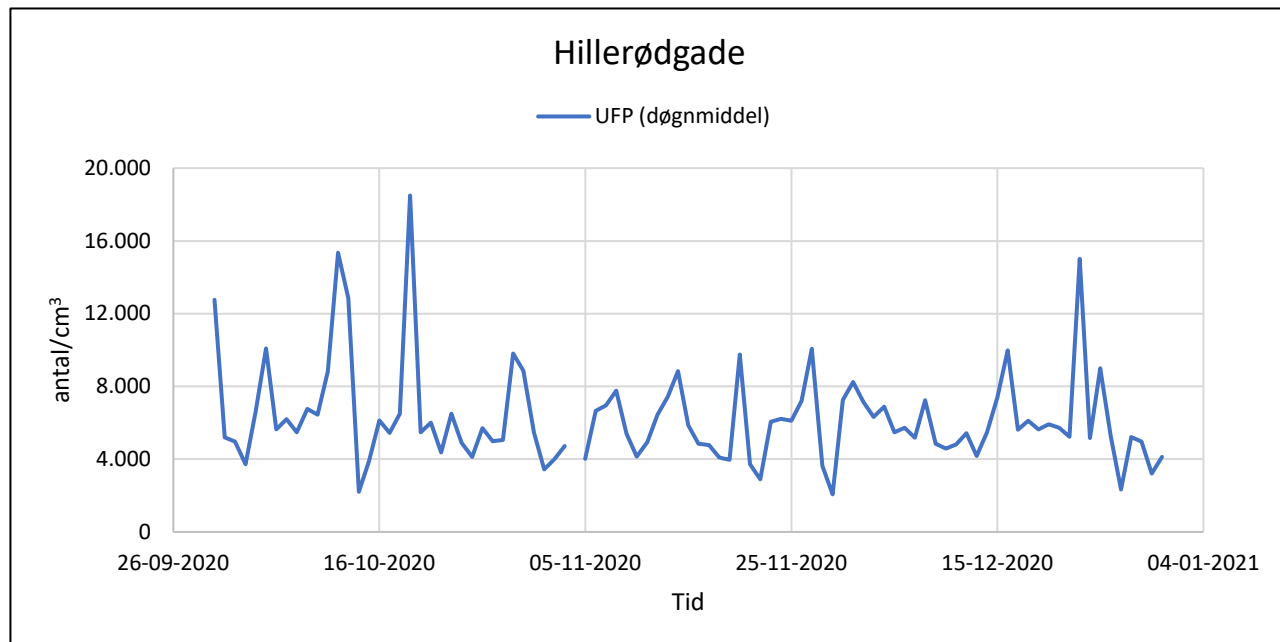


Figur 12. Døgnmiddelværdier for UFP på Krügersgade.

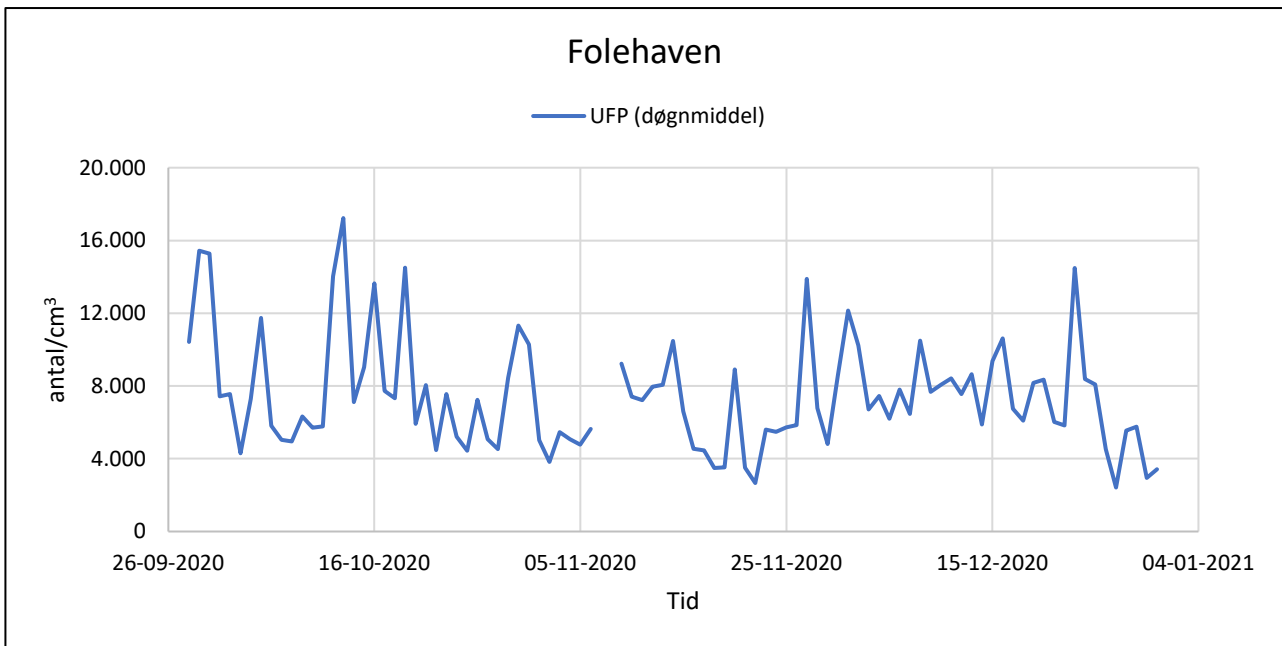
<sup>16</sup> Eventuelle manglende måleværdier på graferne skyldes service og kalibrering af måleudstyret.



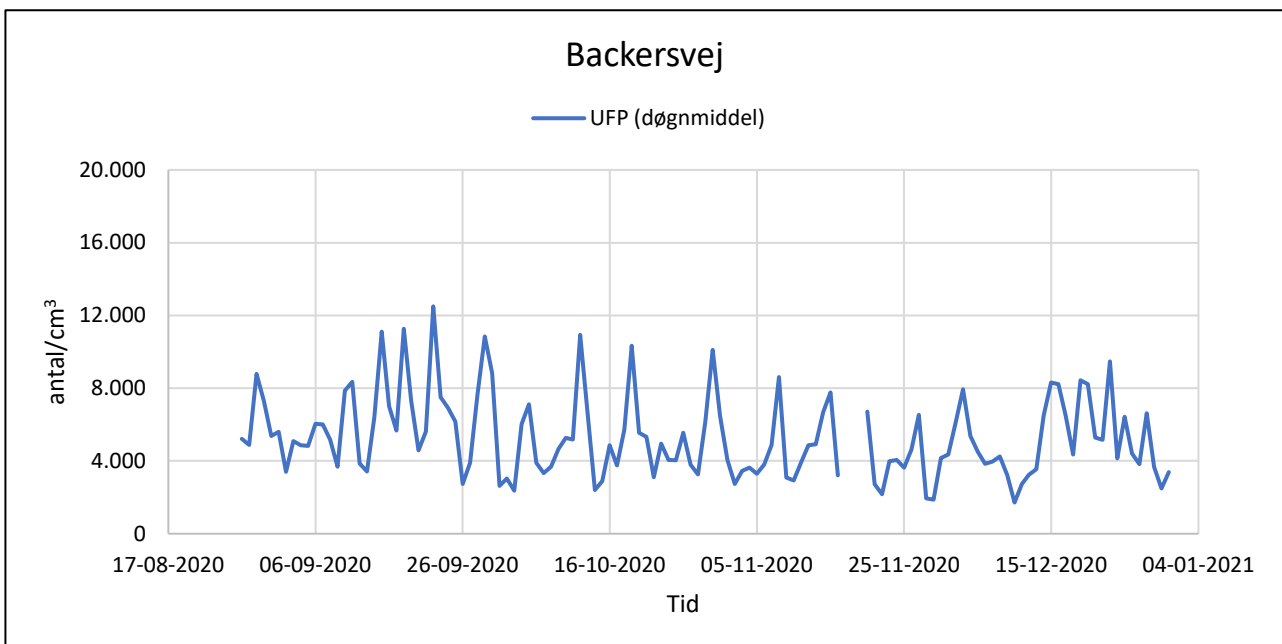
Figur 13. Døgnmiddelværdier for UFP på Søtorvet.



Figur 14. Døgnmiddelværdier for UFP på Hillerødsgade.



Figur 15. Døgnmiddelværdier for UFP på Folehaven.



Figur 16. Døgnmiddelværdier for UFP på Backersvej.

Tabel 9. Beregnede middelværdier af UFP for de enkelte målestationer. Der foreligger ikke grænseværdier for UFP i udeluft.

Parameter	Periode	Krügersgade	Søtorvet	Hillerødsgade	Folehaven	Backersvej
		antal/cm <sup>3</sup>				
UFP	Målt middelværdi for perioden sep.-dec. 2020	5438	5583	6255	7432	5299

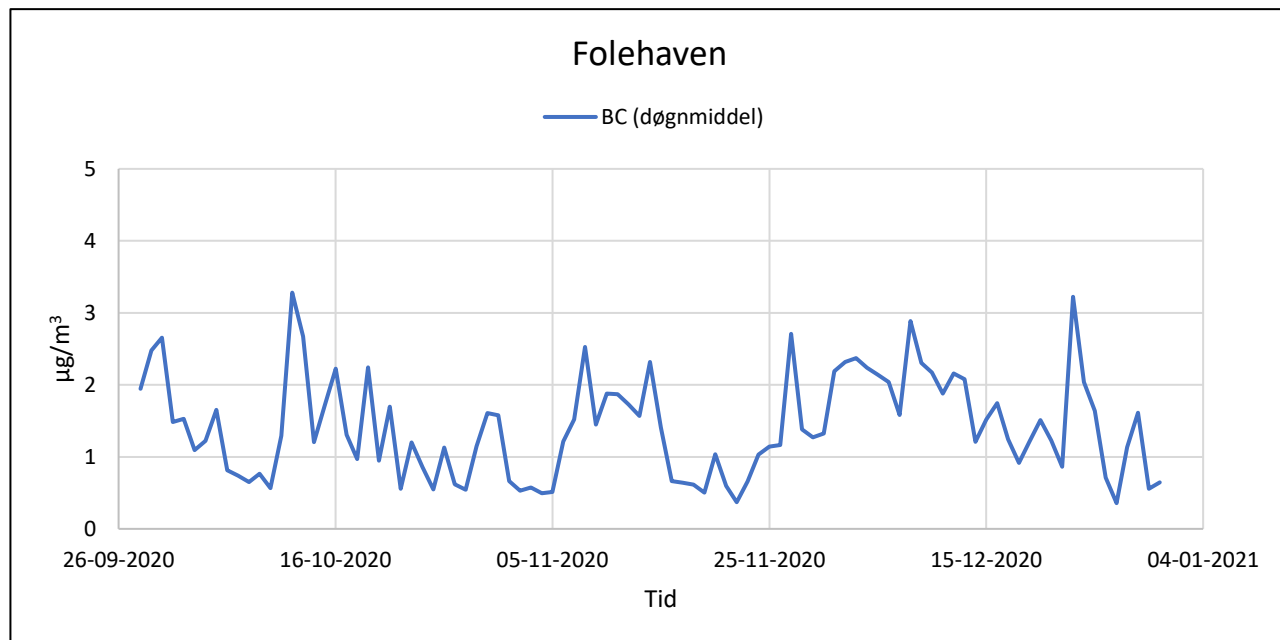
### 4.3 Black Carbon, BC

Figur 17 – Figur 18 døgnmiddelværdier<sup>17</sup> for BC. Tabel 10 angiver års gennemsnittet for BC for de enkelte målestationer. Der foreligger ikke grænseværdier for BC i udeluft.

Resultatet af målingen viser, at koncentrationen af BC på Folehaven ( $1,4 \mu\text{g}/\text{m}^3$ ) er dobbelt så høj som på Backersvej ( $0,7 \mu\text{g}/\text{m}^3$ ). Dette skyldes den langt større trafikintensitet på indfaldsvejen Folehaven ift. Backersvej, som er beliggende i et villakvarter. Som beskrevet i afsnit 4.2 blev der af samme grund målt en væsentlig højere koncentration af ultrafine partikler på Folehaven ift. Backersvej.

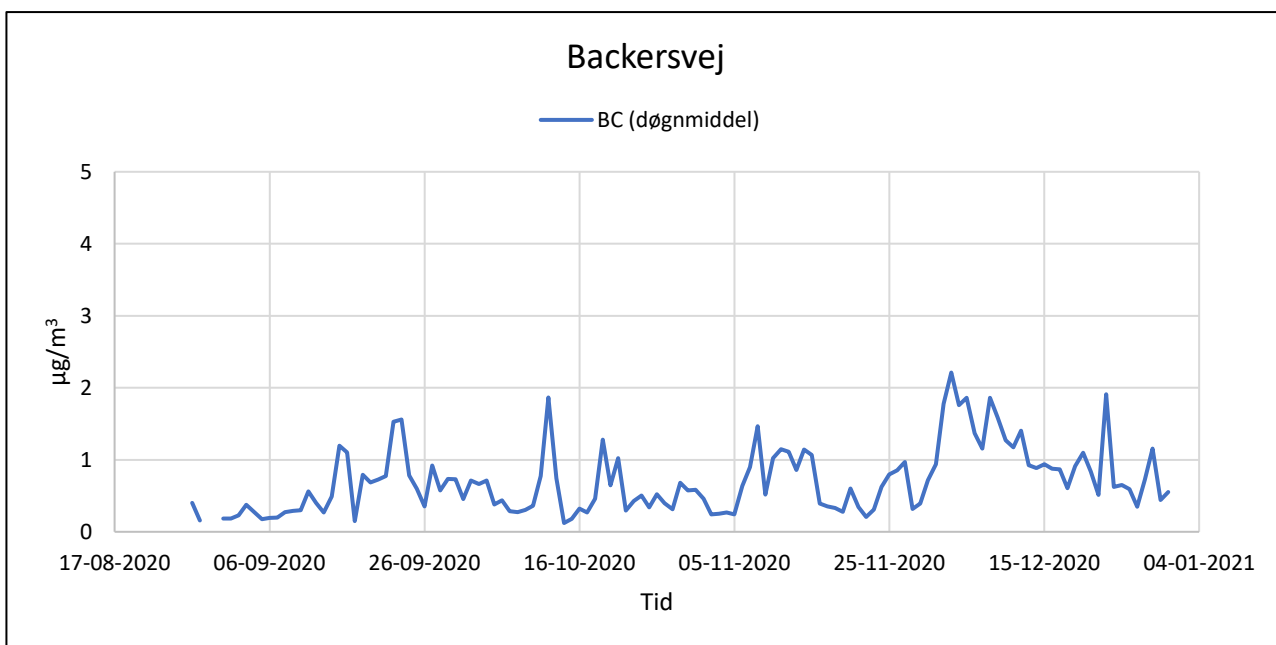
Den beregnede andel af BC, der stammer fra afbrænding af fossilt brændsel ( $\text{BC}_{\text{FF}}$ ) udgør ca. 62% af den totale målte BC på Folehaven. Tilsvarende udgør  $\text{BC}_{\text{FF}}$  ca. 63% af den totale målte BC på Backersvej. Den andel af BC, der tilskrives afbrænding af træ ( $\text{BC}_{\text{WB}}$ ) beregnes som  $\text{BC}_{\text{WB}} = \text{BC} - \text{BC}_{\text{FF}}$ . På Backersvej udgør  $\text{BC}_{\text{WB}}$  derfor ca. 38% mens den udgør ca. 37% på Folehaven. Bemærk, at denne årsrapport kun omfatter målinger fra august/september og frem til årsskiftet, og at datamaterialet er for begrænset for at kunne vurdere effekter af fx brændeovnsfyring.

Grafer, der viser timemiddelværdier for de enkelte målestationer er vist i Bilag D.



Figur 17. Døgnmiddelværdier for BC på Folehaven.

<sup>17</sup> Eventuelle manglende måleværdier på graferne skyldes service og kalibrering af måleudstyret.



Figur 18. Døgnmiddelværdier for BC på Backersvej.

Tabel 10. Beregnede middelværdier af BC på Folehaven samt Backersvej. Der måles ikke BC på de resterende tre målestationer.

Parameter	Periode	Folehaven	Backersvej	Grænseværdi
		µg/m³		
BC	Målt middelværdi	1,4	0,7	-
BC <sub>WB</sub>	Målt middelværdi	0,5	0,3	-
BC <sub>FF</sub>	Målt middelværdi	0,9	0,4	-

#### 4.4 NO<sub>2</sub>

Figur 19 – Figur 23 viser døgnmiddelværdier samt årsmiddelværdien for de enkelte målestationer<sup>18</sup>. Resultaterne er sammenlignet med EU's grænseværdi samt WHO's vejledende grænseværdi. Det skal bemærkes, at de enkelte time- og døgnmiddelværdier gerne må overskride årsmiddelværdien, så længe det målte årsgegensnit ikke overskride årsgrænseværdien. Det skal dog bemærkes at antallet af målte timemiddelværdier over et år højest 18 gange må overskride EU's grænseværdi for spidsværdier på 200 µg/m<sup>3</sup>.

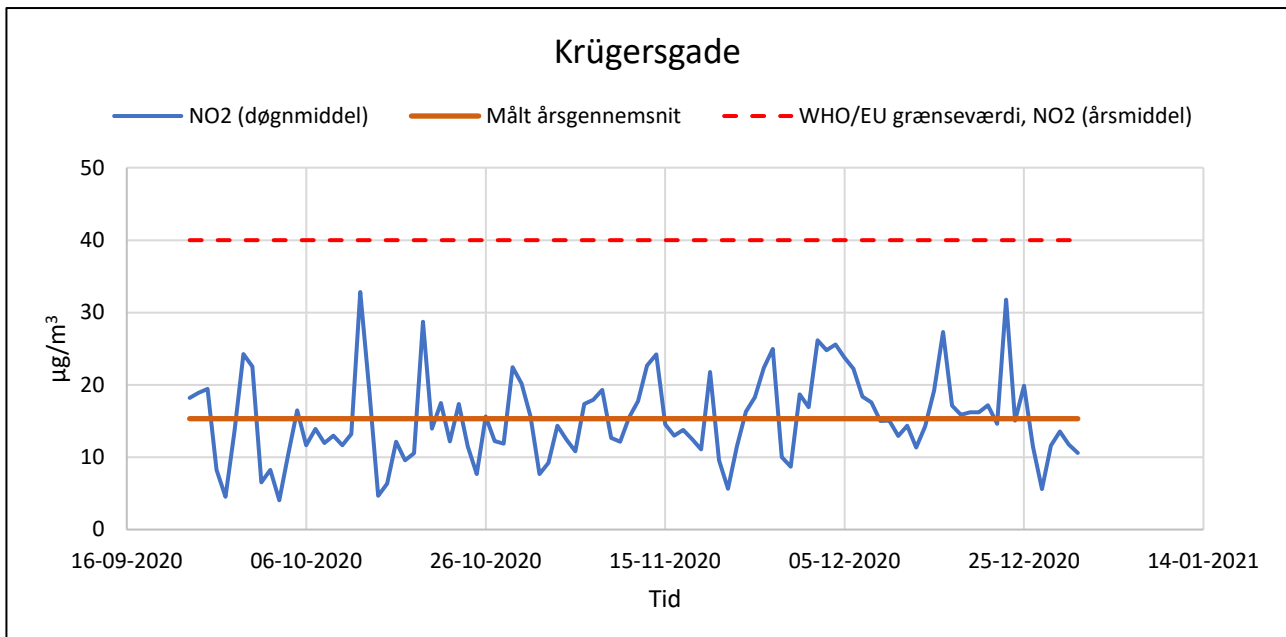
Tabel 12 angiver årsgegensnittet for NO<sub>2</sub>. Resultatet af målingerne viser, at EU's grænseværdier samt WHO's vejledende grænseværdier er overholdt i forhold til årsmiddel samt spidsværdier (døgnmiddel). De højeste gennemsnitskoncentrationer (årsmiddel) er målt på Folehaven (23 µg/m<sup>3</sup>) efterfuldt af Søtorvet (21 µg/m<sup>3</sup>) og Hillerødgade (20 µg/m<sup>3</sup>). Årsmiddelværdien målt på Krügersgade (15 µg/m<sup>3</sup>) og Backersvej (10 µg/m<sup>3</sup>) er noget lavere, hvilket skyldes at begge målestationer ligger på gader med lavere trafiktæthed end henholdsvis Folehaven, Søtorvet og Hillerødgade. Krügersgade er dog placeret tæt på Åboulevarden, hvor trafiktætheden også er høj, mens målestasjonen på Backersvej er placeret ud til en mindre trafikeret vej i et villakvarter. Dette forklarer, hvorfor årsmiddelværdien for Backersvej er den lavest måle af de fem målestationer. Spidskoncentrationer er ligeledes højst på Folehaven efterfulgt af Hillerødgade og Søtorvet.

Grafer, der viser timemiddelværdier for de enkelte målestationer er vist i Bilag D. Der er ingen overskridelser af spidsværdier for NO<sub>2</sub> i den målte periode som vist i Tabel 11.

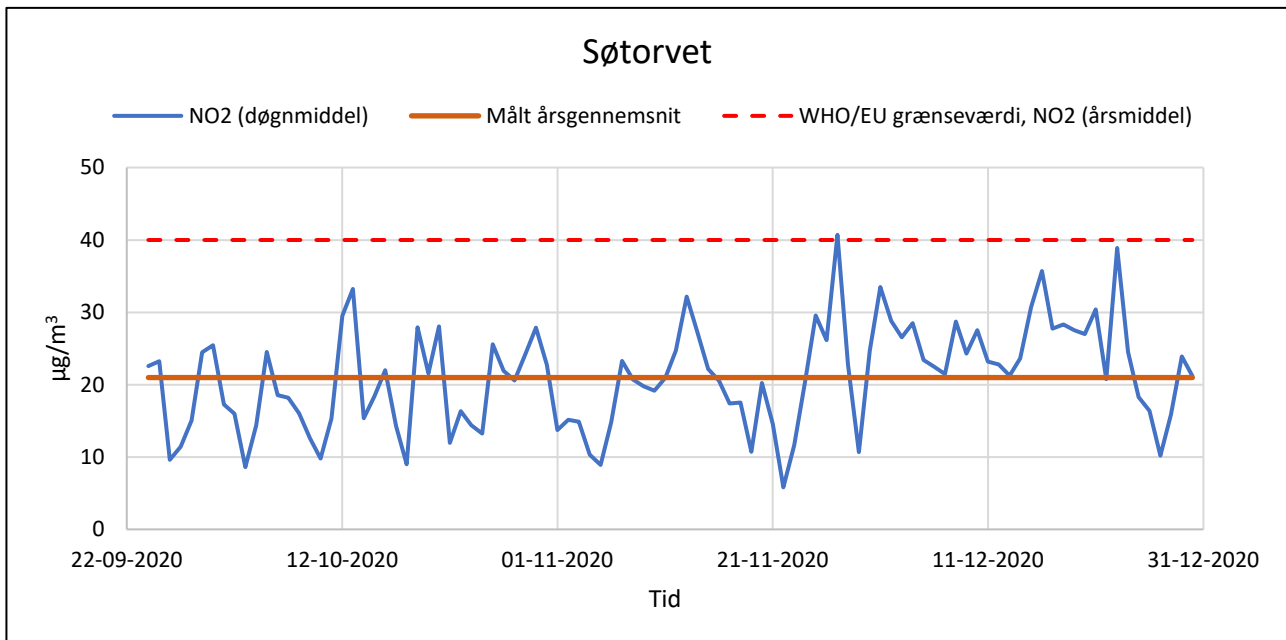
Tabel 11. Antal tilladte samt overskredne spidsværdier på de enkelte målestationer.

NO <sub>2</sub>	EU's grænseværdi	WHO's vejledende grænseværdi
Antal tilladte spidsværdier over grænseværdi	18	0
Krügersgade	0	0
Søtorvet	0	0
Antal overskredne spidsværdier	0	0
Hillerødgade	0	0
Folehaven	0	0
Backersvej	0	0

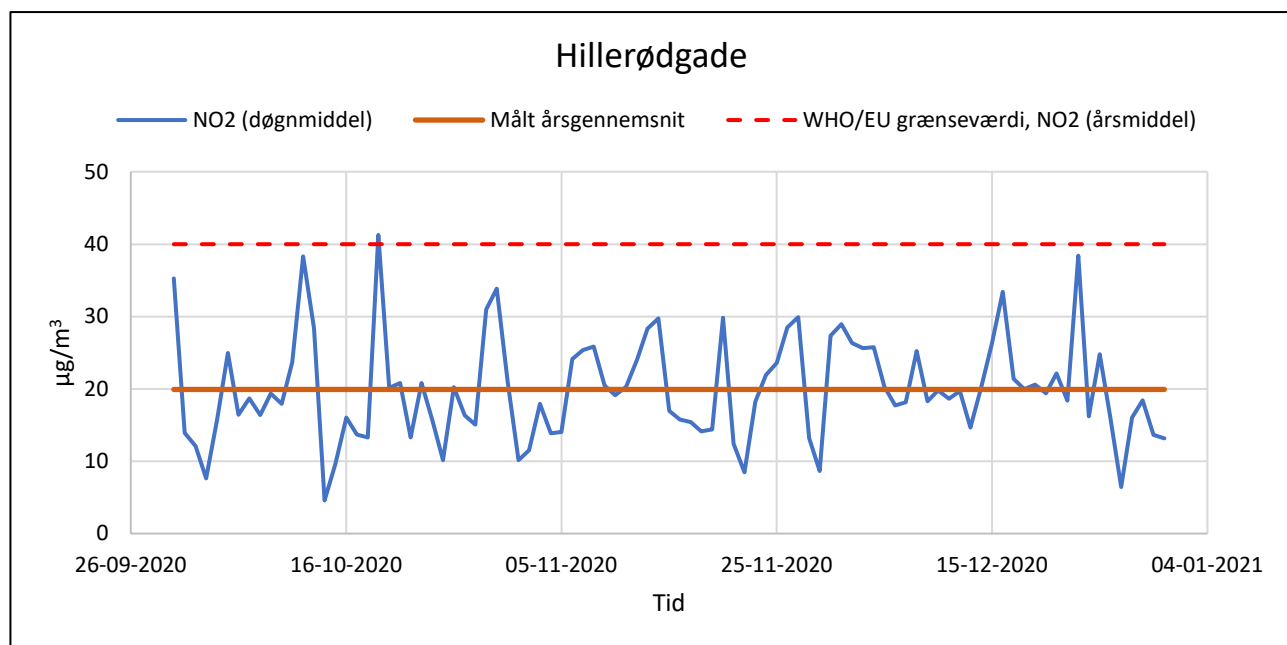
<sup>18</sup> Eventuelle manglende måleværdier på graferne skyldes service og kalibrering af måleudstyret.



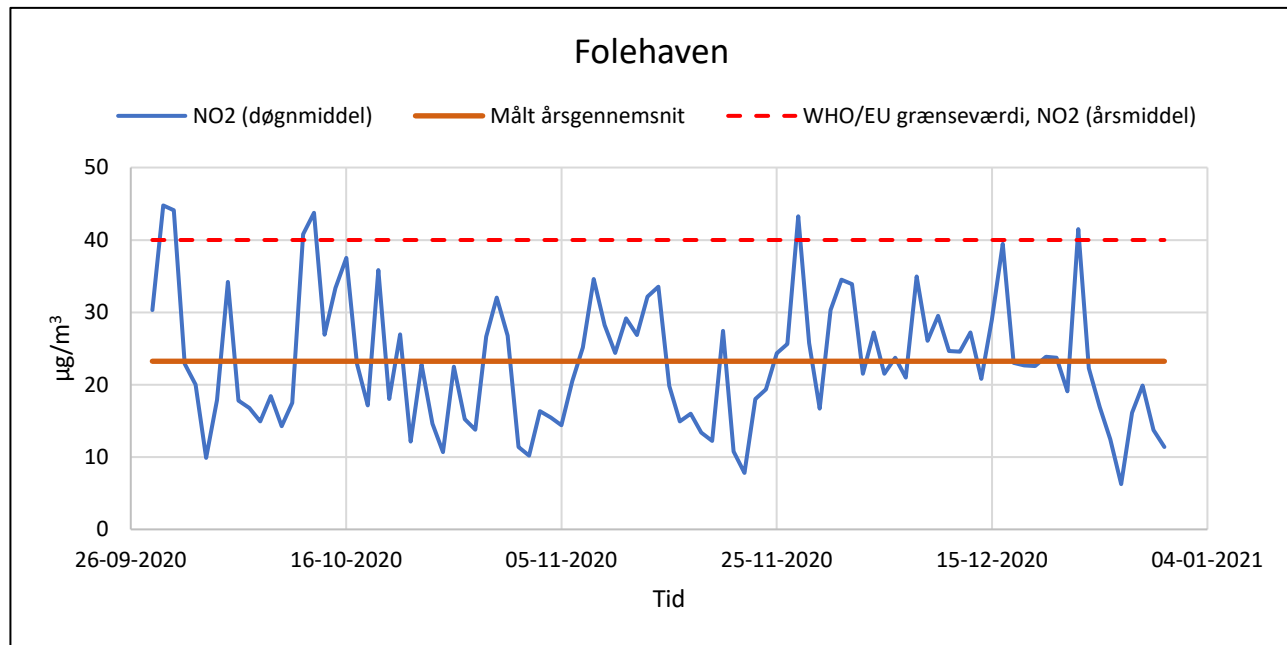
Figur 19. Døgnmiddelværdier samt målt års gennemsnit for NO<sub>2</sub> på Krügersgade. Den røde stiplede linje angiver EU's grænseværdi samt WHO's vejledende grænseværdi for den gennemsnitlige koncentration af NO<sub>2</sub> over et år.



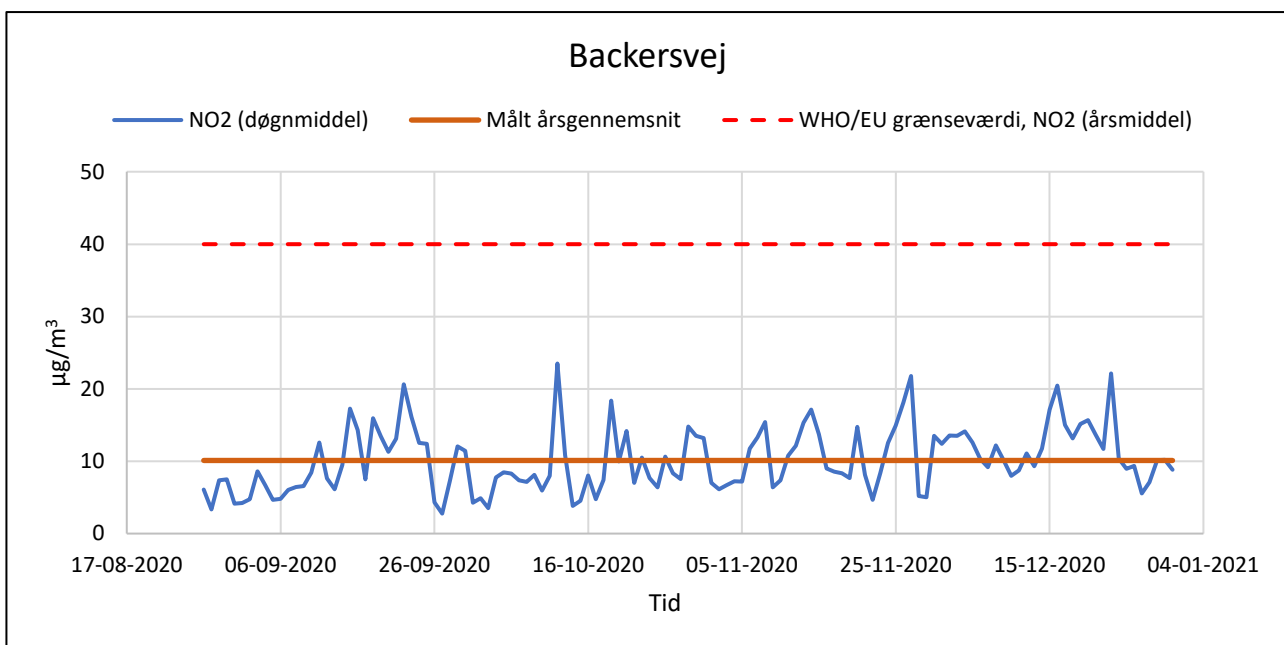
Figur 20. Døgnmiddelværdier samt målt års gennemsnit for NO<sub>2</sub> på Søtorvet. Den røde stiplede linje angiver EU's grænseværdi samt WHO's vejledende grænseværdi for den gennemsnitlige koncentration af NO<sub>2</sub> over et år.



Figur 21. Døgnmiddelværdier samt målt årsgeomensnit for NO<sub>2</sub> på Hillerødgade. Den røde stiplede linje angiver EU's grænseværdi samt WHO's vejledende grænseværdi for den gennemsnitlige koncentration af NO<sub>2</sub> over et år.



Figur 22. Døgnmiddelværdier samt målt årsgeomensnit for NO<sub>2</sub> på Folehaven. Den røde stiplede linje angiver EU's grænseværdi samt WHO's vejledende grænseværdi for den gennemsnitlige koncentration af NO<sub>2</sub> over et år.



Figur 23. Døgnmiddelværdier samt målt års gennemsnit for NO<sub>2</sub> på Backersvej. Den røde stiplede linje angiver EU's grænseværdi samt WHO's vejledende grænseværdi for den gennemsnitlige koncentration af NO<sub>2</sub> over et år.

## Overvågning af luftkvalitet i Københavns Kommune

Tabel 12. Beregnede middelværdier på målestationerne i henhold til EU's grænseværdier samt WHO vejledende grænseværdier.

Parameter	Grænseværdi			Målte middelværdier				
	Grænseværdi for	$\mu\text{g}/\text{m}^3$	Grænseværdi baseret på	Krügersgade	Søtorvet	Hillerødsgade	Folehaven	Backersvej
				$\mu\text{g}/\text{m}^3$				
NO <sub>2</sub>	EU samt WHO (vejledende)	40	Årsmiddelværdi	15	21	20	23	10
NO <sub>2</sub>	EU	200	Højest tilladelige spids-værdi (note 19)	52	70	69	85	41
NO <sub>2</sub>	WHO (vejledende)	200	Højest tilladelige spids-værdi (note 20)	60	75	80	95	47

<sup>19</sup> Den højest tilladelige spidsværdi defineres iht. EU's grænseværdier for NO<sub>2</sub> som den timemiddelværdi, der er 19. højeste af alle de målte timemiddelværdier over året.

<sup>20</sup> Må ikke overskrides som timemiddelværdi på noget tidspunkt.

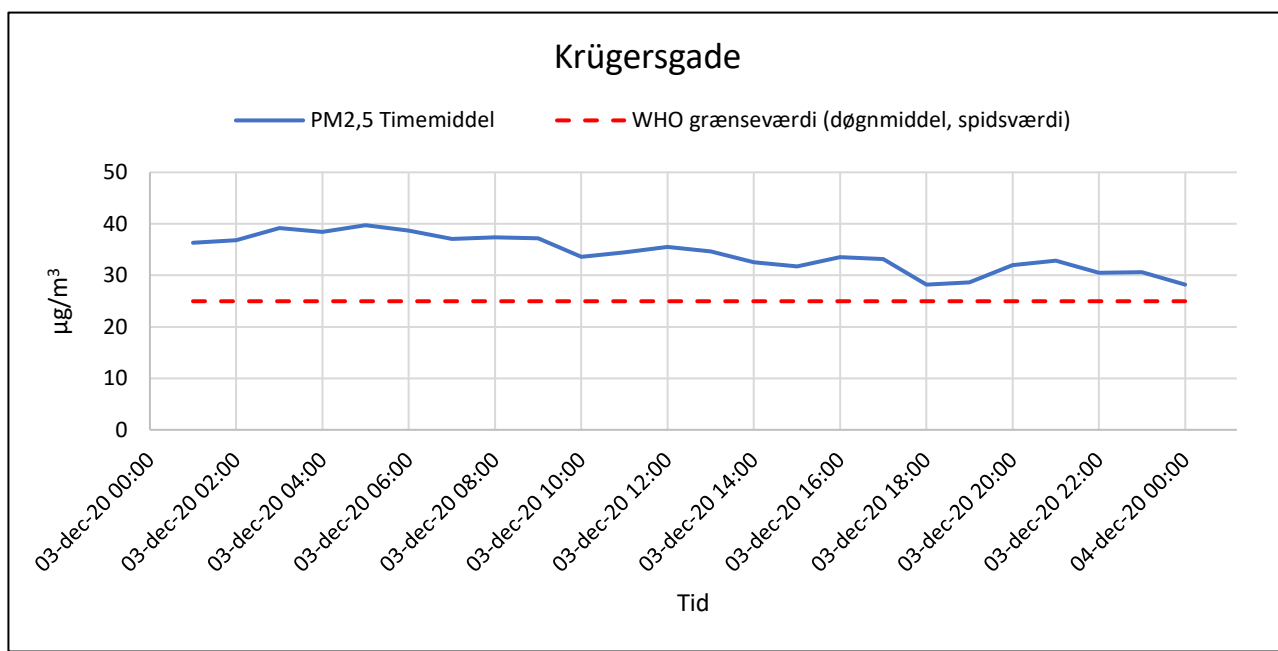
## 5 Variationer i de målte koncentrationer

### 5.1 Variationer i luftkvalitet

I det følgende afsnit vises udvalgte eksempler med henholdsvis *worst case* og *best case* døgn, vurderet ud fra de målte værdier for de enkelte parametre i måleperioden. Med *worst case* menes her et eksempel på et døgn i måleperioden, hvor den pågældende parameter vurderes at have haft et særlig højt bidrag i forhold til belastning af luftkvaliteten. Med *best case* menes et eksempel på et døgn, hvor måleparameteren har haft et særligt lavt bidrag til belastningen af luftkvaliteten.

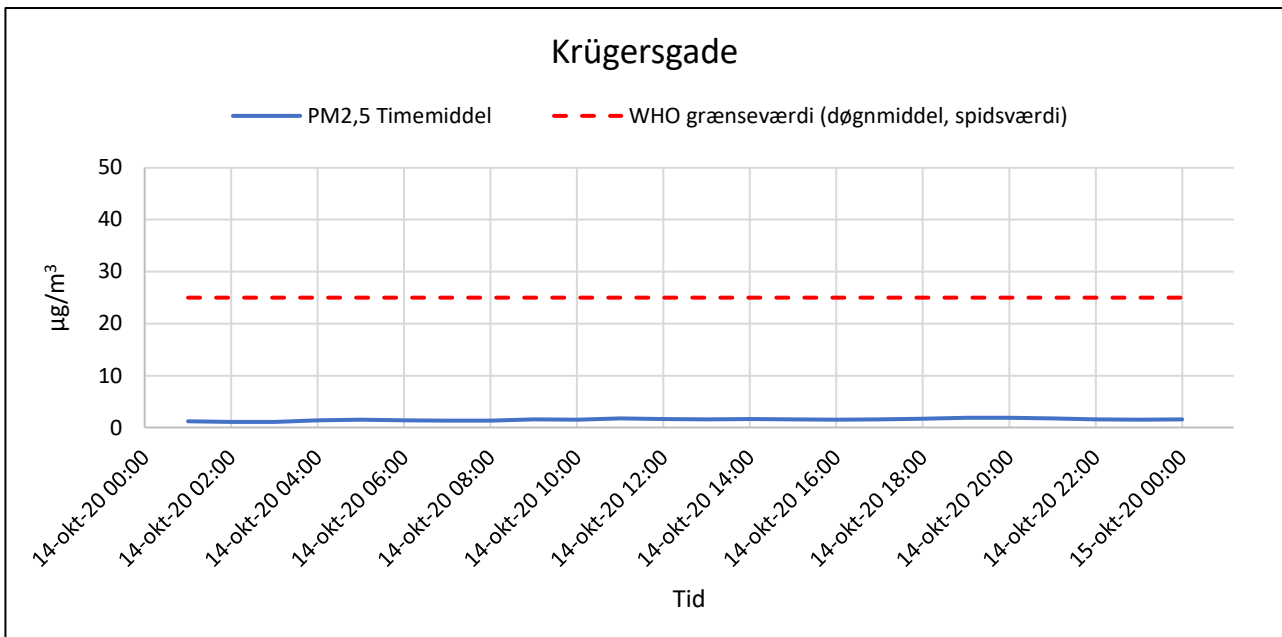
#### 5.1.1 Worst case og best case døgnmålinger for PM<sub>2,5</sub>

Figur 24 viser en graf for en vurderet *worst case* døgnmåling for PM<sub>2,5</sub>. Målingen er foretaget den 3. december 2020. Vinden har været i sydlig retning frem til formiddagen, hvorefter vinden er drejet og kommer fra østlig retning. Vindhastigheden var lav - omkring 2,5 m/s fra morgentimerne og frem til midnat. Perioden fra 29. november til 13. december er generelt præget af vinden kommer fra syd eller sydøstlig retning og vindhastigheden er 3 – 7 m/s. I den periode måles der generel højere partikelkoncentrationer i forhold til andre perioder af tilsvarende længde. Se evt. døgnmiddelværdier for PM<sub>2,5</sub> for de enkelte målestationer i afsnit 4.1. De forholdsvis lave vindhastigheder samt vindretningen, der er målt den 3. december, er formentlig årsag til de relativt høje koncentrationer.



Figur 24. *Worst case* døgn for måling af PM<sub>2,5</sub>. Målingen er foretaget på Krügersgade den 3. december 2020. Døgngegnemsnittet er målt til 34 µg/m<sup>3</sup>. Den røde stipede linje angiver WHO's vejledende grænseværdi (spidsværdi), som er sammenfaldende med EU's årsgrænseværdi.

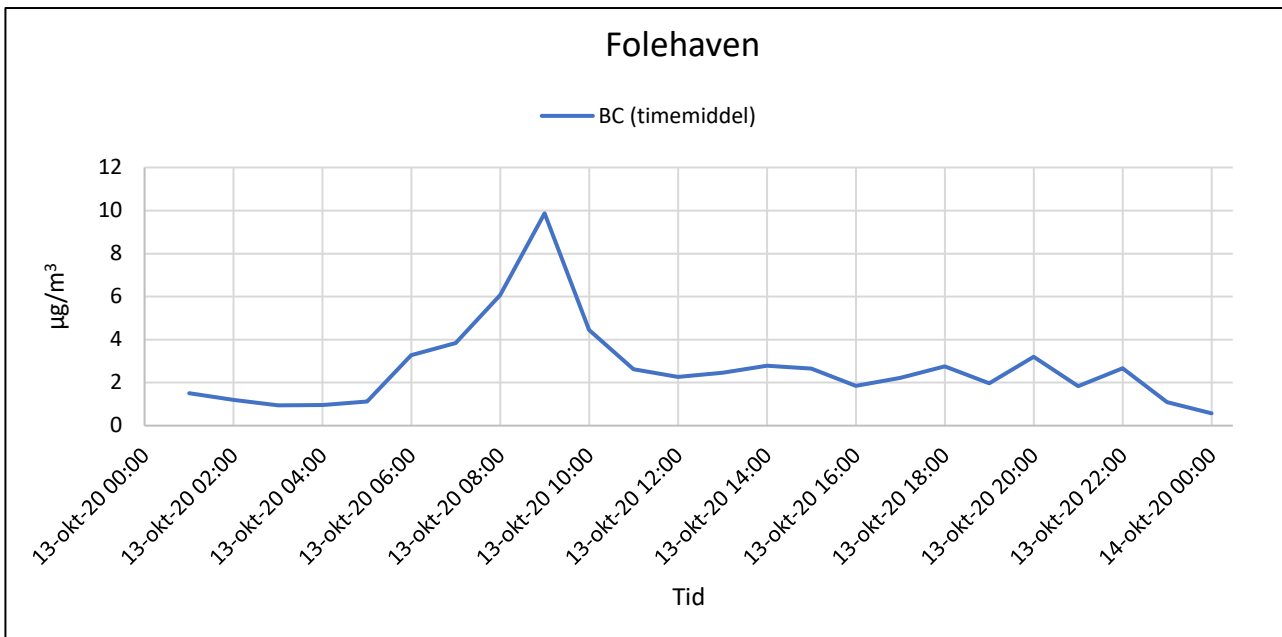
Figur 25 viser en tilsvarende *best case* døgnmåling for PM<sub>2,5</sub> fra onsdag den 14. oktober 2020. Målingen er ligeledes foretaget på Krügersgade. Vinden er kommet fra nordlig retning og middelvind omkring 5 - 7 m/s, hvilket er en smule højere end middelvinden de foregående og efterfølgende dage, hvilket formentligt er en indvirkende årsag til den målte, relativt lave partikelkoncentration.



Figur 25. *Best case* døgn for måling af PM<sub>2,5</sub>. Målingen er foretaget på Krügersgade den 14. oktober 2020. Døngennemsnittet er målt til 5 µg/m<sup>3</sup>. Den røde stiplede linje angiver WHO's vejledende grænseværdi (spidsværdi), som er sammenfaldende med EU's årsgrænseværdi.

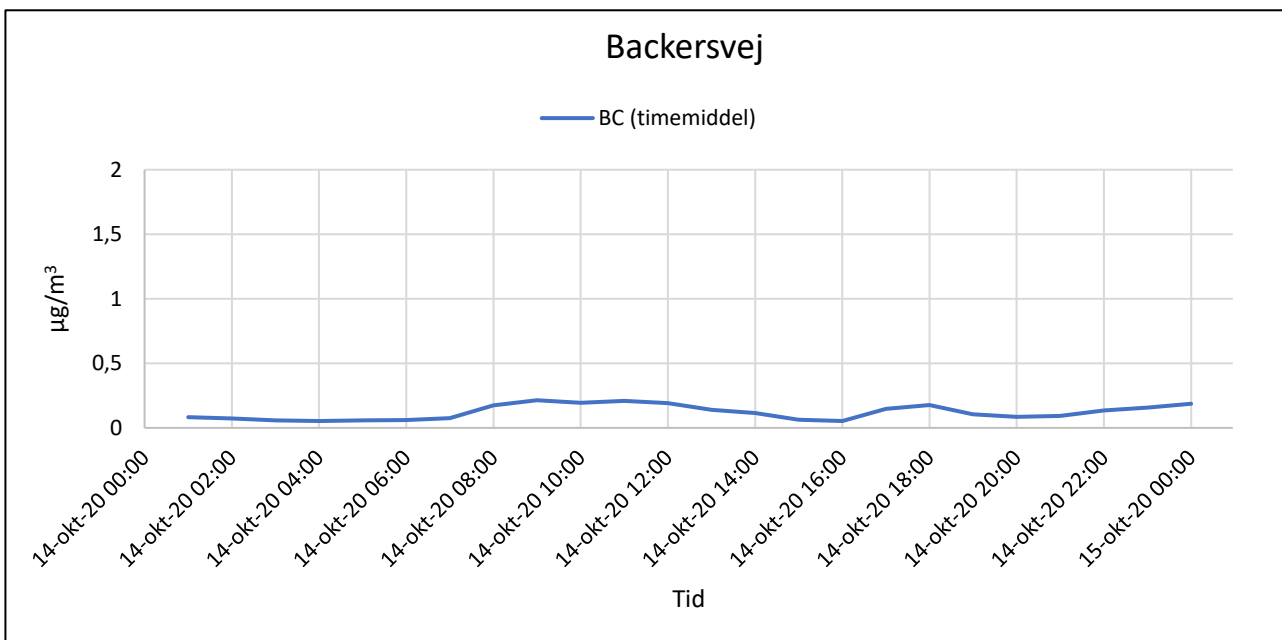
### 5.1.2 Worst case og best case døgnmålinger for Black Carbon

Figur 26 viser en *worst case* døgnmåling for BC. Målingen er foretaget på Folehaven tirsdag den 13. oktober 2020 og viser især en forholdsvis høj koncentration i morgentimerne fra kl. 6 – 10. Den relativ høje koncentration af BC omkring kl. 6 – 10 skyldes formentlig morgenmyldretiden med høj trafikintensitet, kombineret med en samtidig lav vindhastighed: Middelvinden i morgentimerne var <1,5 m/s, og luftskiftet omkring målestasjonen har derfor været forholdsvis lavt på dette tidspunkt.



Figur 26. *Worst case* døgn for måling af BC. Målingen er foretaget på Folehaven den 13. oktober 2020. Døgngegnemsnittet er målt til  $2,7 \mu\text{g}/\text{m}^3$ .

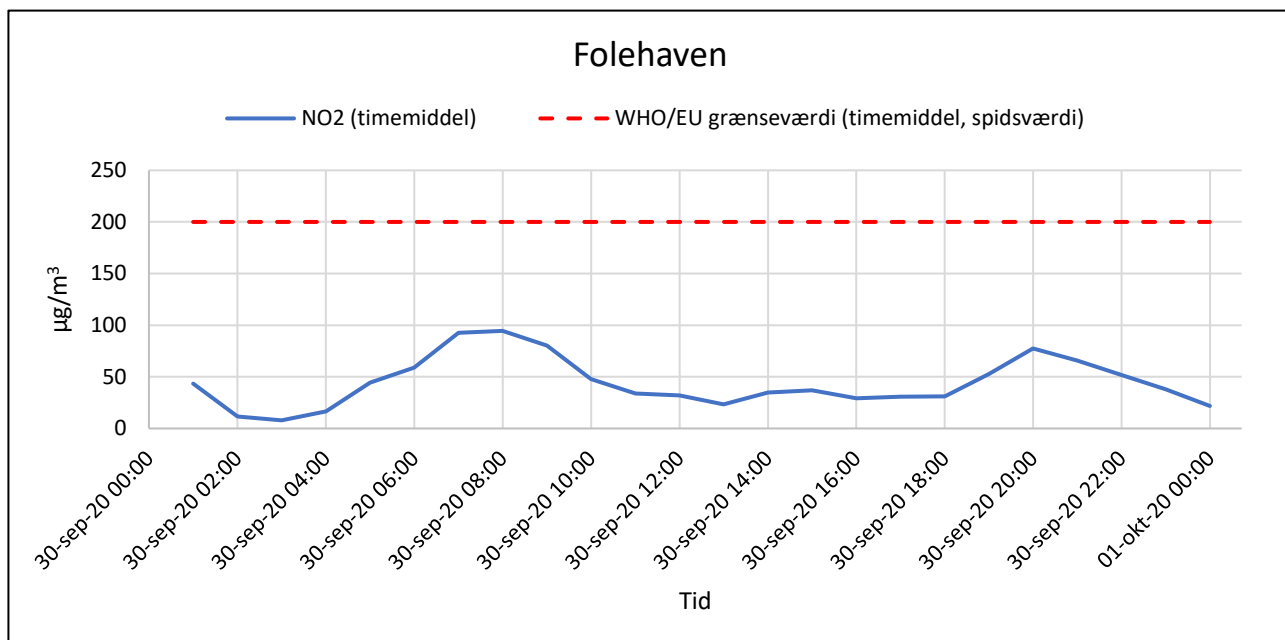
Figur 27 viser en tilsvarende *best case* døgnmåling for BC fra onsdag den 14. oktober 2020 på Backersvej. Middelvinden er 5 – 7 m/s fra nordlig retning. Backersvej ligger omrent NNV – SSØ, så vindretningen har mere eller mindre været langs med vejen. Området lidt nord for målestasjonen på Backersvej er ikke præget af tung industri eller trafikerede kryds, som ellers ville kunne bidrage til koncentrationen af BC. Emissioner fra brændeovne i området må ligeledes forventes at være begrænset, da temperaturen har ligget omkring  $10^\circ\text{C}$  på en hverdag i oktober. Disse forhold er formentlig skyld i at koncentrationen af BC har været lav den pågældende dag.



Figur 27. *Best case* døgn for måling af BC. Målingen er foretaget på Backersvej den 14. oktober 2020. Døgngegnemsnittet er målt til  $0,1 \mu\text{g}/\text{m}^3$ .

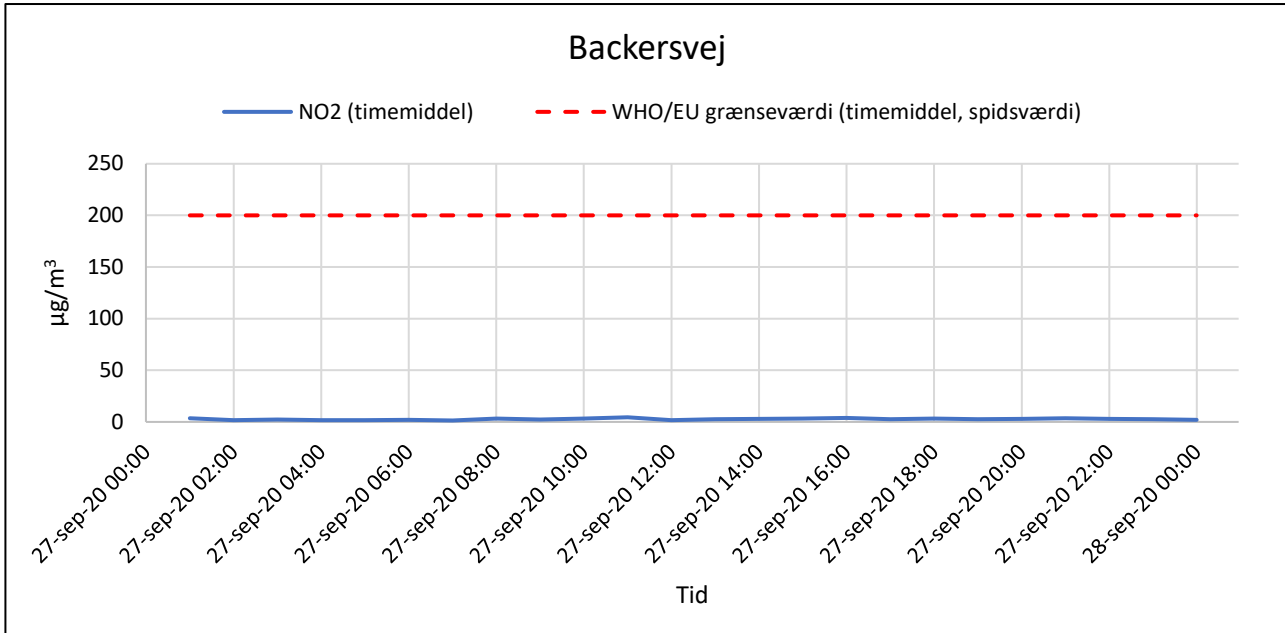
### 5.1.3 Worst case og best case døgnmålinger for NO<sub>2</sub>

Figur 28 viser en *worst case* døgnmåling for NO<sub>2</sub>. Målingen er foretaget på Folehaven onsdag den 30. september 2020. Grafen viser en forholdsvis høj koncentration i morgentimerne fra kl. 6 – 10. Som i tilfældet med worst case målinger af BC (Figur 26) skyldes den relativt høje koncentration af NO<sub>2</sub> formentlig, at mid-delvinden i morgentimerne har været <2 m/s og luftskiftet omkring målestasjonen derved har været forholds-vist lavt. Dertil kommer, at tidspunktet er sammenfaldende med morgenmyldretiden med høj trafikintensitet.



Figur 28. *Worst case* døgn for måling af NO<sub>2</sub>. Målingen er foretaget på Folehaven den 30. september 2020. Døgngegnemsnittet er målt til 44  $\mu\text{g}/\text{m}^3$ .

Figur 29 viser den tilsvarende *best case* døgnmåling for NO<sub>2</sub>. Målingen er foretaget på Backersvej søndag den 27. september 2020. Middelvinden har ligget omkring 2,5 – 5 m/s fra nordøstlig retning. Vinden er kommet fra en retning over villakvarteret, hvor der ikke findes trafikerede vejkryds. Trafikintensiteten i weekenden må desuden forventes at være lavere end på tilsvarende hverdage. Disse forhold er formentlig skyld i at koncentrationen af NO<sub>2</sub> har været lav den pågældende dag. Temperaturen har ligget mellem 16 – 22 °C den 27. september, så der forventes ikke at have været bidrag fra brænddeovne i perioden.



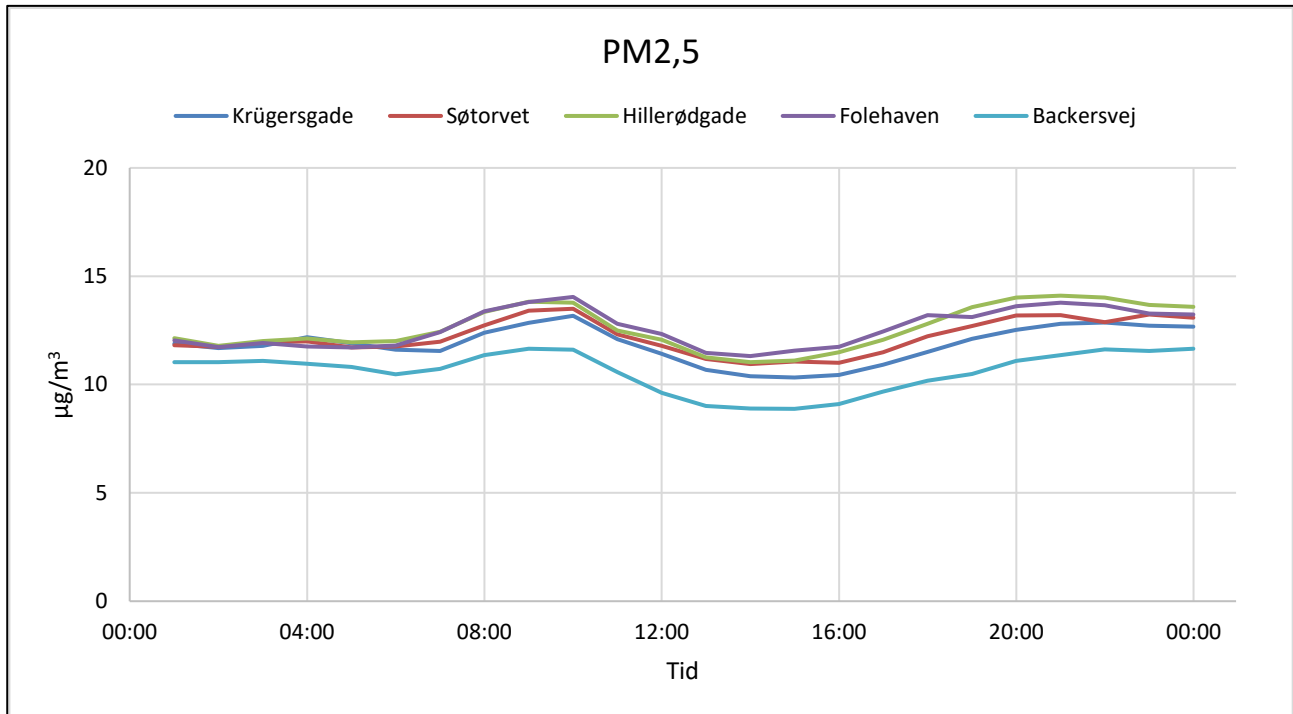
Figur 29. *Best case* døgn for måling af NO<sub>2</sub>. Målingen er foretaget på Backersvej den 27. september 2020. Døgnngennemsnittet er målt til 3  $\mu\text{g}/\text{m}^3$ .

## 5.2 Luftkvaliteten på hverdage

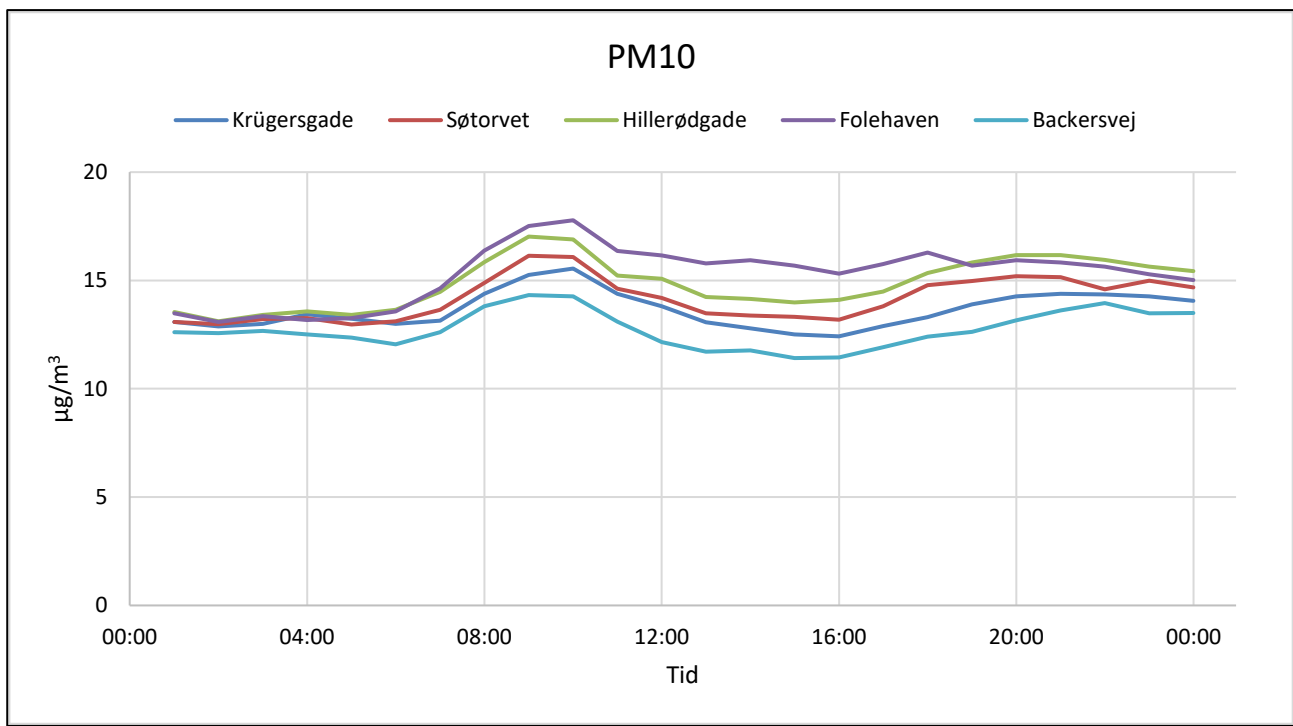
Figur 30 – Figur 34 viser grafer, der repræsenterer gennemsnitlige døgn for henholdsvis PM<sub>10</sub>, PM<sub>2,5</sub>, UFP, BC og NO<sub>2</sub>. Resultaterne angives som timeværdier baseret på valide timemiddelværdier på hverdage for de enkelte målestationer. Bemærk at timerne er slutstemplet, dvs. perioden mellem fx kl. 13 – 14 er angivet som kl. 14 på graferne.

På graferne ses en variation af de gennemsnitlige timemiddelværdier, beregnet ud fra de enkelte timer i døgnet på alle hverdage i måleperioden. De gennemsnitlige timemiddelværdier følger generelt døgnrytmen for intensiteten af vejtrafikken. Specielt morgen- og formiddagstrafikken kan identificeres for de fleste parametre. De gennemsnitlige timemiddelværdier for PM<sub>2,5</sub> og PM<sub>10</sub> viser dog lidt forskudte koncentrationstoppe i forhold til UFP, BC og NO<sub>2</sub>.

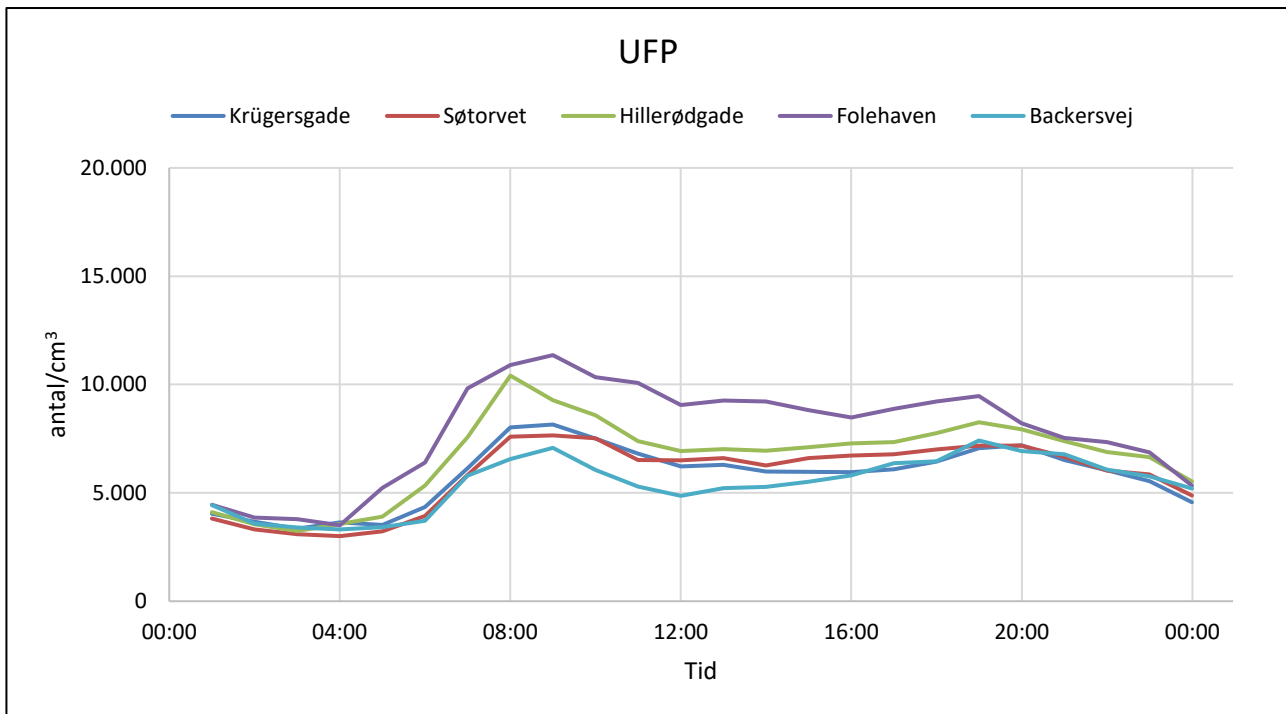
Tydeligst ses variation af de gennemsnitlige timemiddelværdier for NO<sub>2</sub>. Denne parameter er forbundet med udledningen fra diesekøretøjer. Om eftermiddagen ses den næste koncentrations-top omkring kl. 15 – 17. Koncentrationstoppen om eftermiddagen er mindre udtalt, hvilket kan skyldes, at eftermidagstrafikken i København er spredt ud over et større tidsrum i forhold til morgentrafikken. Måleperioden har dog været præget af perioder med COVID-19 nedlukning og forskudte arbejdstider, hvilket formodes at have influeret på antallet af biler på vejene, og dermed i nogen grad på de målte koncentrationer.



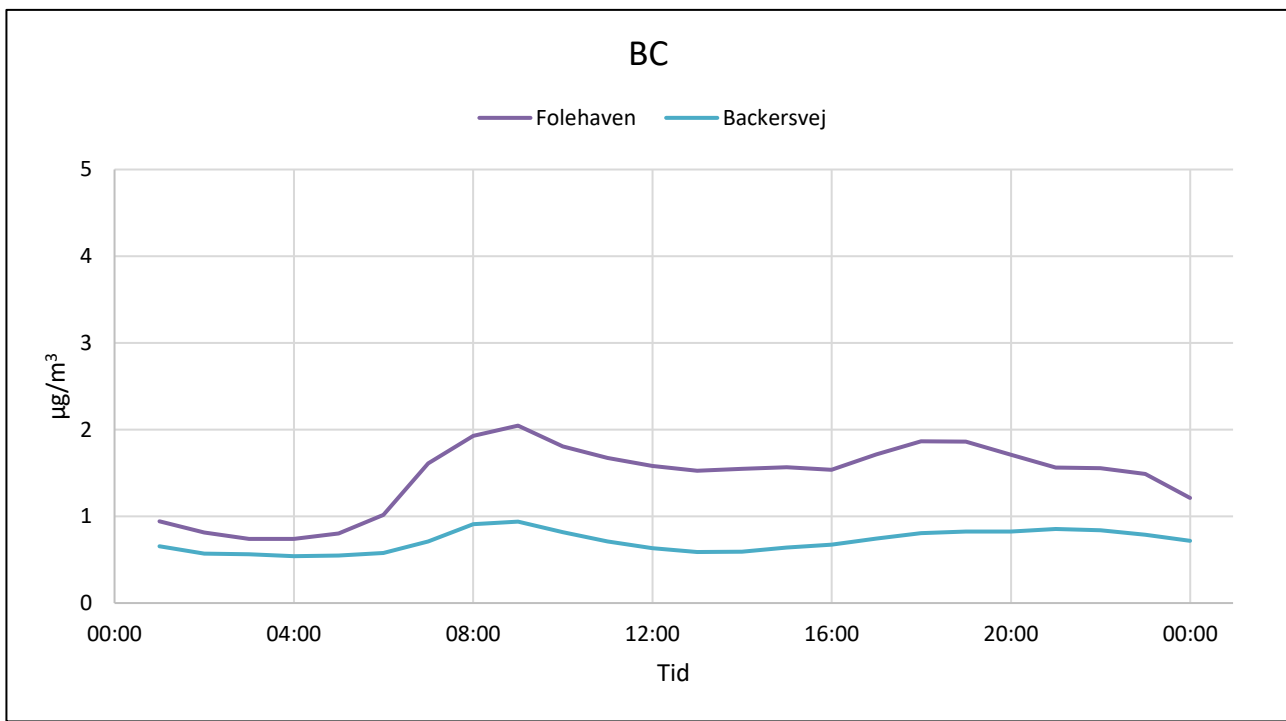
Figur 30. Gennemsnitlige timemiddelværdier for PM<sub>2,5</sub> på hverdag.



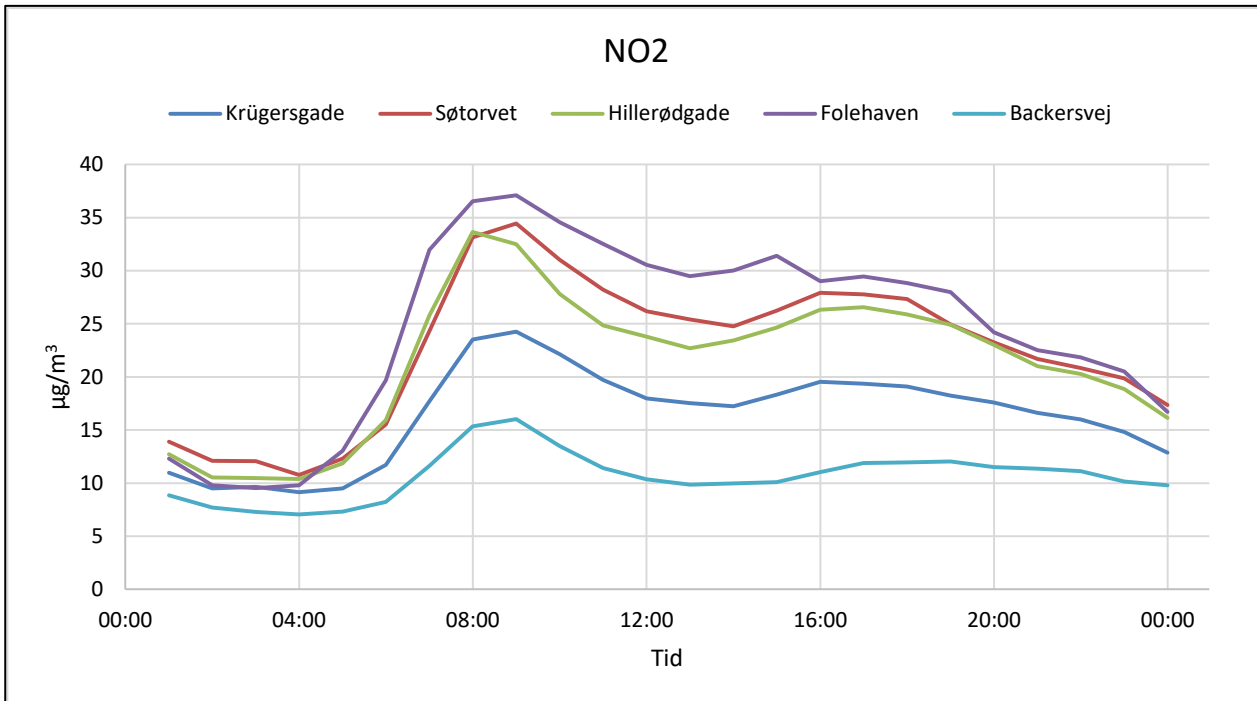
Figur 31. Gennemsnitlige timemiddelværdier for PM<sub>10</sub> på hverdag.



Figur 32. Gennemsnitlige timemiddelværdier for UFP på hverdag.



Figur 33. Gennemsnitlige timemiddelværdier for BC på hverdag.



Figur 34. Gennemsnitlige timemiddelværdier for NO<sub>2</sub> på hverdage.

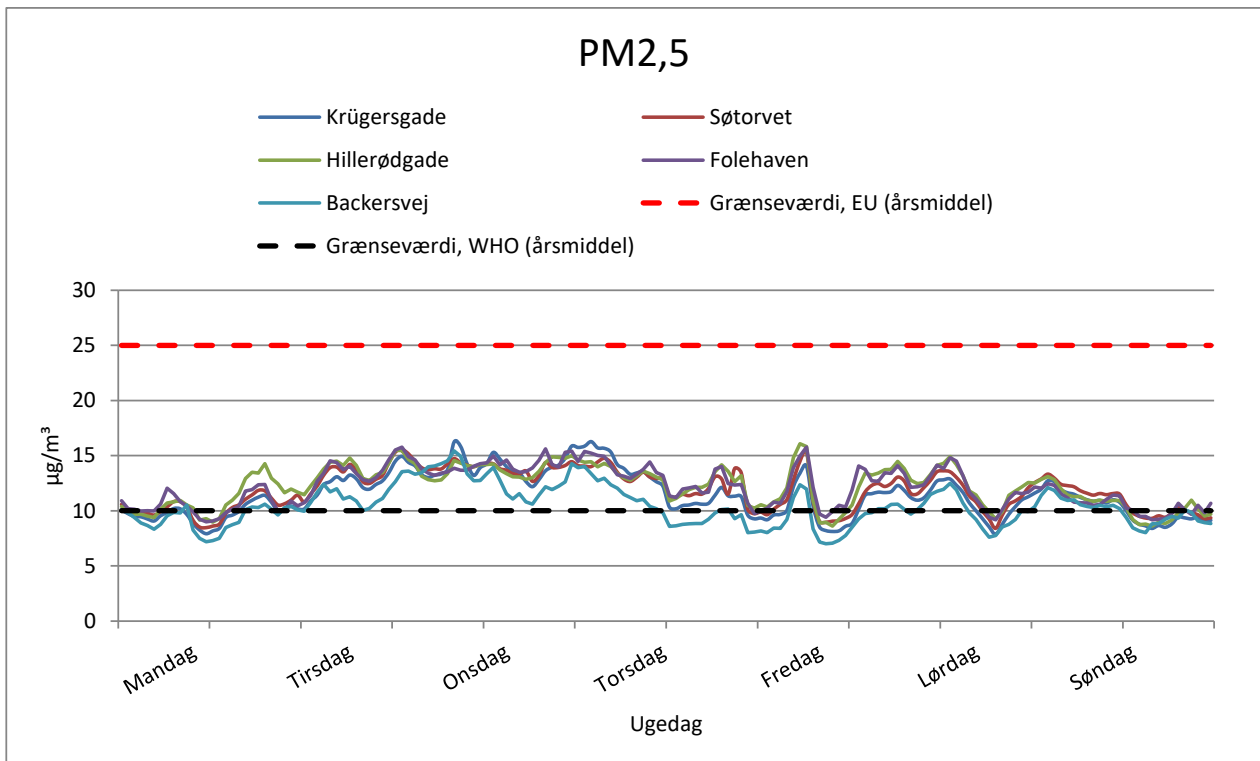
### 5.3 Sammenstilling af døgnvariationer

Figur 35 – Figur 39 viser en sammenstilling af det gennemsnitlige forureningsniveau for henholdsvis PM<sub>10</sub>, PM<sub>2,5</sub>, UFP, BC og NO<sub>2</sub> for de enkelte ugedage. EU's Grænseværdier (årsmiddel) samt WHO's anbefalede grænseværdier (årsmiddel) for henholdsvis PM<sub>10</sub>, PM<sub>2,5</sub> og NO<sub>2</sub> er angivet på graferne. De enkelte timegenemsnit på den enkelte ugedag er baseret på timemiddelværdier fra de i alt 12 – 16 uger, der har været tilgængelig i måleperioden.

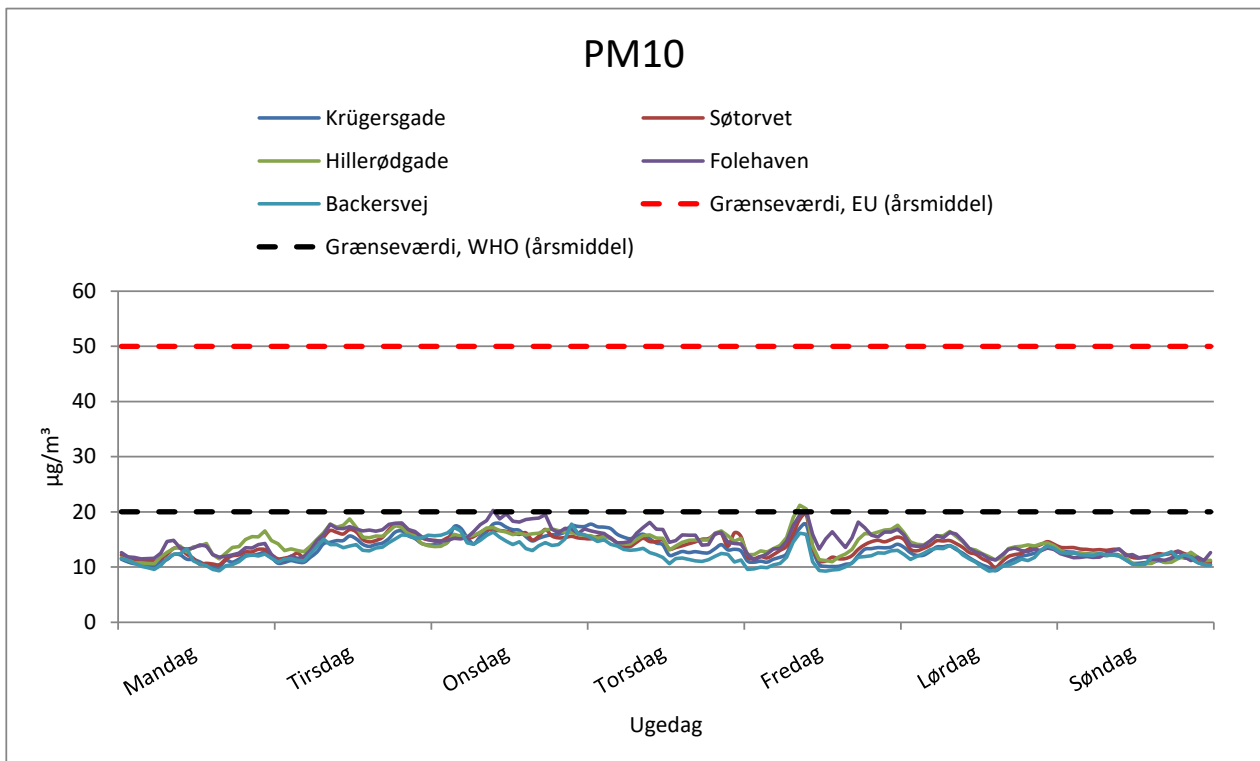
De gennemsnitlige døgnværdier for PM<sub>2,5</sub> viser kun begrænsede tegn på at udledningen er betinget af trafik. Forskellen i de målte koncentrationer mellem de enkelte målestationer viser at PM<sub>2,5</sub> er generelt mere regionalt betinget og et udtryk for langtransport af partikler. Koncentrationen af PM<sub>10</sub> er lavere i weekenden, hvilket eventuelt kan tilskrives en lavere trafikintensitet (vejstøv), og at støvende anlægsarbejde mm. primært foretages i hverdagene. De gennemsnitlige døgnværdier for PM<sub>10</sub> ligger generelt under EU's grænseværdi samt WHO's vejledende grænseværdi. De gennemsnitlige døgnværdier for PM<sub>2,5</sub> ligger generelt under EU's grænseværdi, men WHO's vejledende grænseværdi er overskredet de fleste ugedage i måleperioden.

De gennemsnitlige døgnværdier for UFP, BC og NO<sub>2</sub> viser mere tydelige tegn på udledninger, der er forbundet med trafikintensiteten. Målingen af BC på Backersvej er dog en undtagelse, hvilket skyldes, at målestasjonen ligger i et villakvarter, hvor variationer i trafikintensiteten i løbet af et døgn ikke er så udtalt som på fx Folehaven. For UFP (Figur 37) er partikelkoncentrationen som forventet lavere i weekenden i forhold til hverdage. Måleperioden har dog været præget af perioder med COVID-19 nedlukning og forskudte arbejdstider, hvilke kan influere på antallet af biler på vejene.

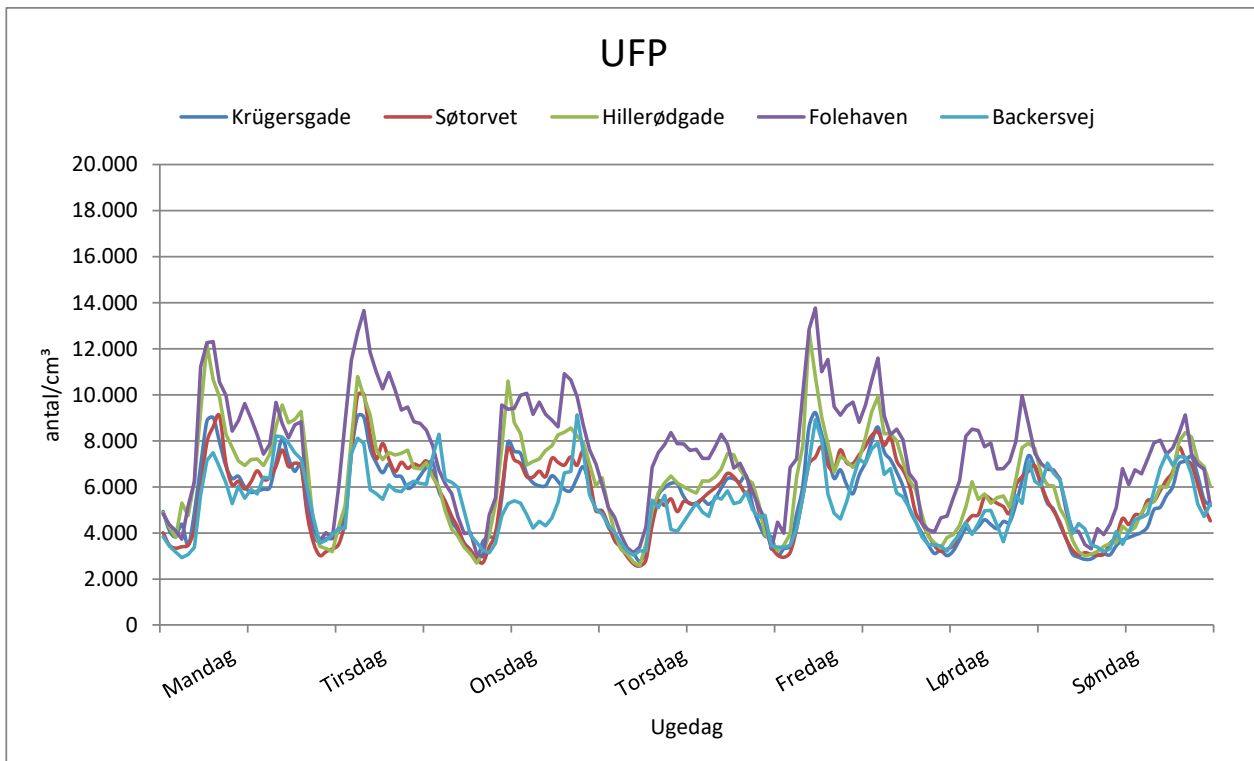
Figur 39 viser de gennemsnitlige døgnværdier af NO<sub>2</sub>. Her ses en tydeligere variation af koncentrationer målt på hverdage og i weekenden. Målingerne på Backersvej er generelt lavest mens især Folehaven toppe de målte koncentrationer i perioden. EU's og WHO's grænseværdi (årsmiddel) er dog generelt overholdt.



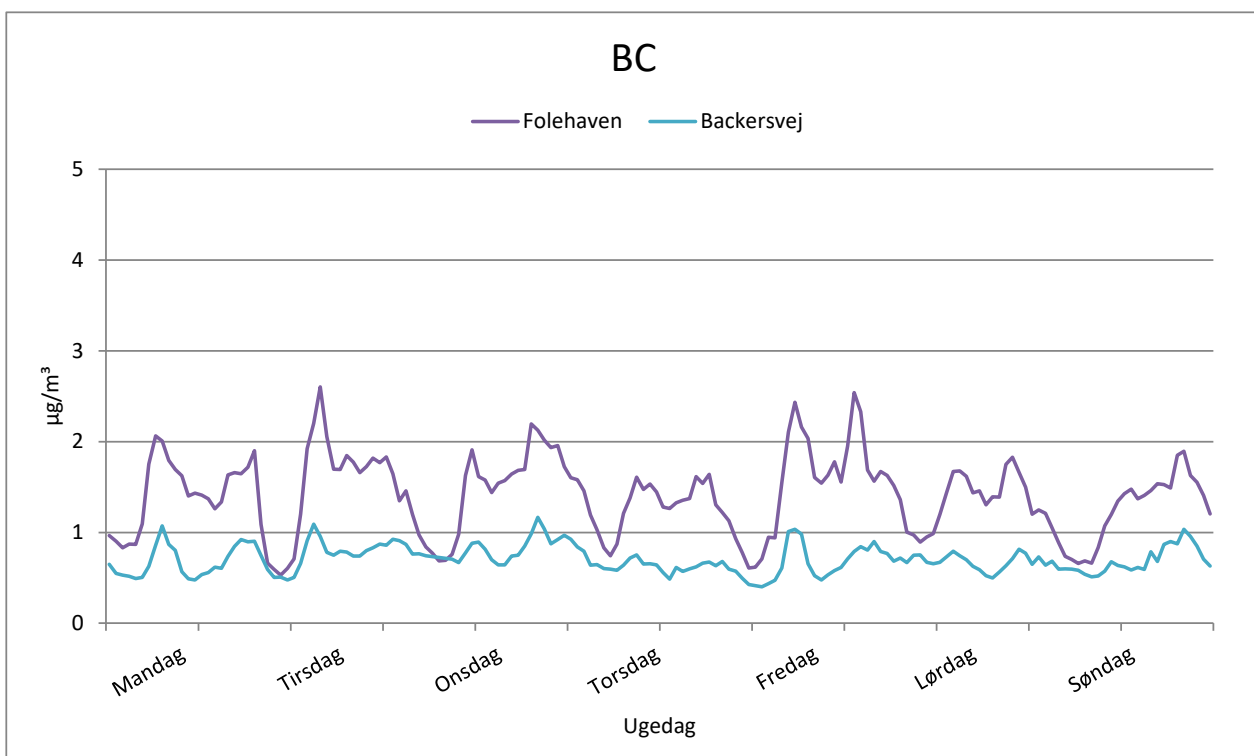
Figur 35. Gennemsnitlige døgnvariationer for PM<sub>2,5</sub> fordelt på ugedage.



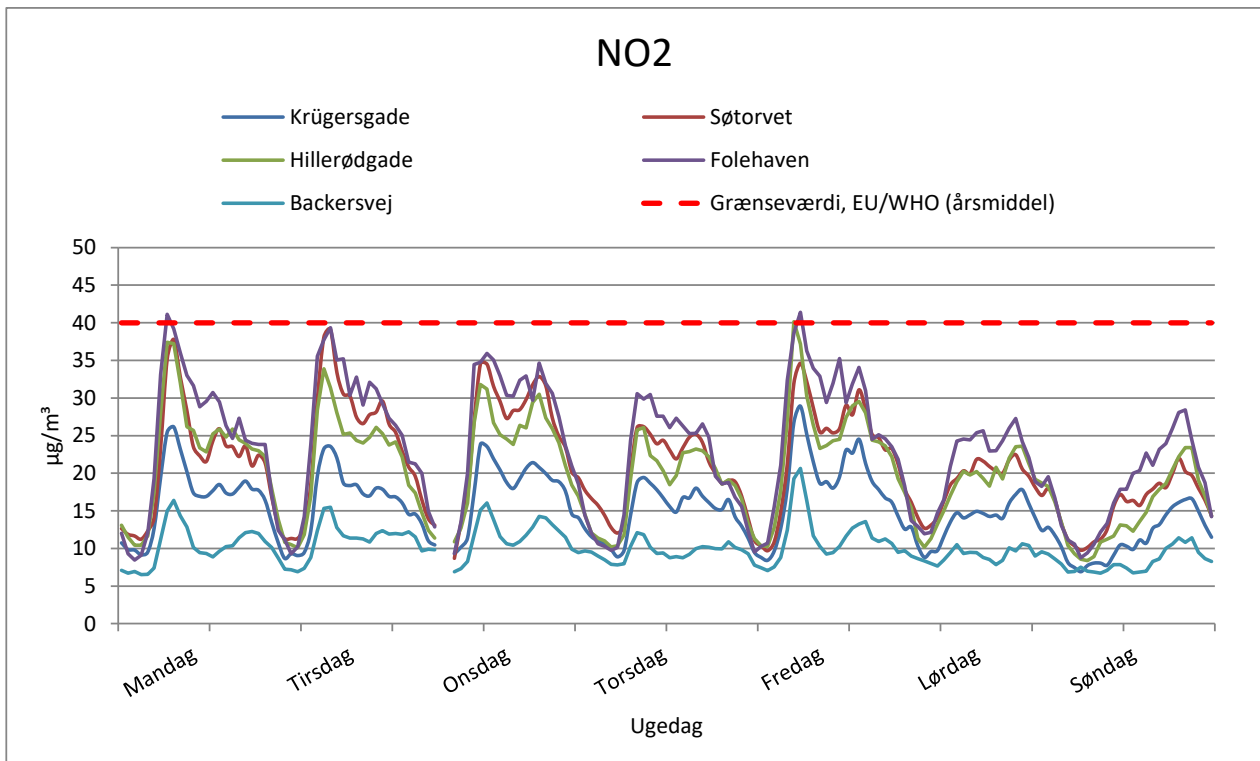
Figur 36. Gennemsnitlige døgnvariationer for PM<sub>10</sub> fordelt på ugedage.



Figur 37. Gennemsnitlige døgnvariationer for UFP fordelt på ugedage.



Figur 38. Gennemsnitlige døgnvariationer for BC fordelt på ugedage.



Figur 39. Gennemsnitlige døgnvariationer for NO<sub>2</sub> fordelt på ugedage.

## Bilag A Målemetoder

### Partikulær masse (svævestøv), PM<sub>10</sub> og PM<sub>2,5</sub>

PM<sub>2,5</sub> og PM<sub>10</sub> angiver den andel af de opsamlede partikler (massefraktion), der har en aerodynamisk diameter, som er mindre end henholdsvis 10 µm og 2,5 µm. Partiklerne måles optisk når partiklerne eksponeres med laserlys i instrumentets målekammer. Når lyset rammer partiklerne i gasstrømmen, spredes lyset, og et sæt af detektorer mäter intensiteten af lysspredningen. Intensiteten af det reflekterede lys er proportional med størrelsen på partiklerne, og antallet af lyspulser er en funktion af koncentrationen af partikler og flowet af gassen. På den måde kan lysspredningen omregnes til koncentration af partikler som funktion af både antal og størrelse. Den optiske mäter er kalibreret over for en gravimetrisk måling efter EN12341.

Måleområde: 0 - 1.500 µg/m<sup>3</sup>

### Ultrafine partikler, UFP

Der anvendes en Condensation Particle Counter (CPC) til at mæle partikelkoncentrationer i den omgivende luft. Prøvegassen ledes gennem et kammer med mættede butanoldampe. Efterfølgende afkøles gassen i en kondensator så den partikelholdige prøvegas overmættes. Dette får butanolen til at kondensere på partiklerne så de vokser store nok til, at de kan bestemmes optisk. CPC kan mæle partikler større end en bestemt cut-off størrelse, som er en funktion af den overmætning, der opnås i kondensatorafsnittet af CPC.

Range (partikelstørrelse): 7 - 1000 nm

Range (partikelantal): op til 10<sup>7</sup> antal/cm<sup>3</sup>

### Black Carbon, BC

En kendt gasstrøm passerer gennem et aethalometer, hvori partiklerne deponeres på et filter. En lyskilde med tilførende sensorer mäter, hvor meget lyset ved en række specifikke bølgelængder dæmpes over filteret. Lysdæmpningen er proportional med koncentrationen af lysabsorberende stof i den opsamlede luftstrøm. Ud fra den målte lysdæmpning foretages en beregning af den gennemsnitlige koncentration af absorberende partikler i gasstrømmen.

Resultaterne fra den multispektrale analyse kan anvendes til vurdering af partikulært carbon fra henholdsvis fossile (BC<sub>FF</sub>) og biogene kilder (BC<sub>WB</sub>).

Range: 0 – 100 µg/m<sup>3</sup>

### NO<sub>x</sub> (NO og NO<sub>2</sub>)

NO<sub>2</sub>-koncentrationen bestemmes med en kemiluminiscens monitor (CLD) med indbygget konverter (NO<sub>2</sub> til NO). Måleværdien for NO<sub>2</sub> er differencen mellem de målte værdier for NO<sub>x</sub> og NO. Denne målemetode er referencemetoden til luftkvalitetsmålinger af NO<sub>x</sub> og NO i udeluft, der anvendes til bestemmelse af NO<sub>2</sub>.

Målområde: 0 – 1000 ppb (parts per billion)

Reference: EN 14211

## Bilag B Datakvalitet og datafangst

Tabel 13 - Tabel 17 viser en oversigt over datafangst, dvs. hvor stor en andel af valide data, der opnået ved måling i perioden jf. kravene i Luftkvalitetsdirektivet EN 2008/50/EF samt opgavens udbudsmateriale.

Tabel 13. Krügersgade. Datafangst for perioden.

Parameter	Datafangst		Minumumskrav til datafangst
	Timeværdier	Døgnværdier	
PM <sub>10</sub>	100%	100%	90%
PM <sub>2,5</sub>	100%	100%	90%
BC	-	-	75%
UFP	97%	97%	75%
NO <sub>2</sub>	99%	100%	90%

Tabel 14. Søtorvet. Datafangst for perioden.

Parameter	Datafangst		Minumumskrav til datafangst
	Timeværdier	Døgnværdier	
PM <sub>10</sub>	100%	100%	90%
PM <sub>2,5</sub>	100%	100%	90%
BC	-	-	75%
UFP	100%	100%	75%
NO <sub>2</sub>	99%	100%	90%

Tabel 15. Hillerødgade. Datafangst for perioden.

Parameter	Datafangst		Minumumskrav til datafangst
	Timeværdier	Døgnværdier	
PM <sub>10</sub>	100%	100%	90%
PM <sub>2,5</sub>	100%	100%	90%
BC	-	-	75%
UFP	98%	99%	75%
NO <sub>2</sub>	99%	100%	90%

Tabel 16. Folehaven. Datafangst for perioden.

Parameter	Datafangst		Minumumskrav til datafangst
	Timeværdier	Døgnværdier	
PM <sub>10</sub>	100%	100%	90%
PM <sub>2,5</sub>	100%	100%	90%
BC	100%	100%	75%
UFP	99%	98%	75%
NO <sub>2</sub>	99%	100%	90%

Tabel 17. Backersvej. Datafangst for perioden.

Parameter	Datafangst		Minumumskrav til datafangst
	Timeværdier	Døgnværdier	
PM <sub>10</sub>	100%	100%	90%
PM <sub>2,5</sub>	100%	100%	90%
BC	98%	98%	75%
UFP	98%	98%	75%
NO <sub>2</sub>	99%	100%	90%

## Bilag C Kontaktinformation

### Om FORCE Technology

FORCE Technology er en selvejende organisation og GTS-Institut, der udbyder en bred vifte af uvidig service og rådgivning til myndigheder og industrivirksomheder. Opgaver vedrørende luftkvalitetsmålinger er forankret i Afdelingen for Clean Air Technologies.

Afdelingen for Clean Air Technologies beskæftiger sig med målinger af immissioner (luftkvalitet i udeluft), emissioner, spredningsberegninger, indeklima, lugt og livscyklusanalyser (LCA) af produkter. Desuden er afdelingen udpeget som Miljøstyrelsens Referencelaboratorium for måling af emissioner til luften. Afdelingen har mange års erfaring med opsætning og drift af monitorer til måling af luftkvalitet samt rådgivning og rapportering af data.

### Medarbejdere

#### **Frantz Bræstrup, specialist, ph.d. (projektleder)**

Ekspert i partikel- og gasmålinger fra stationære og mobile kilder. Har arbejdet med luftkvalitetsmålinger gennem 8 år.

#### **Karsten Fuglsang, F&U koordinator og fagområdeansvarlig for luftkvalitet**

Projektkoordinator og ansvarlig for udviklingen af teknologiske serviceydelser til luftkvalitet. Karsten Fuglsang er desuden fagområdeansvarlig for afdelingens aktiviteter inden for luftkvalitet.

#### **Ismo Kalevi Koponen, specialist, ph.d.**

Specialist i aerosolfysik. Har arbejdet med luftkvalitetsmålinger og luftforureningens skadelige virkninger gennem sit tidligere arbejde hos Det Nationale Forskningscenter for Arbejdsmiljø.

#### **Marcus Levin, specialist, ph.d.**

Specialist i nanopartikler. Har arbejdet med luftkvalitetsmålinger og luftforureningens skadelige virkninger gennem sit tidligere arbejde hos Det Nationale Forskningscenter for Arbejdsmiljø.

#### **Tommy Hansen, Tekniker**

Erfaren tekniker inden for drift, kalibrering og service af målestationer og monitorer til luftkvalitet.

#### **Dan Eckberg, Tekniker**

Erfaren tekniker inden for drift, kalibrering og service af målestationer og monitorer til luftkvalitet.

#### **John Stenbring Nielsen, Maskinmester**

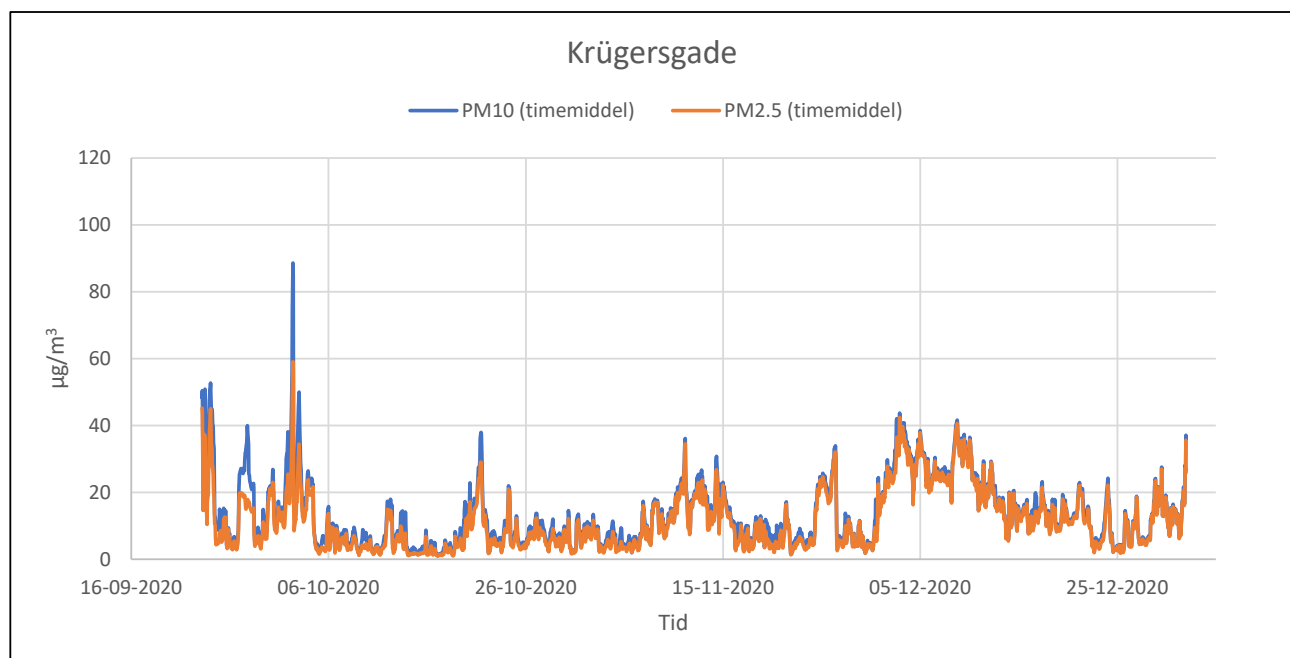
Erfaren tekniker inden for drift, kalibrering og service af målestationer og monitorer til luftkvalitet.

## Bilag D Timemiddelværdier

### 1 PM<sub>2,5</sub> og PM<sub>10</sub>

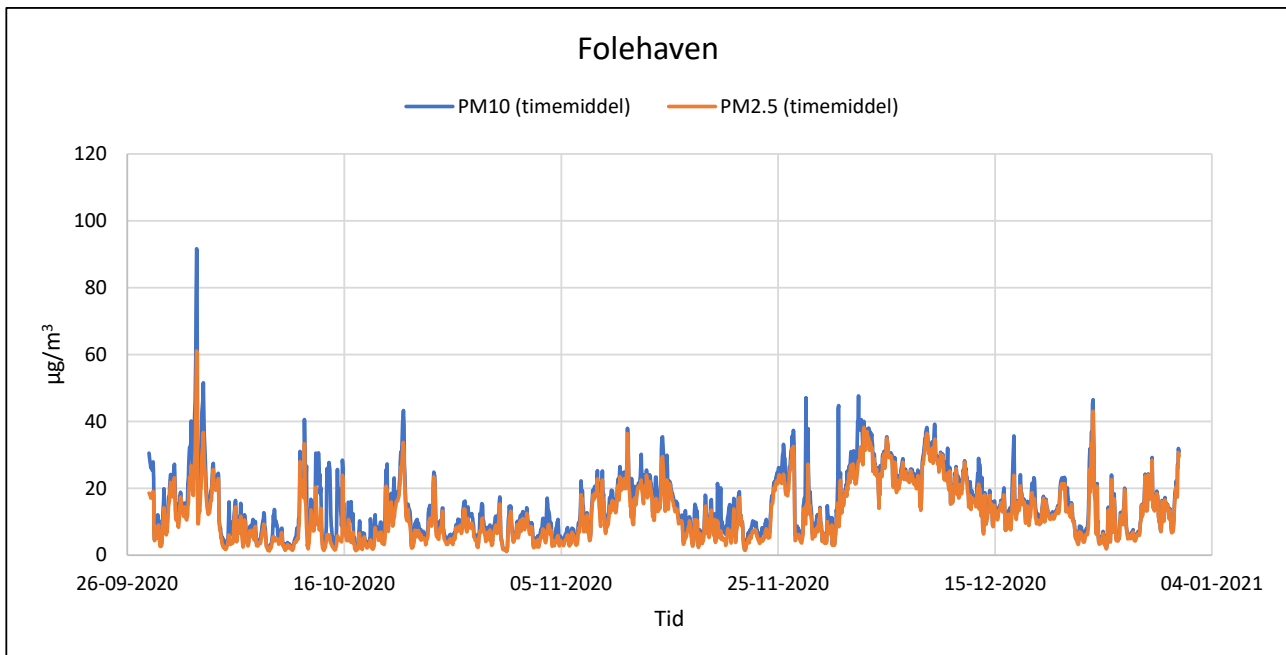
Figur 40 – Figur 44 viser de målte timemiddelværdier for PM<sub>2,5</sub> og PM<sub>10</sub> for perioden.

Den forholdsvis høje partikelkoncentration omkring 1. oktober kan eventuelt tilskrives resterne af en stor støvstorm, der stammer fra Rostov-na-Donu regionen i det sydlige Rusland. Rester af støvstormen er efterfølgende blæst ind over Skandinavien, de baltiske lande, Polen og det nordlige Tyskland. Fænomenet er rapporteret fra flere målesteder (note 21) i perioden fra 30. september til 4. oktober 2020.

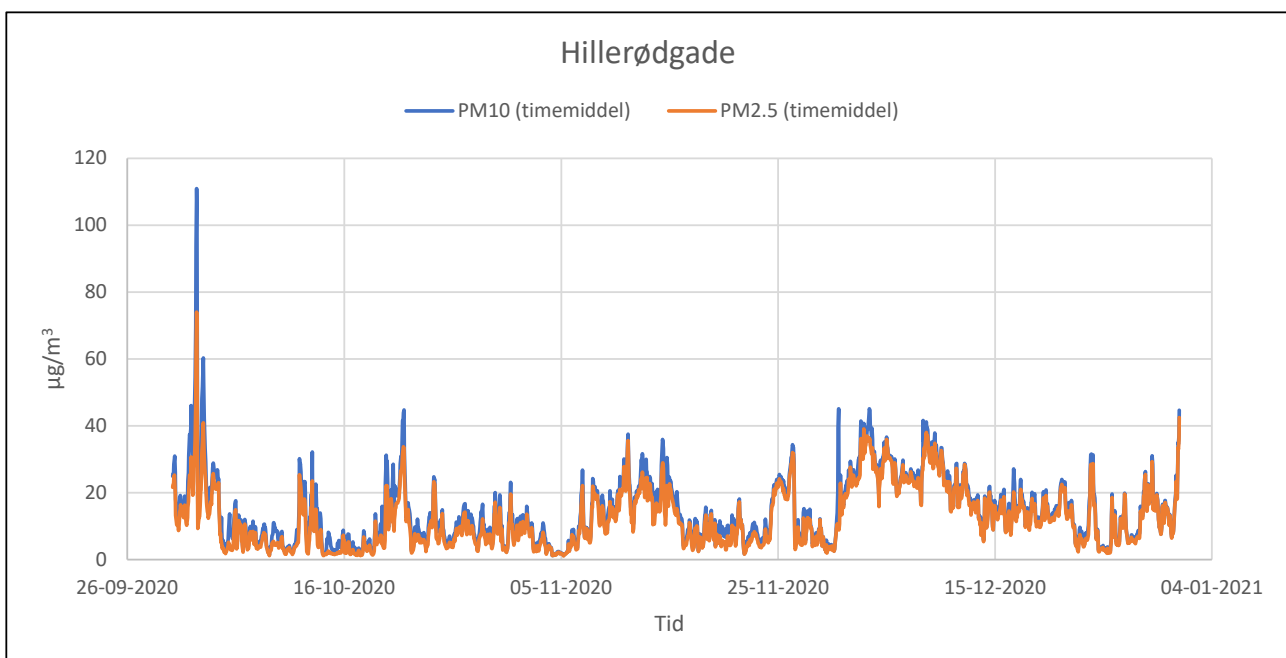


Figur 40. Timemiddelværdier for PM<sub>2,5</sub> og PM<sub>10</sub> fra målestasjonen på Krügersgade.

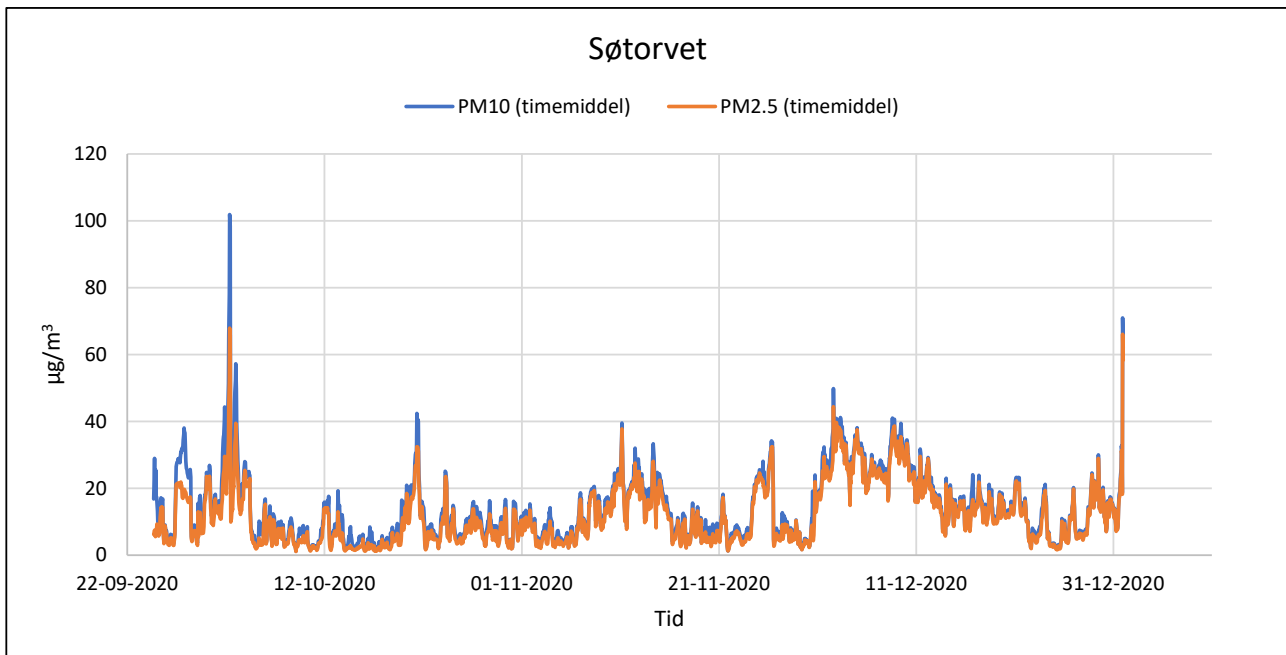
<sup>21</sup> Observationen er beskrevet af det europæiske Copernicus Monitoring Service program ([https://policy.atmosphere.copernicus.eu/reports/CAMS71\\_PM10\\_episode\\_October2020\\_draft.pdf](https://policy.atmosphere.copernicus.eu/reports/CAMS71_PM10_episode_October2020_draft.pdf)).



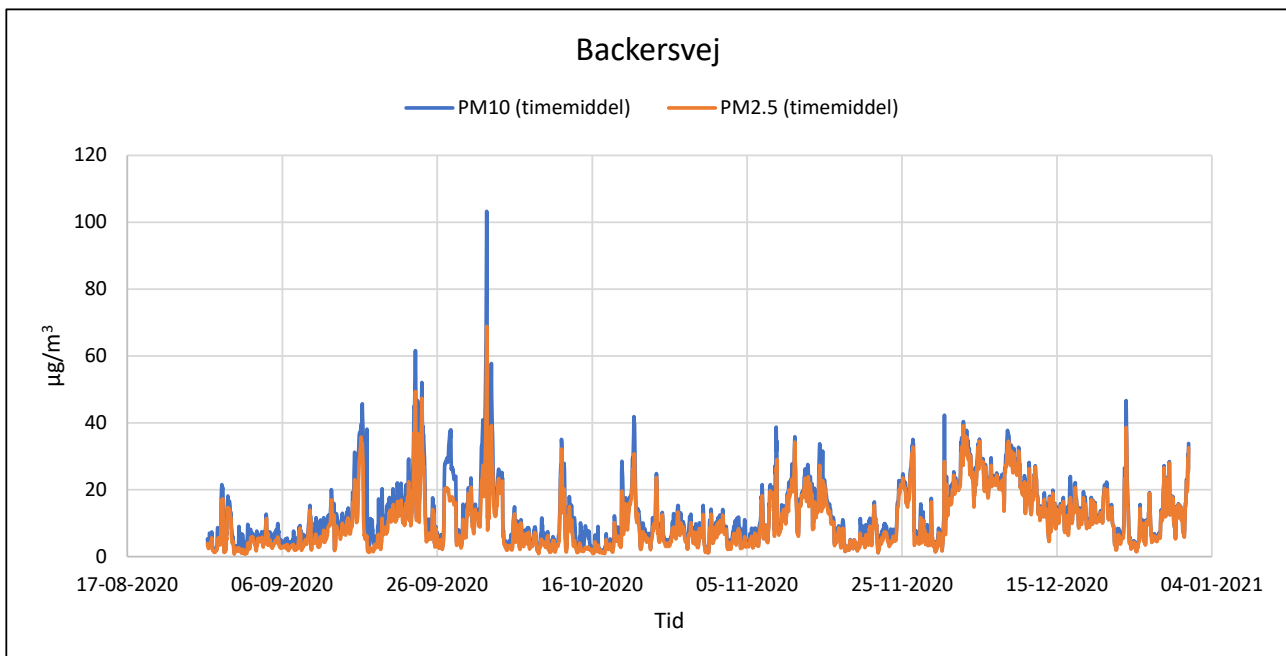
Figur 41. Timemiddelværdier for  $\text{PM}_{2,5}$  og  $\text{PM}_{10}$  fra målestasjonen på Folehaven.



Figur 42. Timemiddelværdier for  $\text{PM}_{2,5}$  og  $\text{PM}_{10}$  fra målestasjonen på Hillerødgade.



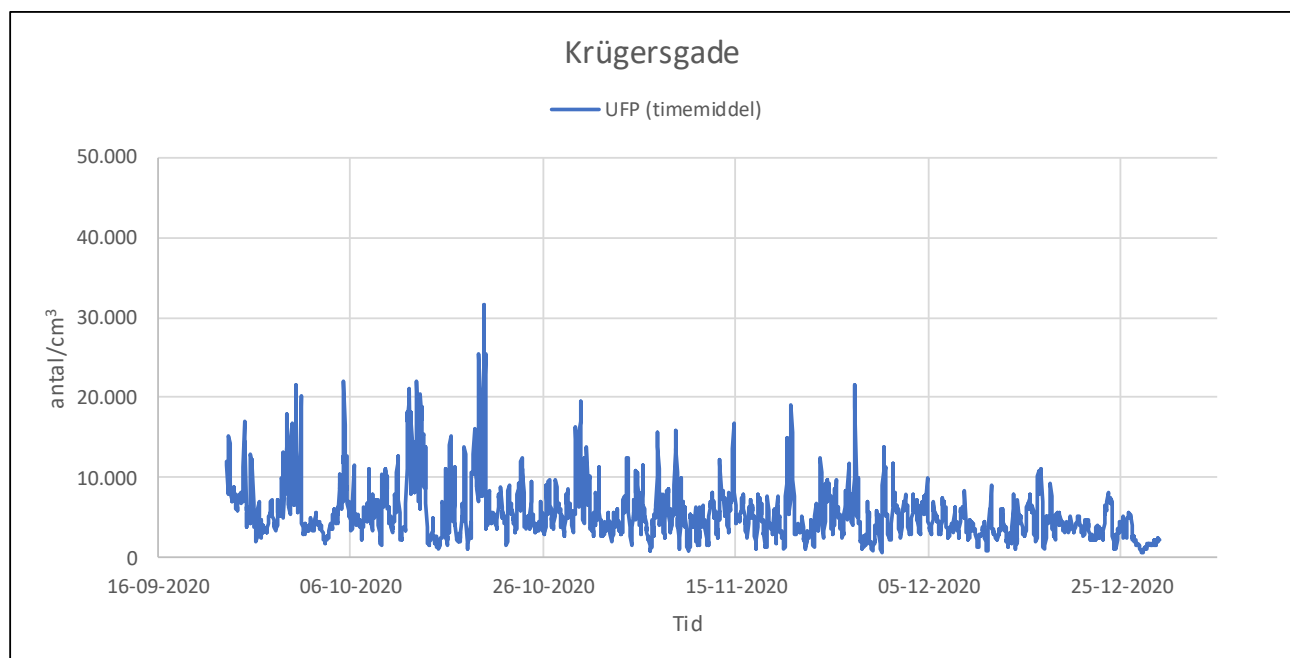
Figur 43. Timemiddelværdier for PM<sub>2,5</sub> og PM<sub>10</sub> fra målestasjonen på Søtorvet.



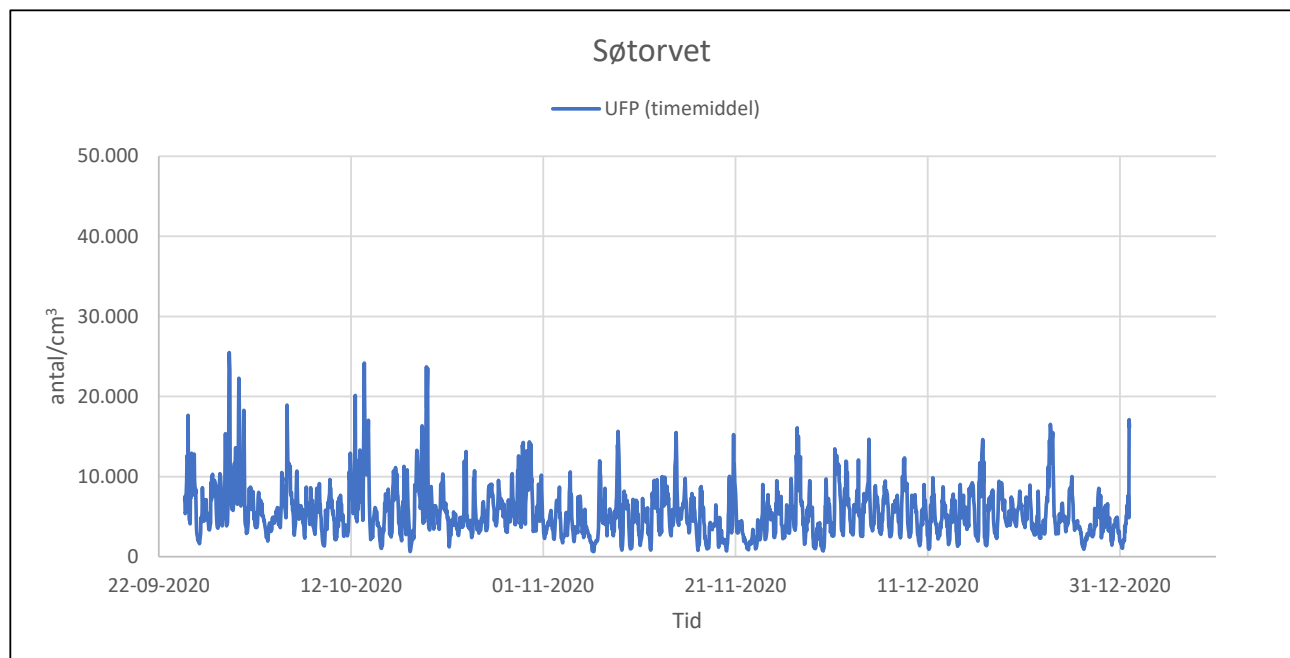
Figur 44. Timemiddelværdier for PM<sub>2,5</sub> og PM<sub>10</sub> fra målestasjonen på Backersvej.

## 2 UFP

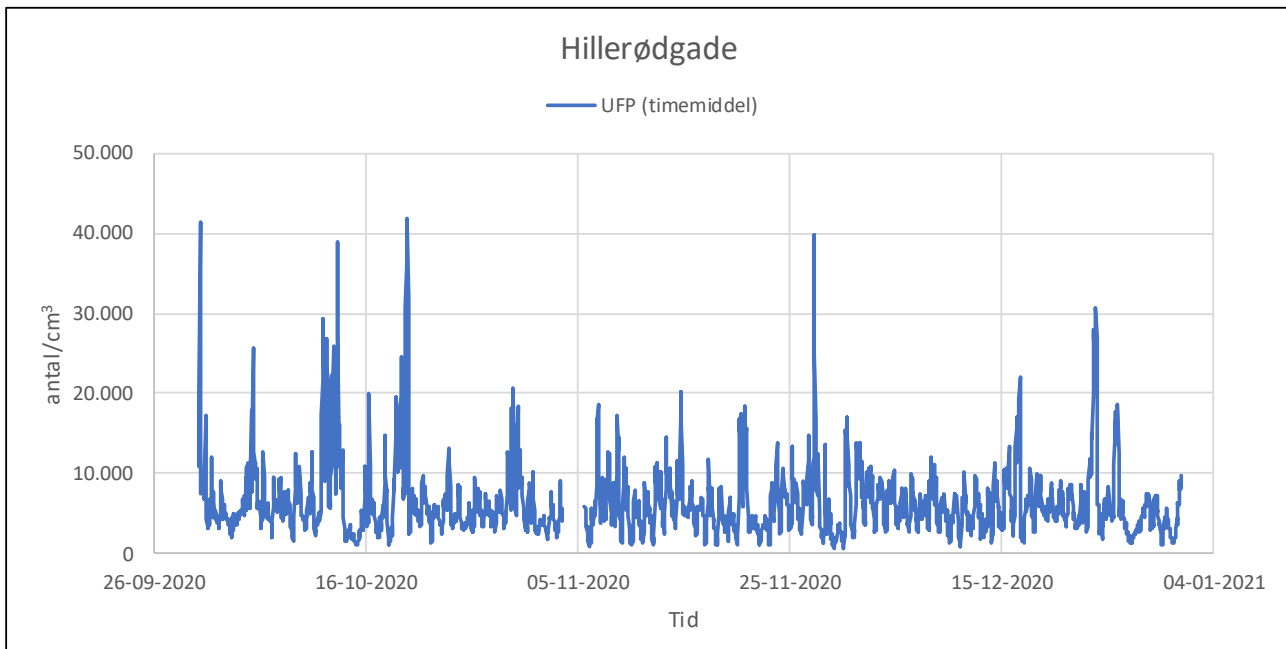
Figur 45 - Figur 49 viser timemiddelværdier for måling af UFP på de enkelte målestationer.



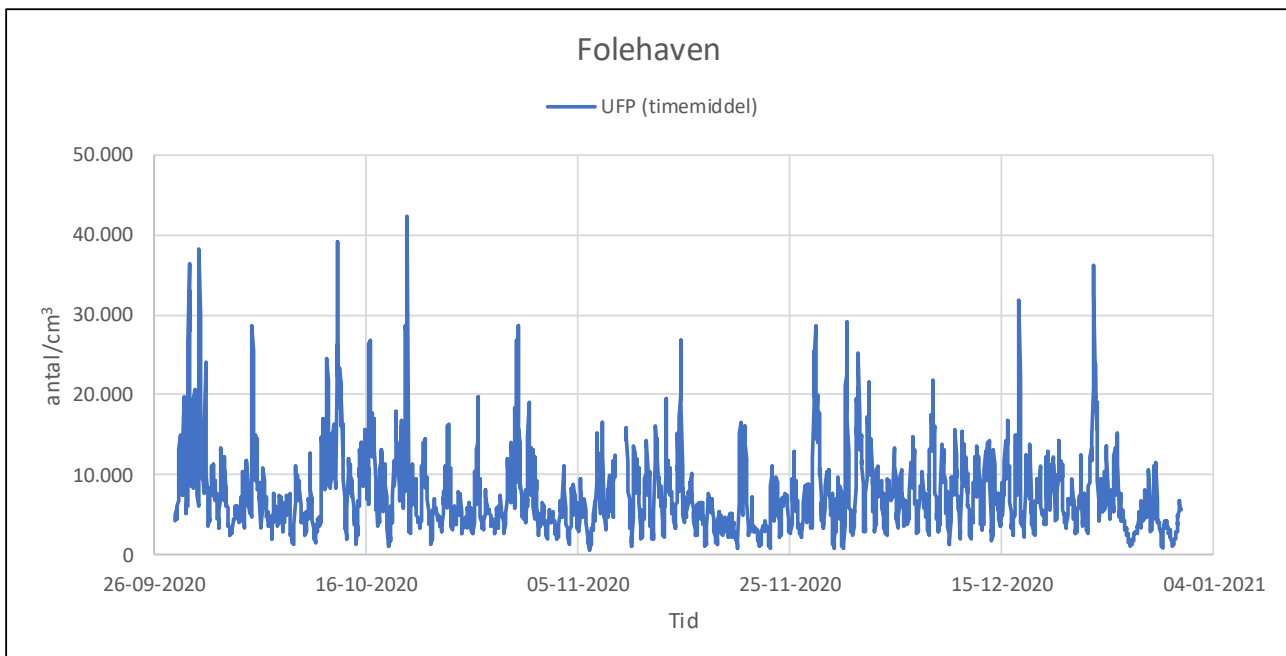
Figur 45. Timemiddelværdier for UFP på Krügersgade.



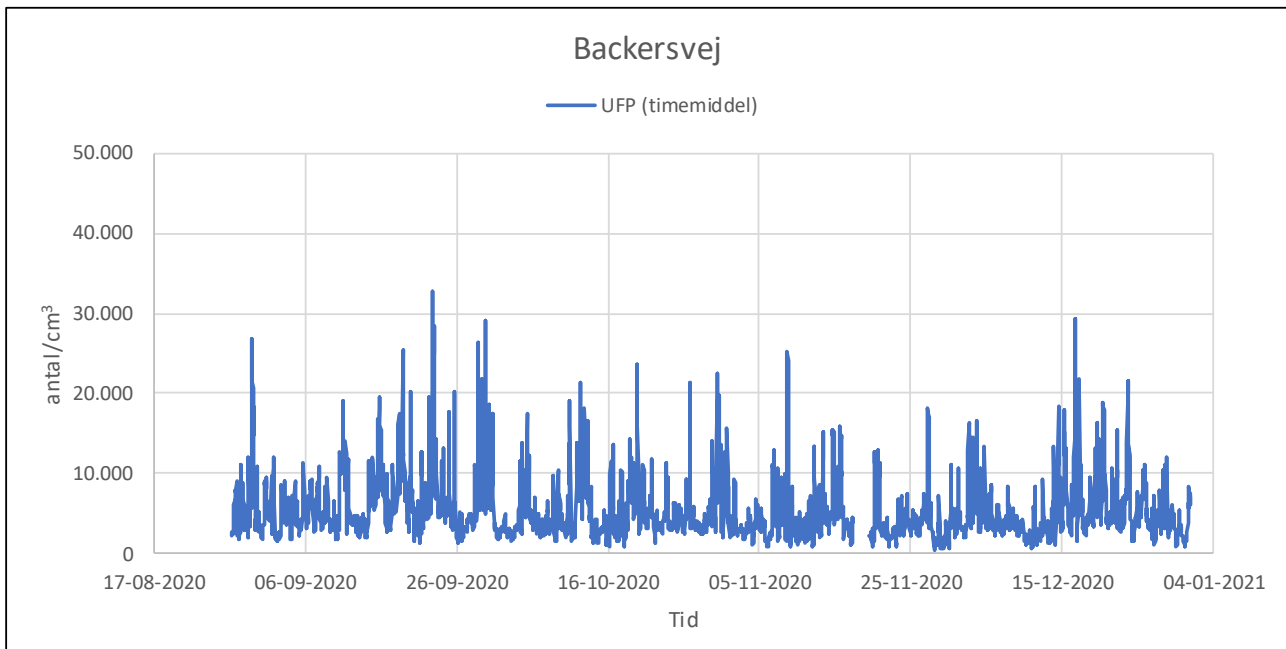
Figur 46. Timemiddelværdier for UFP på Søtorvet.



Figur 47. Timemiddelværdier for UFP på Hillerødgade.



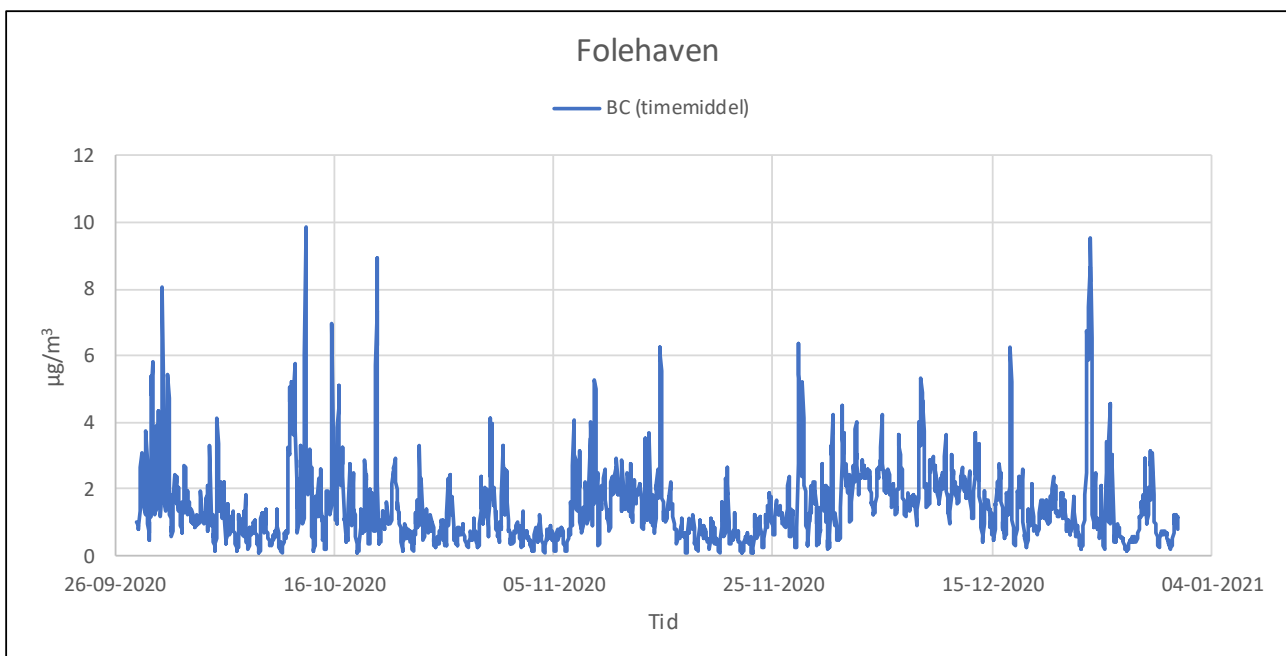
Figur 48. Timemiddelværdier for UFP på Folehaven.



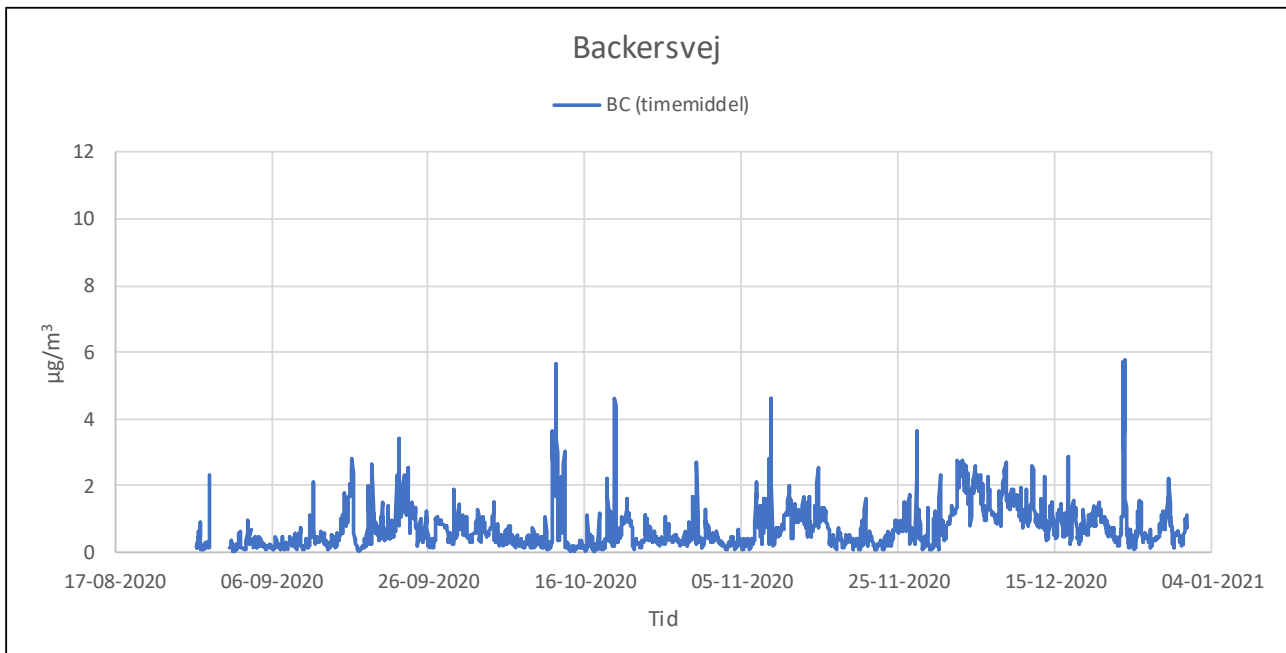
Figur 49. Timemiddelværdier for UFP på Backersvej.

### 3 BC

Figur 50 – Figur 51 viser timemiddelværdier for måling af BC på de to målestationer, hvor BC måling udføres: Folehaven og Backersvej.



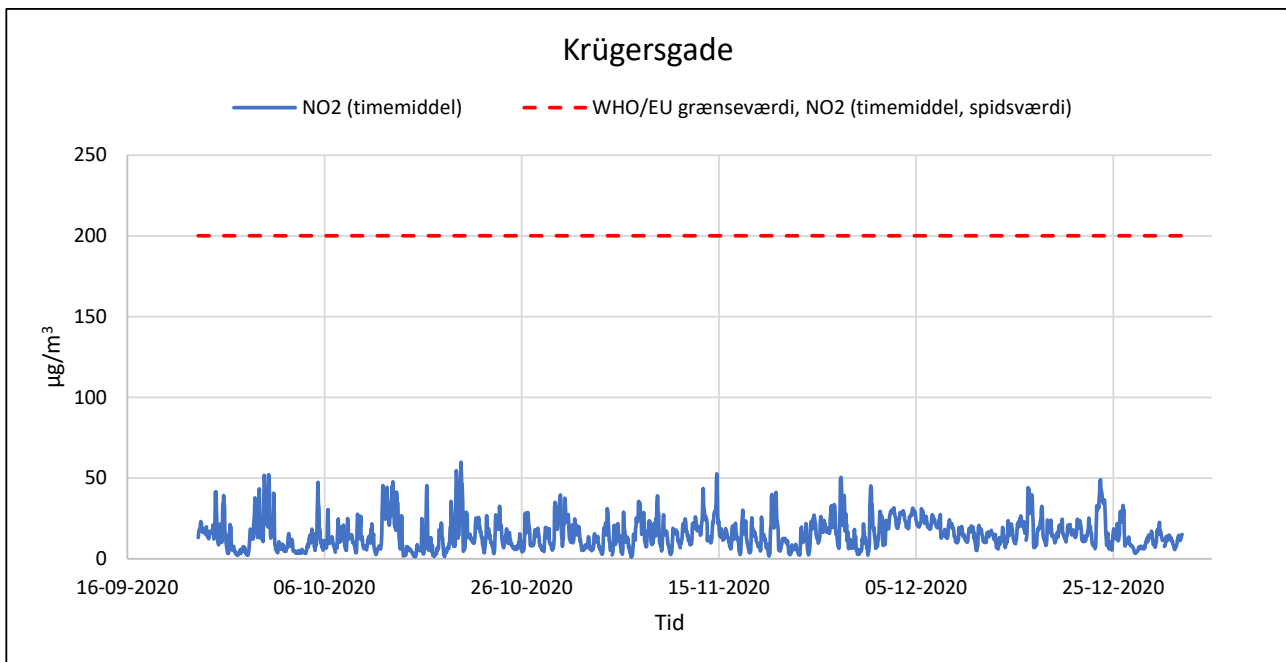
Figur 50. Timemiddelværdier for BC på Folehaven.



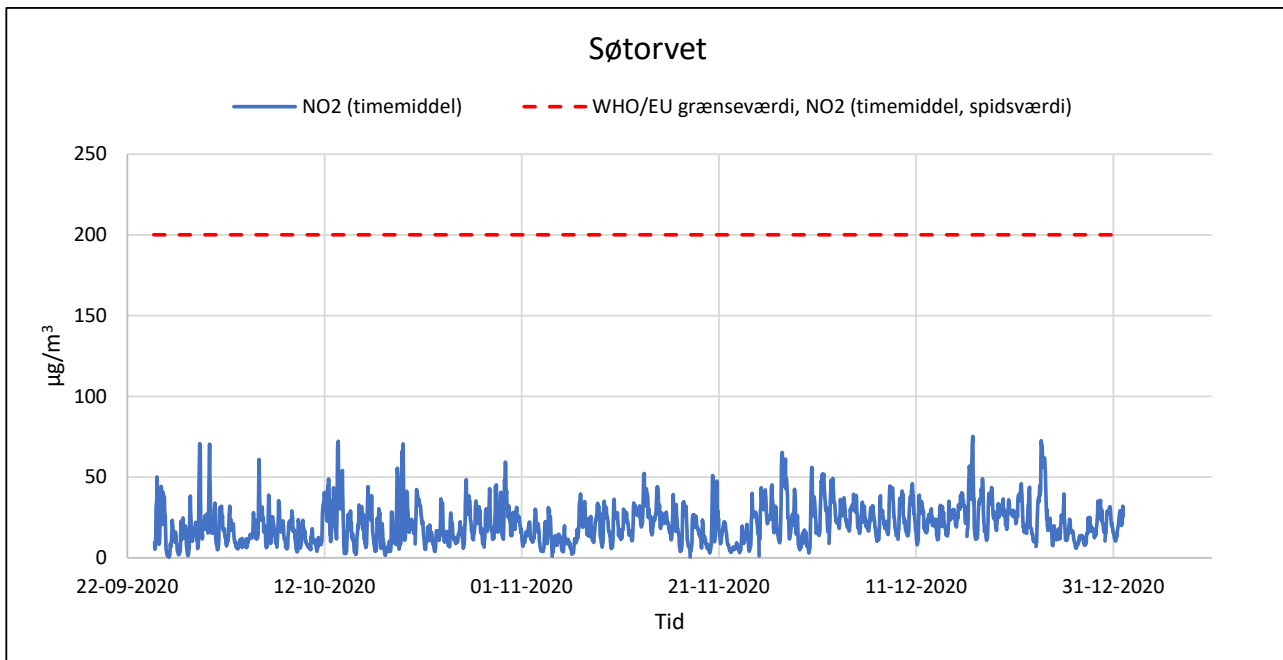
Figur 51. Timemiddelværdier for BC på Backersvej.

## 4 NO<sub>2</sub>

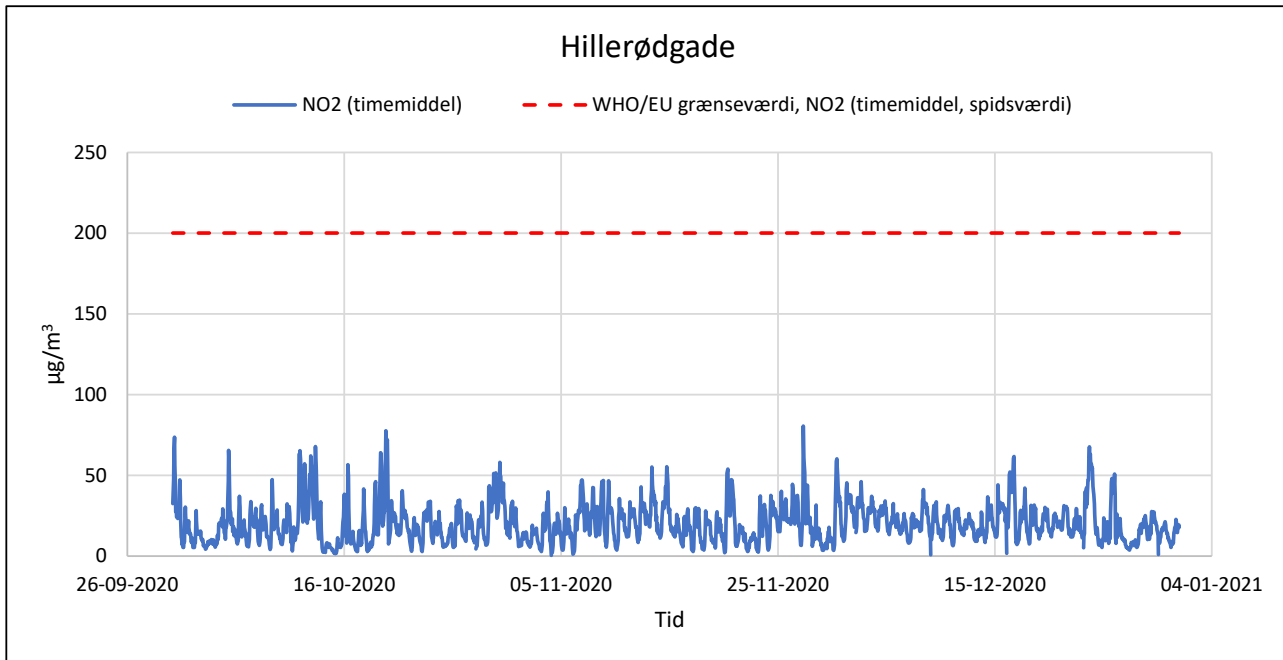
Figur 52– Figur 56 viser timemiddelværdier for NO<sub>2</sub> for perioden.



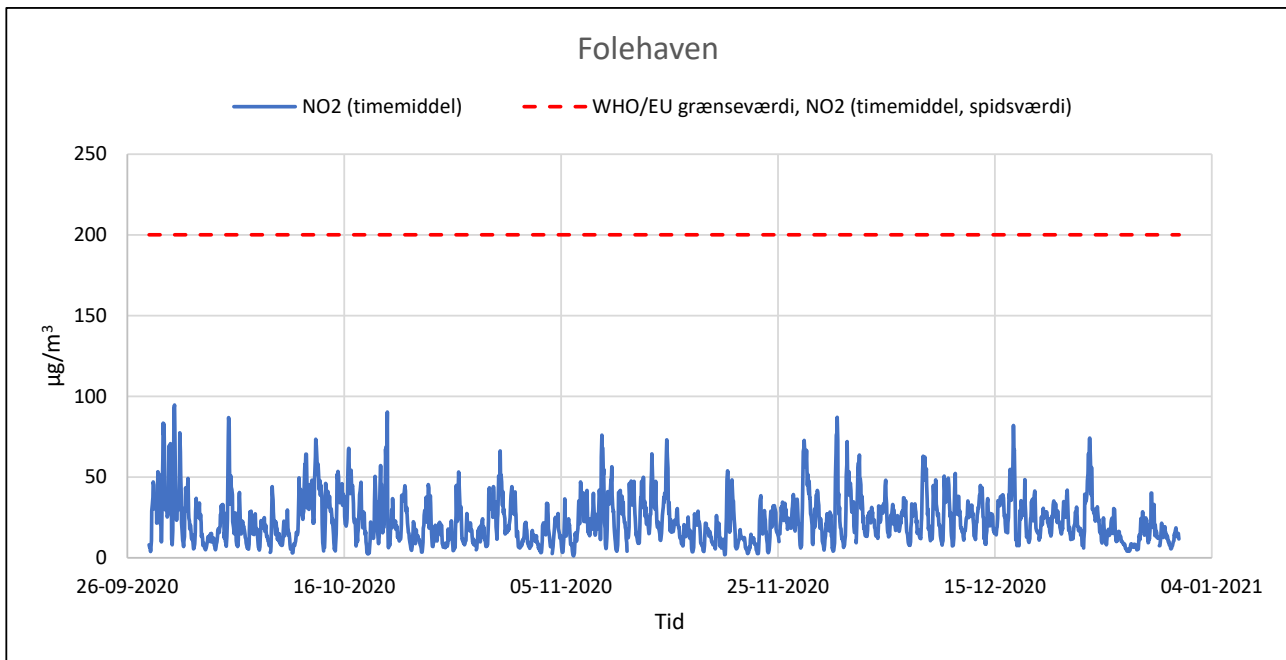
Figur 52. Timemiddelværdier for NO<sub>2</sub> på Krügersgade.



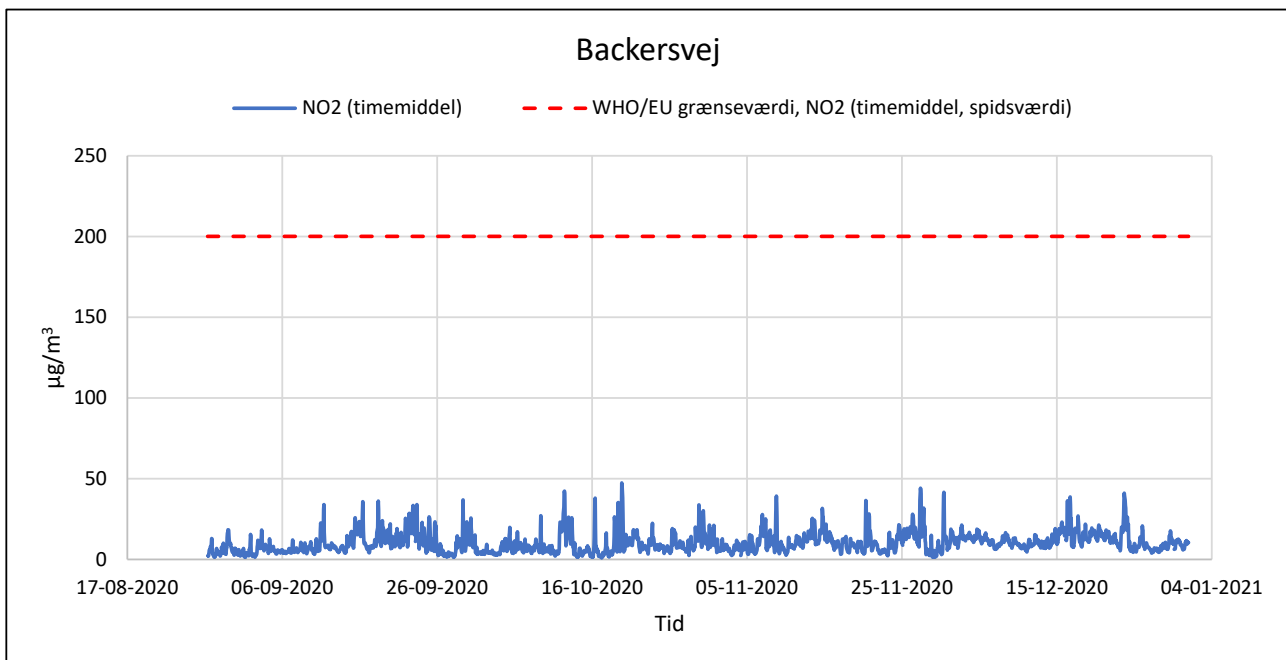
Figur 53. Timemiddelværdier for NO<sub>2</sub> på Søtorvet.



Figur 54. Timemiddelværdier for NO<sub>2</sub> på Hillerødgade.



Figur 55. Timemiddelværdier for NO<sub>2</sub> på Folehaven.



Figur 56. Timemiddelværdier for NO<sub>2</sub> på Backersvej.

**Kontakt**

Afdeling: Clean Air Technologies

**Forfattere:**

Frantz Bræstrup  
Karsten Fuglsang

**FORCE Technology**

Park Allé 345  
2605 Brøndby  
Danmark